



# پیام فولاد

فصلنامه علمی، خبری  
انجمن آهن و فولاد ایران  
پاییز ۸۸ | شماره ۳۶

صاحب امتیاز: انجمن آهن و فولاد ایران  
مدیر مسئول و سردبیر: دکتر حسین ادريس  
هیأت تحریریه:

دکتر حسین ادريس (دانشیار دانشگاه صنعتی اصفهان)

دکتر بهروز ارباب شیرانی (استادیار دانشگاه صنعتی اصفهان)

مهندس محمد حسن جو لازاده (شرکت پرشیا فلز اسپادانا)

دکتر احمد ساعتچی (استاد دانشگاه صنعتی اصفهان)

دکتر علی شفیعی (دانشیار دانشگاه صنعتی اصفهان)

دکتر مرتضی شمعانیان (دانشیار دانشگاه صنعتی اصفهان)

دکتر عباس نجفی زاده (استاد دانشگاه صنعتی اصفهان)

امور اجرایی: محسن فتحی

بخش اینترنت: دکتر مرتضی شمعانیان - مهندس محمد مهدی وردیان

بخش ترجمه: مهندس محمد مهدی وردیان

مدیر روابط عمومی: فریدون واعظزاده

طرح روی جلد: مرجان حاجی حیدری

حروفچینی: انجمن آهن و فولاد ایران

صفحه آرایی: محمد گائینی

چاپ: حافظ

شماره گان: ۳۰۰۰ نسخه

بهاء: ۱۵/۱۰۰ ریال

پیام فولاد مطالب علمی - خبری در زمینه آهن و فولاد یا زمینه های مرتبط را منتشر می کند.

چاپ مطالب به منزله تأیید دیدگاه پدید آورندگان آن نیست. نقل و اقتباس از مطالب پیام فولاد با ذکر مأخذ آن بلا منع است.

پیام فولاد مطالب دریافتی را باز نمی گردداند. دستورالعمل تهیه مقالات جهت درج در پیام فولاد در صفحات آخر ارائه شده است. طراحی کلیه جداول و تصاویر بر عهده صاحب مقاله می باشد. مقاله های پذیرفته شده پس از ویرایش منتشر می شود.

نشانی: اصفهان، دانشگاه صنعتی اصفهان، انجمن آهن و فولاد ایران،

کد پستی: ۸۴۱۱۱-۸۴۱۵۶، ۵ فقره نشریه پیام فولاد

تلفن: ۰۳۱۱(۳۹۱۲۷۲۷)، ۰۳۱۱(۳۹۱۲۷۲۸)، دورنويس:

E-MAIL:INFO@ISSIRAN.COM

WEB:WWW.ISSIRAN.COM

## ۷ فهرست مطالعه

۳	..... سرمقاله
	..... مقاله:
۴	..... بازیافت سرباره کوره پاتیلی در EAF:
	..... روش جدیدی برای بهبود شرایط زیست محیطی و کاهش هزینه‌های متغیر در کارخانجات تولید فولاد
	..... ترجمه: محمدحسین نشاطی
۱۷	..... شناسایی ویژگی‌های چدن‌های نشکن توسط روش جریان گردابی
	..... ترجمه و تدوین: پویا ولی‌زاده - علیرضا کیانی‌رشید
۲۴	..... توسعه تکنیک جدید اکسیژن زدایی در "نوکر استیل - هیکمن"
	..... ترجمه: سعید وفایان - حسین ادریس
۳۵	..... فراخوان "گزارش مطالعات موردی"
۳۶	..... صرفه جویی در مصرف انرژی - دو مثال متدال در صنعت فولاد
	..... تهیه و تنظیم: محمد مهدی وردیان
۳۸	..... اخبار انجمن آهن و فولاد ایران
۴۱	..... اخبار اعضاء حقوقی انجمن آهن و فولاد ایران
۴۳	..... اخبار از سایتهاي بین‌المللی
۴۵	..... تازه‌های تکنولوژی
۴۷	..... معرفی برخی مقالات از مجلات آهن و فولاد بین‌المللی
	..... مجله: Ironmaking & Steelmaking, Vol. 36 (2009), No. 7
۴۸	..... ترجمه دو چکیده مقاله از مجله: Ironmaking & Steelmaking, Vol. 36 (2009), No. 7
۴۹	..... معرفی کتاب
۵۱	..... معرفی سمینارهای بین‌المللی در زمینه مواد و متالورژی
۵۲	..... معرفی سمینارهای داخلی
۵۴	..... سایتهاي اطلاع‌رسانی آهن و فولاد در شبکه اینترنت
۵۶	..... معرفی پروژه‌های کارشناسی ارشد مربوط به صنعت فولاد
۵۸	..... معرفی سمپوزیوم فولاد
۶۰	..... برگزاری دوره‌های آموزشی انجمن آهن و فولاد ایران
۶۵	..... معرفی انتشارات انجمن آهن و فولاد ایران
۶۷	..... فراخوان مقاله برای مجله بین‌المللی انجمن آهن و فولاد ایران
۶۸	..... دستورالعمل تهیه مقالات به زبان انگلیسی جهت مجله بین‌المللی علمی - پژوهشی انجمن آهن و فولاد ایران
۷۰	..... راهنمای اشتراك فصلنامه پيام فولاد
۷۱	..... فرم درخواست عضويت حقيقی و حقوقی در انجمن آهن و فولاد ایران
۷۲	..... دستورالعمل تهیه مقاله برای فصلنامه پيام فولاد

## سرمقاله

در ساخت فولادهای با کیفیت استفاده از آلومینیم جهت اکسیژن زدایی تقریباً حاکمیت کلی دارد، لیکن موضوع تعیین مقدار آلومینیم اضافه شده و محل اضافه کردن آن مورد بحث نسبتاً وسیعی قرار گرفته است، بخصوص از لحاظ تأثیر قیمت آلومینیم بر هزینه‌های فولاد و هم از لحاظ تأثیر آن بر کیفیت فولاد و مقدار جذب نیتروژن در فولاد. در این شماره نشریه پیام فولاد یک عملیات تکنیکی جهت بررسی نحوه افزایش آلومینیم و موقعیت آن بیان شده که نتایج مطلوب آن نیز مورد بررسی قرار گرفته است. در ضمن عملیات بازیافت سرباره کوره پاتیلی نیز در این شماره مورد بررسی قرار گرفته است که از لحاظ اقتصادی و محیط زیست می‌تواند مورد توجه باشد. در این شماره مجموعه‌ای از بحث‌های دیگر شامل اخبار سایت‌های بین المللی، تازه‌های تکنولوژی، صرفه جویی در مصرف انرژی و مطالب معمول نشریه ارائه شده است.

امیدوارم مطالب این شماره از نشریه که با کمک شما خوانندگان گرامی و همکاران انجمن آهن و فولاد ایران تهیه شده مورد توجه شما قرار گیرد. هرگونه همکاری شما در ارائه بهتر نشریه بدون شک مورد استقبال انجمن آهن و فولاد ایران خواهد بود.

دکتر حسین ادریس

مدیرمسئول و سردبیر فصلنامه پیام فولاد



## بازیافت سرباره کوره پاتیلی در EAF:

# روش جدیدی برای بهبود شرایط زیست محیطی و کاهش هزینه‌های متغیر در کارخانجات تولید فولاد\*

ترجمه: مهندس محمدحسین نشاطی  
شرکت فولاد آلیاژی ایران

می باشد. این کارخانه در Ospitalrto SpA از Stefana واقع است، یک کارخانه فولاد که تولید کننده ۱ میلیون تن در سال سیم مقتول<sup>۱</sup> و انواع تیر آهن می باشد. این کاربرد صنعتی پایداری این روش بازیافت خاص را، از نظر هزینه و فرایند نشان می دهد. مزایای مهم، به ویژه کاهش EAF هزینه دفع سرباره، از کاهش مقدار آهک شارژ شده به EAF ناشی می شود. یکی از مسائل کلیدی برای موفقیت این کارخانه مطالعه دقیق این ویژگی های متالوژیکی سرباره EAF سرباره EAF و واکنش مقابله آنها با پودر بازیافتی بوده است.

### أنواع پسماند و ضایعات (Waste)

عملده مواد ضایعاتی برای این فرایند بازیافت سرباره پاتیل، شامل سرباره ای که پس از فرایند ریخته گری در پاتیل باقی می ماند و تمام مواد نسوز پاتیل پس از چرخه عمر آن می باشد. هر دو آنها مواد نایابدارند، مشمول تغییرات

\* این متن ترجمه مقاله زیر است:

Francesco Memoli, Carlo Mapelli, Marta Guzzon, "Recycling of Ladle Slag in the EAF: A Way to Improve Environmental Conditions and Reduce Variable Costs in Steel Plants", Iron & Steel Technology, February 2007, pp. 68- 76.

1. Residues  
2. Recycling  
3. Wire rod

سرباره کوره پاتیلی (EAF) و مواد نسوز مصرف شده قابل بازیافت به محصول پودری نهائی می باشند که به EAF تزریق می شوند. یک مطالعه مفصل متالوژیکی سرباره و واکنش مقابله آن با پودر همراه با مزایای صرفه جوئی هزینه های ناشی از این فرایند بازیابی مورد بحث قرار می گیرد.

مسائل زیست محیطی در صنعت فولاد اهمیت روزا فزونی پیدا می کند. در مناطقی همچون اروپا که هزینه های تولید و تیروی انسانی افزایش و سود در حال کاهش می باشد، هزینه های اضافی دفع پسماند<sup>۲</sup> نیز می تواند قابلیت سود آوری کارخانه فولاد را تا حد صفر کاهش دهد.

صنعت فولادسازی الکتریکی در ایتالیا به تنهائی ۲ میلیون تن در سال سرباره و سایر انواع پسماند، شامل نسوز مصرف شده، غبار و پوسته توردی تولید می کند. بازیافت<sup>۳</sup> این محصولات جانی ۳ تیجه دارد: حداقل کردن استفاده از منابع طبیعی، کاهش مواد دفع شدنی و کاهش هزینه مواد کمک ذوب در EAF (موادی که برای موازنی تولید فولاد مهم می باشند). فرایند بازیافت معرفی شده در این مقاله فرایند "KT-slag" نامیده می شود (شکل ۱).

دومین کارخانه از این نوع در ایتالیا در سال ۲۰۰۵ شروع بکار کرد که سرباره کوره پاتیلی یا (که سرباره سفید نیز نامیده می شود) و مواد نسوز مصرف شده به پودر محصول نهائی تبدیل می کند که قابل تزریق به کوره قوس الکتریکی



سرباره پاتیل در  $630^{\circ}\text{C}$  به  $\text{C}_2\text{S}-\beta$  تغییر می‌کند، سپس در دمای کمتر از  $500^{\circ}\text{C}$  به  $\gamma-\text{C}_2\text{S}$  تغییر فاز می‌دهد. تبدیل  $\gamma-\beta$  همراه با ۱۰٪ افزایش حجم (از ۵۶ ~ به  $62.0 \times 10^{-6} \text{ m}^3/\text{mol}$ ) است و منتج به خرد شدن زمینه آن به پودر به دلیل ساختارهای کربستالی و دانسته مختلف آنها می‌شود. دمای نوعی تغییر فاز  $\gamma-\beta$  برای این سیلیکات در مطالب منتشره بخوبی معلوم است (تغییر فاز  $\gamma-\beta$  برای سیلیکات دی کلسیم از زیر  $773^{\circ}\text{C}$  شروع می‌شود). روش فراوری در این مطالعه خاص شامل کنترل منحنی سرد شدن سرباره پاتیل و بازیابی پودر گرم قبیل از اینکه به دمای محیط برسد است، در حالی که هیدراته شده به آسانی قابل وقوع است. یک مشکل با این روش فراوری آن است که سرباره پاتیل، به دلیل اجزاء تشکیل دهنده آن یک ماده نسوز خیلی خوب است، و در حالی که سطح آن به سرعت سرد می‌شود، قسمت داخلی سرباره هنسوز گرم است و از دمای هدف فاصله دارد.

یک حرکت مکانیکی خاص برای یکنواخت کردن دمای سرباره پاتیل و فراهم اوردن امکان سرد کردن یکنواخت کل سرباره ضروری است. سرباره پاتیل ویره می‌شود (افقی و عمودی) و در مراحل مختلف زیادی گردش می‌کند. علاوه بر آن، اتمسفری که سرباره در آن فراوری می‌شود به دقت کنترل می‌گردد، تا آنجا که ممکن است از سرعت زیاد رطوبت گیری و از وجود گازهای نامطلوب اجتناب شود.

دمای هوانیز کنترل می‌شود و برای سرد کردن سرباره با منحنی مطلوب با دقت به دمای کمتر برده می‌شود، دمای سرباره پاتیل به طور ثابت اندازه گیری می‌گردد لذا مواد پودری می‌توانند به محض ظاهر شدن خارج گردند.

نتیجه این فراوری منحصر به فرد به دو بخش قابل تقسیم است: جزء خرد شده و جزء خرد نشده. اولی در سیلوهای خاصی در دمای همیشه بیشتر از  $100^{\circ}\text{C}$  جمع آوری می‌شود، در حالی که دومی یک فراوری ثانویه خرد کردن

ساختاری هستند که این مواد را به پودر خیلی ریز تبدیل می‌کند. به همین دلیل، حمل و نقل این ضایعات مشکل است و از طرف دیگر، به علت ترکیب شیمیائی هزینه دفع یا ذخیره آنها خیلی زیاد است.

### روش فراوری پسماندها و ضایعات

Ferrrie Nord Spa نتایج آزمایش‌های تجربی در کارخانه و شیوه سازی بازیافت منتج به پیاده کردن یک کارخانه در مقیاس صنعتی شد که اکنون بیش از ۳ سال است که در حال تولید می‌باشد. این کارخانه امکان فراوری و تردیق محلول بازی ساخته شده از سرباره پاتیل، نسوز تاندیش و پاتیل، نسوز کف EAF و ذرات رویش شده به EAF را دارد. یک مدل شیوه سازی متالوژیکی نشان داد که مواد ضایعاتی اضافی، همچون آجرهای نسوز Tat، می‌توانند به این محلول بازیافتی اضافه گرددند. علاوه بر این پیاده‌سازی فراوری این پسماندها در مقیاس صنعتی به منظور افزایش سرعت فراوری و بهبود بازدهی بازیافت انرژی لازم بود. طراحی کارخانه‌ها Stefana نتیجه عادی تحقیقات در Nord است و امکان فرایند کامل تر بازیافت را می‌دهد.

### فراوری سرباره پاتیل

به دلیل اینکه ۹۰٪ موادی که بازیافت می‌شوند سرباره پاتیل است، بیشترین تمرکز توجه به این محصول جایی توجه دارد. سرباره پاتیل (برای فولاد میکرداجدار و ساختمانی) معمولاً دارای ترکیب شیمیائی با حدود  $60\% \text{CaO} + \text{MgO}$  و حدود ۲۰٪ سیلیکا و آلومنیا است. آنالیز اجزاء این نوع سرباره که برای مورد کارخانه Stefana انجام شد، نشان می‌دهد که درصد سیلیکات دی کلسیم مهمترین جزء است.  $\text{C}_2\text{S}$  می‌تواند در سرباره پاتیل در فازهای گوناگونی وجود داشته باشد:  $\alpha$ ,  $\beta$ ,  $\alpha_{11}$ ,  $\alpha$ ,  $\beta$ . فاز  $\text{C}_2\text{S}-\alpha$  در هر دمایی پایدار است. در طی سرد کردن



## فراوری آجرهای EAF

به دلیل ترکیب شیمیائی، آجرهای EAF از تغییر فاز طبیعی ساختار کریستالی پیروی نمی‌کنند. لذا،  $MgO$  بالای محتوی در آنها یک منبع مهم مواد بازی برای کارخانه بازیافت است. به همین دلیل، آجرهای EAF در بک بخش جدا از کارخانه بازیافت، جائی که سنگ شکن‌های خاص این مواد را برای رسیدن به اندازه دانه مناسب خرد می‌کنند فراوری می‌شوند.

## ترکیب شیمیائی پودر

از آنجا که ترکیب شیمیائی مواد بازیافتی منفرد تغییر نمی‌کند، در یک میانگین مقیاس بزرگ برای هر کارخانه، تنها راه رسیدن به ترکیب شیمیائی مختلف مخلوط پودر نهایی تغییر در صد هر ماده در پودر نهایی است. به همین دلیل، بر اساس آنالیز شیمیائی اجزاء گوناگون، امکان افزودن درصدهای مختلف سایر مواد به پودر سرباره پاتیل، که پایه محصول بازیافتی است، به منظور رسیدن به "فرمول" مخلوط ورودی به EAF وجود دارد.

یک سیستم اتوماسیون بر مبنای PT.C ترکیب شیمیائی مخلوط را کنترل می‌کند، و وظیفه ردیابی برای تعیین دسته بندهی ترکیب شیمیائی سیلوهای ذخیره اصلی، سیلوی شارژ مخلوط نهایی پس از فراوری بازیافت، را دارد.

به این طریق، بر اساس گردید فولاد تولیدی (محدودیت کیفیت برای هر عنصر شیمیائی در فولاد مذاب) و بر اساس مدل متالوژیکی اجرا شده در سیستم اتوماسیون (با امکان تعیین واکنش متقابل بین سرباره EAF و فولاد و جذب ممکن عناصر شیمیائی نامطلوب)، PT.C به طور خودکار کمیت درست مواد بازیافتی را که بدون اختصار کیفیت فولاد می‌تواند به سرباره EAF اختلاف شود محاسبه می‌کند.

در بخش دیگری از واحد بازیافت، را که بطور خودکار به آن منتقل می‌شود طی می‌کند.

## فراوری نسوز پاتیل، تاندیش و کف EAF

به دلیل ترکیب شیمیائی آنها، ۳ نوع ضایعات تغییر ساختار کریستالی مشابه را طی می‌کنند، با وجود این، نوع ازمان تغییر فاز طولانی تر از مورد سرباره پاتیل است. البته از آنجا که این ۳ ماده معمولاً جمع آوری شده و در دمای کمتر به فرایند بازیافت وارد می‌شوند (تخربیت نسوز پاتیل، تاندیش کف EAF در هنگامی که این ۳ قسمت خیلی سردتر از دمای کاری آنهاست انجام می‌شود) امکان واکنش متقابل با رطوبت نیز بیشتر است. به همین دلیل فراوری مکانیکی خاص انجام می‌شود. کنترل دمای محیط و گازها، و کنترل دمای مواد نیز انجام می‌شود. با توجه به مواد پودر جمع آوری شده در سیلوی سرباره پاتیل جزء غیر پودری معمولاً یک ماده پودری غنی تر از نظر  $MgO$  است.

## فراوری ذرات ریز رویش شده و سایر ضایعات

### (fine)

این نوع پسماند از قبل در حالت پودری قرار دارد، معمولاً نیازی به فراوری خاص تغییر فاز کریستالی آن نمی‌باشد. اما رسیک هیدراته شده بیشتر است. این ماده معمولاً روزانه در کارخانه جمع آوری گردیده و به کارخانه بازیافت منتقل شده و در سیلوهای خاص جمع آوری می‌گردد. اتمسفر سیلو همانند سایر موارد کنترل می‌شود. ترکیب شیمیائی این ماده خیلی انعطاف‌پذیر است، پستگی به جایی که ماشین رویش در آن روز کار کرده یا بستگی به نواحی خاص تولید غبار دارد. با وجود این، کمیت این ماده در مقایسه با بقیه پسماندها خیلی کم است و تغییرپذیری آن اثری بر مخلوط نهایی ندارد.



لوله غبار گیر مکش می کند. استفاده از تزریق کننده مناسب یکی از موارد کلیدی برای موفقیت این بازیافت است.

#### منافع فاشی از این فرایند بازیافت

از نقطه نظر شیمیائی تزریق مخلوط پودر، که عمدتاً از سیلیکات کلسیم تشکیل شده، مقدار از قبل موجود  $C_2S$  در سرباره EAF را که توسط ترکیب معدنی زیر مشخص می شود افزایش می دهد؛ اولیوین، مرونت،  $C_2S$ ,  $\beta\text{-}C_2S$ ,  $CaO\text{-}FeO\text{-}MnO$ -RO ( محلول جامد- EAF,  $C_2F$ ,  $C_4AF$ ، فاز  $CaO$  و آزاد  $C_2S$ ) معمولاً در دمای سرباره  $MgO$  بصورت "ذرات معلق فاز ثانویه" وجود دارد. افزودن سایر ذراتی که از مخلوط بازیافتی می آیند دارای سه نتیجه می باشد: یک اثر جرم (کاهش  $FeO$  و افزایش ضخامت سرباره)، افزایش  $MgO$  (موجود در مخلوط) و افزایش محلهای جوانه زنی  $CO$ ، که متهی به مقدار زیادی حباب های مطلوب ریز گاز در سرباره پfk می گردد.

وجود ذرات معلق فاز ثانویه بر خواص پfk تاثیر بیشتری نسبت به کاهش کشش سطحی و افزایش وسکوزیت، که اعمال پfk کردن خوب هستند دارد. سرباره "بهینه" کاملاً مایع نمی باشد، اما از نظر  $C_2S$  و محلول جامد متیزیا- وومیت اشباع شده است، چنانکه در نمودارهای پایداری ایزو ترمال (خطوط نقطه دار) در شکل ۵ آمده است. به همین دلیل افزودن مخلوط پودر بازیافتی خواص سرباره EAF را بهبود می دهد. افزایش  $MgO$  در سرباره EAF به مصرف کمتر آجرهای نسوز EAF که یک مزیت اضافی دیگری است نیز منتج می شود.

توجه خاصی باید معطوف به افزودن فلاکس ها از طریق سیستم تزریق KT شود. پودر بازیافتی به صورت پیوسته به سرباره EAF اضافه می شود، نه یکباره، چنانکه در مورد افزودن آهک از طریق سبدها انجام می شود. این کار امکان می دهد تا شاخص بازیسته سرباره بهتر کنترل شود.

#### بازیافت در کوره قوس الکتریکی

مخلوط پودر از طریق یک تسمه نقاله لاستیکی به سیلوی ذخیره منتقل می شود و در طی این انتقال، یک جدا کننده فلزی قطرات آهن موجود در سرباره پاتیل و سایر جزء آهنی مخلوط را از آن جدا می کند. بازیابی آهن و فولاد قابل صرف نظر نمی باشد.

قبل از شارژ به سیلو، یک غربال دانه مخلوط پودر را تنظیم می کند. اندازه دانه بسته به جانمایی کارخانه، فاصله بین سیلو و EAF، فشار پنوماتیک حمل و نقل، مواد خط لوله، سایش مطلوب و سایر جنبه ها تعیین می شود. مواد با اندازه بزرگتر بطور خود کار به کارخانه فراوری بازیافت شارژ مجدد می گردند و خرد کردن یا نرم کردن بسته به اندازه آن انجام خواهد شد.

مرحله نهایی کارخانه فراوری ذخیره در سیلوی روزانه است. چرخه فرایند به عنوان یک سیستم کاری بر اساس روزانه قابل مشاهده است: سرباره پاتیل و سایر مواد تولید شده در یک روز به کارخانه بازیافت شارژ گردیده و همان روز فراوری می شوند، این مخلوط پودر تولیدی در روز بعد به سیلوی ذخیره شارژ می شود. به این طریق، سیلو همیشه در حال شارژ کردن مخلوط پودر با ترکیب شیمیائی معلوم، که درست چند ساعت قبل آماده شده به کوره است.

حمل و نقل پنوماتیک نهایی مخلوط پودری را از طریق تزریق کننده پودر مدل Techint KT به EAF می برد. ویژگی های سیستم سرد کننده این لانس ها به آنها امکان تزریق به زیر خط سرباره را با حداقل اینستی عملیاتی می دهد (بیش از ۳۰۰ لانس در سراسر دنیا برای انواع مختلف تزریق کننده در حال کار می باشد). توک لانس مستقیم به داخل خط سرباره می رود بنابراین بازدهی تزریق مخلوط پودری به داخل سرباره ۱۰۰ است. اگر مخلوط پودری به یک لوله عادی به بیرون سرباره تزریق شود، سیستم غبار گیر EAF فوراً ذرات خیلی ریز را، به دلیل اختلاف فشار بین EAF و



بسته تر می شوند، لذا رویکرد بازیافت تنها یک فرست نمی باشد، بلکه یک ضرورت برای بقا تولید فولاد نیز می باشد.

### مدل شبیه سازی متالوژیکی

همکاری بین شرکت Techint و دانشگاه مکانیک دانشگاه ایتالیائی Politecnico di Milano یک مدل متالوژیکی توانمند و انعطاف پذیر برای محاسبه کاربرد ممکن این فرایند بازیافت برای سایر کارخانجات تولید فولاد تهیه کرده است. کاربرد مقیاس بزرگ این فرایند یک فرست واقعی است. استفاده ایده آل از این بازیافت سرباره پاتیل در تمامی کارخانجات تولید فولاد اروپا امکان کاهش تا حدود ۳۰٪ در بهره گیری از سنگ آهک های طبیعی، یک چشم انداز ایده آل زیست محیطی، با توجه به مزایای اضافی برای تولید کنندگان فولاد را دارد. مدل امکان محاسبه تغییرات در موارد ورودی و خروجی EAF در هنگام استفاده از مخلوط بازیافتی را دارد. بویژه، مقدار آهک قابل صرف جوئی برای شارژ به EAF را محاسبه می کند.

هنگامی که حدود ۹۰٪ از آهک شامل CaO است، که امکان واکنش کامل در EAF را دارد، CaO با مواد بازیافتی شارژ می شود (گرچه با سرعت زیاد) بطور کامل برای واکنش قابل دسترس نمی باشد زیرا قبلاً بصورت جزئی به شکل ترکیبات کمپلکس درآمده است.

بنابراین CaO<sub>ACTIVE</sub> فعال بصورت CaO محتوی در محلوط پودری که قابلیت واکنش زیر را داشته باشد محاسبه می شود:

$$CaO_{ACTIVE} = CaO_{FREE} + CaO_{ALLOYED\ REAGENT} \quad (1)$$

که مقدار CaO<sub>FREE</sub> محتوی در محلوط پودری است

1. Icebergs

2. Skulls

"کوههای بیخ"<sup>۱</sup> آهک تشکیل نشوند. یک مزیت این فرایند بازیافت، بازیابی آهن از همه این محصولات جاتی است. معمولاً، پیمانکاران فرعی حمل و نقل سرباره آهن محتوی در سرباره را بازیابی می کنند، اما این آهن همیشه به جانی که تولید شده بود بر نمی گردد. این رویکرد بازیافت این منبع درون کارخانه ای را حفظ می کند.

البته با توجه به اهمیت وضعیت زیست محیطی کارخانه، این فرایند بازیافت پودر غبار موجود در آتمسفر کارخانه را تا یک حداقل کاهش می دهد، زیرا هیچ ناجیه ای وجود ندارد که در آن پودر غبار در هوای آزاد باقی بماند. فضای کارخانه بازیافت کاملاً بسته است و مجهر به فیلتر مکنده و مجموعه کیسه فیلتر است. غبار جمع آوری شده در اینجا مجدداً به فرایند بازیافت شارژ می شود. بخش پودری مواد بازیافتی (تصورت اضافات<sup>۲</sup> تاندیش و اضافات پاتیل یا اضافات ظرف سرباره) تنها خروجی های کارخانه بازیافت هستند که در سیلوی روزانه نگهداری نمی شود. تفاوتی بین اضافاتی که از کارخانه بازیافت می آید و اضافات عادی تولید شده در واحد فولاد سازی آن است که اضافات بازیافتی تمیز و اماده برای حمل به دیوی قراضه می باشند، جایی که آنها می توانند مجدداً به سبد های قراضه شارژ شوند. حتی هنگامی که این اضافات خیلی بزرگ باید بر شکاری شوند، آنها قادر بقایای سرباره بوده، لذا عملیات برش می تواند سریع تر انجام گردد، از آن رو سبب صرفه جوئی در نیروی انسانی می شود. بازیافت داخلی ضایعات و پسماندهای یاد شده فوق، امکان دفع چینی موادی را با هزینه کمتر می دهد، گرچه هزینه واقعی بسته به قوانین منطقه ای، مالیات های محلی، قابلیت دسترسی محل های دفع، هزینه حمل و نقل مربوطه و غیره خیلی متغیر خواهد بود. در ایتالیا، همانند خیلی از کشورهای جامعه اروپا، مقررات سال به سال



طبق تعریف، ثابت تعادل، نسبت بین اکتیویته مخصوصات واکنش و واکنش کنده‌ها، به توان ضریب استوکیومتری آنها است:

$$K = \frac{\prod_i a_{products}^x}{\prod_j a_{reagents}^y} \quad (6)$$

بمنظور شناخت چگونگی پیشرفت واکنش‌ها در سرباره مذاب، محاسبه تفاوت بین پتانسیل‌های اکسیژن مربوط به اکتیویته اکسیژن سرباره و اکتیویته اکسیژن واکنش آزمایشی مفید است. اکتیویته اکسیژن مربوط به در هر واکنش مقدار اکسیژن ضروری برای وقوع واکنش خاص را ارائه می‌کند. هرچه تفاوت بین پتانسیل اکسیژن بیشتر، وقوع واکنش بهتر.

$$U = - \int_0^B MdB_m \quad (7)$$

محاسبه اکتیویته اکسیژن واکنش توسط معادلات تعادل ترمودینامیکی، با دانستن اکتیویته‌های عناصر و ثوابت تعادل، و با قراردادن مقدار واحد (یک) برای اکتیویته‌های محصول قابل انجام است.

### اکتیویته‌های عناصر

در اطباق با نظریه‌های سرباره، سرباره محلول یونی از کاتیون‌ها و آنیون‌های اکسیژن است. در مورد محلول منظم، ضریب اکتیویته جزء عمومی  $\gamma_i$  در یک سیستم چند جزئی، را بصورت زیر می‌توان نوشت:

$$RT \ln \gamma_i = \sum_j a_{ij} X_j^2 + \sum_{j,k} (a_{ij} + a_{ik} + a_{jk}) \cdot X_j \cdot X_k \quad (8)$$

که  $X_i$  جزء کاتیونی و  $a_{ij}$  انرژی واکنش متقابل بین کاتیون‌ها است (جدول ۱).

از طریق معادله ۹، امکان دستیابی به مقادیر ضریب هر جزء وجود دارد:

$$\gamma_i = e^{RT \ln \gamma_i} \quad (9)$$

که برای تشکیل کمپلکس ترکیب نشده و  $CaO_{ALLOYED REAGENT}$  بخشی از  $CaO$  است که گرچه برای تشکیل ترکیبات کمپلکس ترکیب شده، می‌تواند در EAF واکنش کند.

بمنظور پیدا کردن مقدار  $CaO$  آزاد، اطلاعات ترکیبات در مخلوط پودری براساس نظریه‌هایی در مورد انرژی واکنش متقابل بین کاتیون‌ها و آنیون‌ها و پتانسیل اکسیژن شیوه‌سازی می‌شود.

رویکرد نظری، که اساساً برای رسیدن به نتایج معتب نه تنها در این مورد خاص ضروری است، بلکه برای مدیریت بر ارزیابی واکنش‌های شیمیائی که می‌توانند در دماهای خاصی رخ دهند و عناصر محتوی در مخلوط پودری هم قابل کاربرد است.

برای اینده کیفی در مورد اینکه کدام واکنش‌ها می‌توانند به سهولت در مذاب تولیدی رخ دهند، مقادیر انرژی آزاد آنالیز می‌شوند. در واقع، تغییر انرژی آزاد تمایل فرایندهای ایزوترمال (هم دما) و ایزوباریک (هم فشار) برای انجام خودبخود را اندازه‌گیری می‌کند. در این مورد می‌توان نوشت:

$$W = (\Delta H - T \Delta S) = \Delta G \quad (2)$$

محاسبه تغییرات واکنش انرژی آزاد با استفاده از  $\Delta G$  برای تشکیل ترکیبات انجام می‌شود:

$$\Delta G_{reaction} = \Delta G_{products} - \Delta G_{reagent} \quad (3)$$

از طریق استفاده از انرژی آزاد و تغییرات آن در واکنش شیمیائی در دمای ثابت، امکان تعیین تعادل واکنش وجود دارد. در واقع، می‌توان ثابت تعادل  $K$  را بصورت زیر محاسبه کرد:

$$\ln K(T) = \frac{-\Delta G}{RT} \quad (4)$$

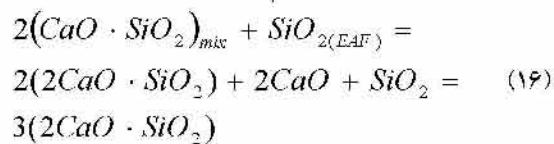
$$K(T) = e^{-\frac{\Delta G}{RT}} \quad (5)$$



سیستم وجود دارد. از طریق این درصد جزء، درصد مول‌های هر ترکیب نیز قابل محاسبه است.

اگر مقادیر واکنش کنده‌ها کافی نباشد، مقدار واقعی محصولات توسط اشباع چند ماده شیمیائی محدود قابل دستیابی است.

محاسبه  $CaO_{ALLOYRD REAGENT}$ ، با تقریب، با در نظر گرفتن واکنش زیر در EAF انجام می‌شود:



از طریق شبیه سازی تشکیل اجزاء در سرباره EAF کمیت  $CaO$  ضروری در اشباع  $SiO_2$  و  $Al_2O_3$  محاسبه می‌شود. این شبیه سازی همانند مورد سرباره LF است؛ تفاوت‌ها مربوط به ترکیب شیمیائی، بخصوص  $FeO$  محتوی، و در نتیجه برای تشکیل ترکیبات مرکب (compound) می‌باشند. بخشی از  $CaO$  ضروری همراه با  $CaO$  فعال محتوی در مخلوط پودری شارژ می‌گردد، در حالی که بخش باقیمانده از طریق آهک و دولومیت شارژ می‌شود.

مدل شبیه سازی قابلیت دارد برای:

- شبیه سازی ترکیبات مرکب در سرباره LF از ترکیب شبیه مواد.
- شبیه سازی امکان پذیری بازیافت مخلوط پودری در EAF و پرآورد مقدار آهک قابل صرفه جوئی.

### آلیز آزمایشگاهی

آلیز نمونه‌های پودر و غیرپودر سرباره پاتیل در Stefana SpA با همکاری Politecnico di Milano برای شناخت بهتر ترکیب شیمیائی سرباره LF انجام گرفت. دو نوع نمونه در طی تعداد کافی از ذوب‌ها برداشته شدند. اولین نمونه مستقیماً از پاتیل، از سرباره مذاب در طی اندازه گیری دما و نمونه دوم از سرباره سرد پس از تخلیه پاتیل برداشته شد. هر نمونه برای

با داشتن ضرایب، امکان پیدا کردن فقط اکتیویته‌ها توسط خرب کردن ضرایب با غلطت کاتیون‌ها وجود دارد:

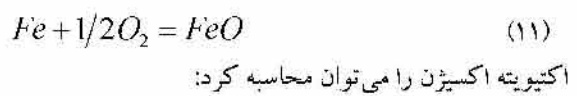
$$a_i \gamma_i X_i \quad (10)$$

که  $X_i$  یک کسر کاتیونی است که توسط آنالیز شیمیائی سرباره قابل محاسبه است.

### اکتیویته اکسیژن

محاسبه اکتیویته اکسیژن سرباره در فرایند فولادسازی خیلی اهمیت دارد. در واقع، بطور کلی، همه فرایندها توسط واکنش اکسیداسیون-احیا که بر حسب اکسیژن تنظیم می‌شوند مشخص می‌گردند.

اکتیویته  $FeO$  یک عامل اصلی است که برپانسیل اکسیژن سرباره تاثیر می‌گذارد. با توجه به واکنش تشکیل  $FeO$



$$a_O = \frac{a_{FeO}}{K_{FeO} \cdot a_{Fe}} \quad (12)$$

که اکتیویته  $Fe$  برابر یک در نظر گرفته می‌شود. ثابت تعادل واکنش  $FeO$  است و توسط انرژی تشکیل قابل محاسبه است:

$$K(T) = e^{\frac{-\Delta G(T)_{reaction}}{RT}} \quad (13)$$

که  $\Delta G$  واکنش بصورت زیر محاسبه می‌گردد:

$$\begin{aligned} \Delta G(T)_{reaction} = & \\ \Delta G(T)_{products formation} - \Delta G(T)_{reagents formation} & \end{aligned} \quad (14)$$

اکتیویته  $FeO$  توسط رابطه زیر محاسبه می‌شود:

$$a_{FeO} = 2.308 \cdot X_{FeO} \quad (15)$$

که  $X_{FeO}$  جزء مولی  $FeO$  است. همه اجزاء عبارات معلوم می‌باشند، و اکتیویته اکسیژن سرباره قابل محاسبه است.

پس از اینکه اکتیویته‌های عنصر و اکسیژن محاسبه شدند، امکان محاسبه هر واکنش از کل انرژی قابل تولید



سایر گریدهای فولاد نرخ بازیافت کاهش یافته به  $1200\text{kg}/heat$  رسید. از ژانویه ۲۰۳۰ با این روش، امکان بازیافت  $100\%$  محصولات جانبی مذکور را پیدا کرده است. تزریق این مقدار از مواد بازیافتی به این کارخانه امکان کاهش آهک عادی شارژ را تا حدود  $1000 - 1200\text{kg}/heat$  حدود  $30\%$  هزینه آهک، علاوه بر مزیت عدم دفع این ضایعات.

شیوه سازی متالورژیکی با داده‌ها از کارخانه Stefana نشان می‌دهد که امکان بازیافت با نرخ حدود  $1600\text{kg}/heat$  مخلوط پودری در سرباره EAF وجود دارد که به معنی  $15\%$  هزینه آهک علاوه بر مزیت عدم دفع ضایعات مذکور است. (در مورد Stefana فهرست کامل ضایعات بازیافت می‌شود، لذا یک مزیت بیشتر نیز ناشی از عدم دفع عاید می‌شود) مدل شیوه سازی برای Stefana نشان می‌دهد که هزینه سرمایه گذاری کلی در کمتر از ۳ سال برگشت خواهد کرد. شرکت Ferrire Nord در طی چند سال گذشته بازیافت پایدار صنعتی سرباره پاییل را نشان داده شده است. محیط کارخانه بهبود یافته است، قابلیت سودآوری تولید فولاد را به مخاطره نمی‌اندازد. این کارخانه بطور واضحی یک شاخص برای صنعت فولاد اروپاست. آینده فولاد سازی الکتریکی باید اجباراً کاهش ضایعات کارخانه را که یک منبع داخلی برای صرفه جویی هزینه‌های متغیر تولید است در نظر بگیرد.

جدا کردن بخش نرمه از بقیه الک شد. سه آنالیز بر روی هر نمونه انجام شد: متالوگرافی، شیمیائی و ترکیب مرکب.

### آنالیز متالوگرافی

تفاوت متالوگرافیکی بین بخش‌های پودر و غیرپودر نمونه‌های آنالیز شده با SEM در شکل ۶ نشان داده می‌شود.

### آنالیز شیمیائی

آنالیز شیمیائی با SEM انجام گرفت. در جدول ۲، آنالیز میانگین نمونه‌های پودر، غیرپودر و مخلوط آورده شده است.

### آنالیز ترکیبات

یک پروب EBSD که بر روی SEM نصب گردیده بود برای آنالیز ترکیبات نمونه مورد استفاده قرار گرفت. نتایج میانگین بدست آمده برای نمونه‌های آنالیز شده در جدول ۳ نشان داده می‌شود. مقایسه نتایج مدل در جدول ۴ با آنالیز میانگین ترکیبات در نمونه‌های سرباره، قابل توجه است که خیلی شبیه هم هستند.

### نتایج

در مورد شرکت Ferrire Nord، بسته به گرید فولاد نرخ‌های بازیافت مختلف مورد استفاده قرار گرفته اند. برای فولاد میلگرد آج دار ( $70\%$  تولیدات کارخانه) نرخ بازیافت  $1800\text{kg}/heat$  به اثبات رسیده است. در حالی که برای

## مراجع

- [1] Shi, C., "Characteristics and Cementitious Propertise of Ladle Slag Fines From Steel production," Cement and concrete Research, Vol. 32, Issue 3, March 2002, pp. 459-462.
- [2] Seo, W-G., and Tsukihashi, T., "Molecular Dynamics Propertise for the CaO-SiO<sub>2</sub> System," ISIJ International, Vol. 44, No. 11, 2004, pp. 1817-1825.
- [3] Motz, H., and Geiseler, J., "Products of Steel Slags, An Opportunity to save Natural Resources," Waste Management, Vol. 21, Issue 3, June 2001, pp. 285-293.
- [4] Porisiensi, S., "Recycling of Ladle Slag and Spent Refractory by Into an EAF," Iron & Steel Technology, June 2004, pp. 63-66.
- [5] ISO 8573-1, 2001, Compressed Air, Part1: Contaminants and Purity Classes.
- [6] Memoli, F., and Koster, V., "The Advanced KT Injection System for High-productivity EAFs," AISI Steel Technology, March 2002, pp. 28-35.
- [7] Pretorius, E., and Carlisle, R. C., "Foamy Slag Fundamentals and Their Practical Application to Electric Furace Steelmaking," Iron & Steelmaking, 1999, No. 10, pp. 79-88.
- [8] Ito, K., and Fruehan, R. J., "Slag Foaming in Electric Furance Steelmaking," ISS Transactions, Iron & Steelmaker, Vol. 16, No. 8, 1989, pp. 55-60.
- [9] Oltmann, H., and Pretorius, E., "Improvements in EAF Operation by the Use of Refining Simulation Tools and Mass-balance Programs for Foaming Slag," ABM XXXIV Steelmaking Seminar, May 12-19, 2003.
- [10] Danilov, E. V., "Modern Technology for Recycling Steelmaking Slags," Metallurgist, Vol. 47, issue 5-6, May-June 2003, pp. 232-234.
- [11] Shen, H., and Forssberg, E., "An Overview of Recovery of Metals From Slags," Waste Management, Vol.23 No. 10, 2003, pp. 933-949.
- [12] Sanq N., Lu, W. K.; Ribond, P. V.; and Maeda M., Advanced Physical Chemistry for Process Metallurgy, Academic Press, 1997.
- [13] Geiseler, J., "Use of Steelworks Slag in Europe," Waste Management, Vol. 16, 1996, Issue 1-3, pp. 59-63.
- [14] Turkdogan, E. T., Physicochemical Properties of Molten Slags and classes, The Meals Society London, 1983, P. 224.
- [15] Kubaschewsky, O., and Alcock, C. B., Metallurgical Thermochemistry, 5th ed., Pergamon press, Oxford, 1979.
- [16] Richardson, F. D., Physical Chemistry of Melt in Metallurgy, Vol. 2, Academic Press, London, 1974.
- [17] Fabrichaya, O. B.; Seifert, H. J.; and Aldinger, F., Thermodynamic Modelling in Oxide System Max-Planck-Institut four Metallforschung, Germany.
- [18] Wu, p.; Eriksson G.; Pelton, A. D.; and Blander, M., "prediction of the Thermodynamic Propertise and Phase Diagramas of Silicate System\_Evaluation of the FeO-MgO-SiO<sub>2</sub> System," ISIJ International, Vol. 33, (1993), No. 1, pp. 26-35.
- [19] Ohta, H., and Suito, H., "Activities of SiO<sub>2</sub> and Al<sub>2</sub>O<sub>3</sub> and Activity Coefficients of FeO and MnO in CaO-Al<sub>2</sub>O<sub>3</sub>-MgO Slags," Metallurgical and Materials Transactions, Vol. 29B, 1998, pp. 119-129.
- [20] Iguchi, Y.; Narushima, T.; and Izumi, C., "Calorimetric Study on Hydration of CaO-based Oxides," Journal of Alloys and Compounds, 321, 2001, pp. 276-281.
- [21] EP 1 337 671 B1, "Method for Treatment of Ladle Slag," January 2005.
- [22] Huuh, W. W., and Jung, W. G., "Effect of Slag Composition on Reoxidation of Aluminum-killed Steel," ISIJ International, Vol. 36, 1996.



جدول ۱. ارزی و اکتش متقابل بین کاتیون‌ها و آنیون‌ها.

	$\text{Ca}^{2+}$	$\text{Mg}^{2+}$	$\text{Al}^{3+}$	$\text{Mn}^{2+}$	$\text{Si}^{4+}$	$\text{P}^{5+}$	$\text{Fe}^{2+}$	$\text{Fe}^{3+}$
$\text{Ca}^2$		-۱۰۰/۴۲	-۱۵۴/۸۱	-۹۲/۰۵	-۱۲۳/۸۹	-۲۵۱/۰۴	-۳۱/۳۸	-۹۵/۸۱
$\text{Mg}^2$	-۱۰۰/۴۲		-۷۱/۱۳	۶۱/۹۲	-۹۹/۹۴	-۳۷/۶۶	۳۳/۴۷	-۲/۹۳
$\text{Al}^3$	-۱۵۴/۸۱	-۷۱/۱۳		-۸۳/۶۸	-۱۲۷/۶۱	-۲۶۱/۵۰	-۴۱/۱۰	-۱۶۱/۰۸
$\text{Mn}^{2+}$	-۹۲/۰۸	۶۱/۹۲	-۸۳/۶۸		-۷۵/۳۱	-۸۴/۹۴	۷/۱۱	-۵۶/۴۸
$\text{Si}^{4-}$	-۱۳۳/۸۹	-۶۶/۹۴	-۱۲۷/۶۱	-۷۵/۳۱		۸۳/۶۸	-۴۱/۸۴	۲۲/۶۴
$\text{P}^{5+}$	-۲۵۱/۰۴	-۳۷/۶۶	-۲۶۱/۵۰	-۸۴/۹۴	۸۳/۶۸		-۳۱/۳۸	۱۴/۶۴
$\text{Fe}^{2-}$	-۳۱/۳۸	۳۳/۴۷	-۴۱/۱۰	۷/۱۱	-۴۱/۸۴	-۳۱/۳۸		-۱۸/۶۶
$\text{Fe}^3$	-۹۵/۸۱	-۲/۹۳	-۱۶۱/۰۸	-۵۶/۴۸	۳۲/۶۴	۱۴/۶۴	-۱۸/۶۶	

جدول ۲. آنالیز شیمایی میانگین نمونه‌ها.

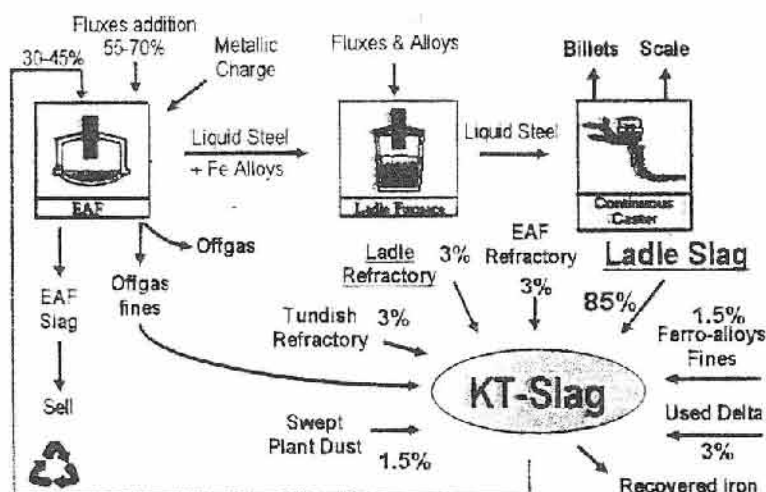
	پودر	مخلوط	غیر پودر
$\text{CaO}$	۵۰/۸	۴۶/۹	۵۰/۲
$\text{SiO}_2$	۱۸/۵	۲۰/۸	۱۹/۸
$\text{Al}_2\text{O}_3$	۱۳/۶	۱۷/۲	۱۷/۵
$\text{MgO}$	۳/۵	۴/۲	۴/۰

جدول ۳. نتایج آنالیز ترکیبات مرکب.

آفالیز ترکیبات مرکب	%
$3\text{CaO} \cdot \text{Al}_2\text{O}_3$	۲۴
$\text{CaO} \cdot \text{Al}_2\text{O}_3 \cdot 2\text{SiO}_2$	۲۴
$3\text{CaO} \cdot \text{SiO}_2$	۱۱
$2\text{CaO} \cdot \text{SiO}_2$	۸
$2\text{FeO} \cdot \text{MgO}$	۱
None	۱۴

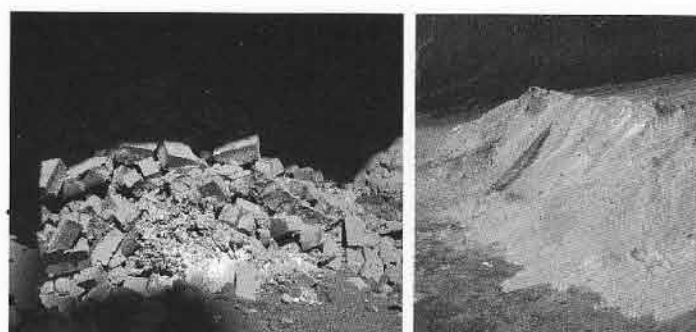
جدول ۴، نتایج مدل.

آنالیز توکیبات مرکب	%
$3\text{CaO} \cdot \text{Al}_2\text{O}_3$	۳۲
$\text{CaO} \cdot \text{Al}_2\text{O}_3 \cdot 2\text{SiO}_2$	۱۷
$3\text{CaO} \cdot \text{SiO}_2$	۱۱
$2\text{CaO} \cdot \text{SiO}_2$	۷
$2\text{FeO} \cdot \text{MgO}$	۱
None	۶

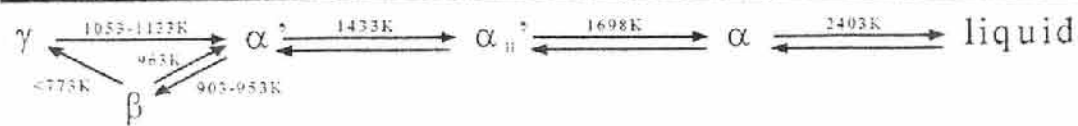


Basic flow of liquid steel production and recycling: the KT-slag process.

شکل ۱. جریان اصلی تولید فولاد مذاب و بازیافت: فرایند KT-slag.

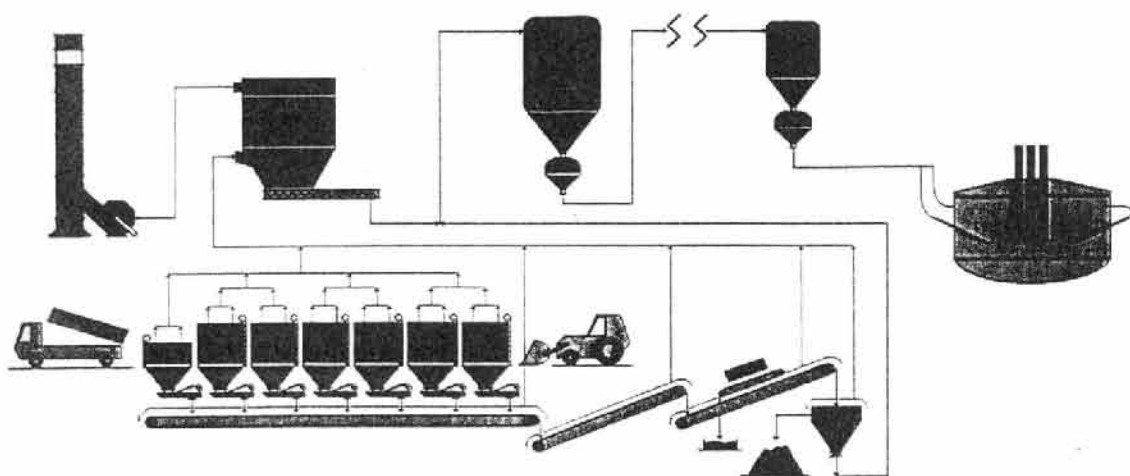


شکل ۲. مثال‌هایی از موادی که قابل بازیافت هستند، نسوز مصرفی (چپ) و سرباره پاتیل (راست).

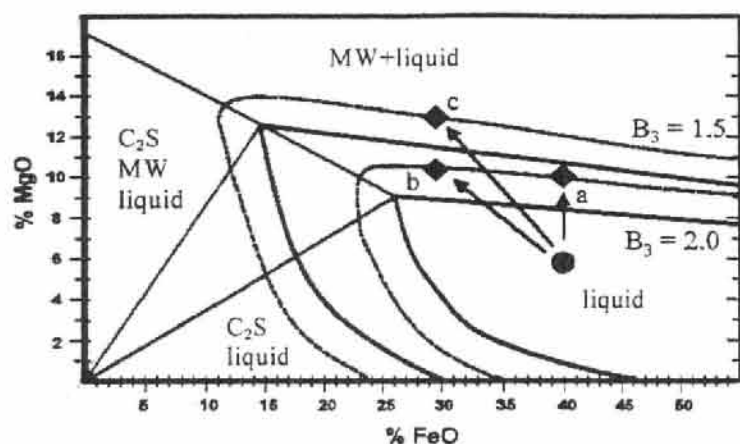


Experimentally measured phase transition temperatures for  $C_2S$  polymorphs.

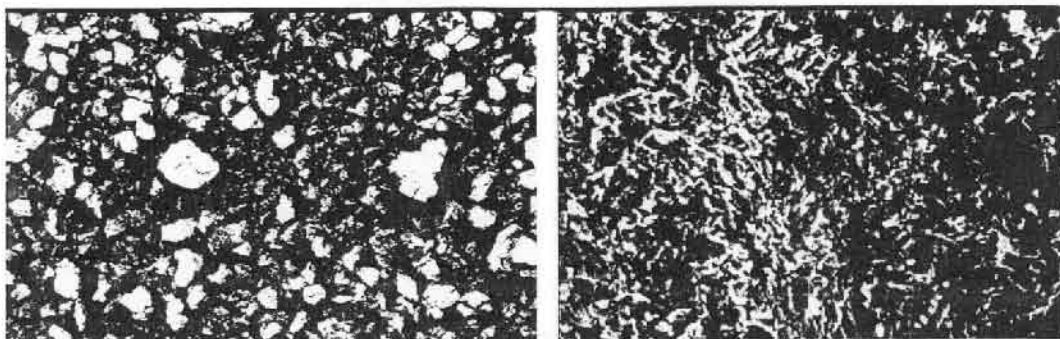
شکل ۳. دمای تغییر فاز آندازه گیری شده آزمایشگاهی برای پنج مورف های  $C_2S$ .



شکل ۴. طرح شماتیک سیستم در حال کار در شرکت Osopo Ferrire Nord در یتالیا.



شکل ۵. نمودار پایداری آبزوترممال در  $1600^{\circ}C$  نشان دهنده سرباره اولیه (●) و سه هدف (◆) برای سرباره پنکی کردن نخوب (a) در  $30\%FeO$ ، (b) در  $40\%FeO$  و (c) با  $B_3 = 2.0$  برای  $30\%FeO$  مربوط به منحنی برای  $B_3 = 1.5$ .



شکل ۶۰ آنالیز تفرق اشعه X (XRD) نرمه‌های سرباره پاتیل در بزرگنمایی ۵۰X نشان دهنده جزء پودری سرباره پاتیل، آنالیز شده توسط دانشکده مکانیک Politecnico di Milano (چپ) پودر و (راست) غیرپودر.

در حال حاضر رشد تولید فولاد ایران حدود پنج برابر متوسط رشد تولید خاورمیانه است و به عقیده کارشناسان در صورت تداوم روند موجود، جایگاه تولید فولاد ایران در جهان به سرعت تغییر می‌یابد.



[gostareshonline.com](http://gostareshonline.com)

ایران به علت داشتن سنگ آهن، منابع انرژی، بازار مصرف و نیروی کار جوان برای تولید فولاد دارای مزیت نسبی قابل توجه‌ای نسبت به سایر کشورهای خاورمیانه است.



[gostareshonline.com](http://gostareshonline.com)



## شناسایی ویژگی‌های چدن‌های نشکن توسط روش جریان گردابی\*

ترجمه و تدوین؛ مهندس پویا ولی زاده<sup>۱</sup> و دکتر علیرضا کیانی رشید<sup>۲</sup>

۱-دانشجوی کارشناسی ارشد، گروه مهندسی متالورژی و مواد، دانشکده مهندسی، دانشگاه فردوسی مشهد

۲-دانشیار، گروه مهندسی متالورژی و مواد، دانشکده مهندسی، دانشگاه فردوسی مشهد

همانند لوله‌ها [۸-۹]، لوله‌های مبدل‌های حرارتی در نیروگاه‌های هسته‌ای [۹-۱۱]، ساختارهای چند لایه [۱۲] و محصولات مستعد خوردگی و ترک مورد استفاده می‌باشد. در این مقاله سعی شده است تا دامنه مشکلات قابل حل با این روش را توسعه داده و از آن برای تعیین مشخصه‌های چدن نشکن استفاده شود.

خواص مکانیکی و خواص الکترومغناطیسی چدن نشکن به ساختار زمینه، شکل، اندازه و تعداد گرافیت‌های رسوب کرده بسیار وابسته است. نسبت فریت - پرلیت به شدت بر روی سختی، استحکام کششی و تسلیم و خواص ضربه‌ای تاثیر دارد [۱۳]. علاوه بر این، رده‌های فریتی چدن، خاصیت مغناطیسی ضعیف تری از نوع پرلیتی و رساتانی پیشتری دارند. بنابراین، جریان‌های گردابی در چدن به وسیله جریان AC که باید مقاومت ظاهری کویل بر طبق تغییرات ویژگی‌های مکانیکی تغییر کند، ایجاد می‌شود. این ارتباط، بینان خوبی برای آزمون غیر مخرب در چدن‌های نشکن توسط کاوشگر جریان گردابی فراهم می‌کند. نظر به اینکه هم اکنون روش فرآصوتی در پیشگویی خواص مکانیکی فولادها و چدن‌ها به طور معمول مورد استفاده قرار می‌گیرد. در این تحقیق قابلیت‌های آن با روش جریان گردابی مقایسه شده است.

\* این متن ترجمه‌ی کامل مقاله زیر است:

S. Konoplyuk, T. Abe, T. Uchimoto, T. Takagi, M. Kurosawa, Characterization of ductile cast iron by eddy current method, NDT&E International 38 (2005) pp. 623-626.

### چکیده

در این پژوهش از روش جریان گردابی برای ارزیابی خواص مواد چدن‌های نشکن استفاده شده است. اندازه گیری‌ها به کمک سیگنال‌های پاسخ جریان گردابی از چدن نوع FCD با درجه‌های ۴۵۰-۶۰۰ انطباق خوبی با سختی و خواص کششی آن‌ها را نشان می‌دهد. بهره گیری از امواج فرآصوتی متناوب نیز برای ارزیابی سختی نمونه‌ها به کار گرفته شده و نارسانی این روش برای نمونه‌هایی با میزان کرویت گرافیت یکسان نشان داده شده است.

**کلمات کلیدی:** بررسی غیر مخرب، چدن‌های نشکن، سختی بریتل، خواص کششی، جریان گردابی،

### ۱. مقدمه

اخيراً آزمون‌های غیر مخرب متنوعی برای تشخیص مواد مهندسی آهنی و هم چنین برای بازرگانی و بازبینی آن‌ها توسعه یافته است. این روش‌ها شامل روش لیزر فرآصوتی [۱۴]، دما نگاری مادون قرمز [۱۳]، پراش نوترونی [۱۵] SQUID وغیره می‌باشند. علاوه بر روش‌های جدید، توجه زیادی برای بهبود روش‌های مرسوم همانند امواج فرآصوتی، نشت شار مغناطیسی، تنش باقی مانده، آزمون جریان گردابی وغیره صورت گرفته است. تا کنون آزمایش‌های جریان گردابی با وجود سادگی و ارزانی اساساً در عمل برای بازرگانی و بازبینی شرایط در سیستم‌های مجتمع

روال عادی ریخته گری به طریق زیر است: فلز پایه آهن به همراه مواد شارژ آهن خام، برگشتی‌های آهن و فولادی در بونه که داخل کوره الکتریکی قرار می‌گیرد، ذوب گردیدند. برای تولید چدن با گرافیت کروی، مذاب بر روی آلیاژ فروسیلیکو منیزیم که درته پاتیل قرار داشت، ریخته شد. بعد از تلقیح، مذاب داخل قالب ماسه ای ریخته شد. چدن‌های ریخته شده برای آزمون‌های سختی برینل و کشش و همچنین آزمایش وسیله آزمایش‌های فرا صوتی و جریان گردابی برش خوردند. در مورد اخیر نمونه‌ها بصورت مکعب و با ابعاد  $50 \times 50 \times 50$  mm تولید شدند. آزمایش کششی روی نمونه‌های استوانه ای با شعاع  $30\text{ mm}$  و طول  $400\text{ mm}$  انجام شد.

### ۳. نتایج و بحث

مطالعات مروری بیانگر این می‌باشد که سرعت امواج فراصوتی در چدن با کاهش کرویت گرافیت، به سرعت کاهش می‌یابد. هم چنین نشان داده شده است که برخی از خواص ماده (استحکام کششی و مدول الاستیستیه) که به مورفو لوژی گرافیت در چدن وابستگی شدید دارند با سرعت امواج فراصوتی نیز مرتبط هستند. از آنجایی که روابط تجربی بین خواص کششی و سختی وجود دارد [۱۴] انتظار می‌رود اندازه گیری‌های فراصوتی همچنین بتواند برای تعیین سختی نیز مورد استفاده قرار گیرد. برای مطمئن شدن از اینکه این آزمون می‌تواند سختی چدن را تعیین کند، سرعت امواج فراصوتی در نمونه اندازه گیری شد. شکل ۳ نشان می‌دهد که سرعت امواج فراصوتی طولی و سختی در نمونه‌ها با هم مرتبط نیستند.

تمام نمونه‌های مورد آزمایش نودولاریتی حدود  $100 \times 100 \times 450$  mm درصد داشتند ولی ساختار کلی آنها متفاوت بود که می‌توانیم نتیجه بگیریم که دلیل فقدان وابستگی، تزدیکی خواص الاستیستیکی فریت و برلیت است.

### ۲. آزمایش‌ها

در تحقیق حاضر از یک سیم پیچ متداول برای ارزیابی خواص مکانیکی استفاده شده است. سطح پروف شامل دو عمل کننده می‌باشد که به صورت تفاضلی عمل می‌کنند: یکی برای ایجاد جریان القایی و تشخیص و دیگری به عنوان سیگنال مرجع است (شکل ۱). کویل‌ها از طریق تجهیزات assort-PC2-EC به کامپیوتر متصل شده اند. خروجی وسیله شامل ۲ کاتال است یا به عبارت دیگر سیگنال‌های استفاده شده برای بررسی بعد از پردازش با دستگاه EC به کاتال خروجی ارسال می‌شوند. سیگنال‌های ثبت شده حاصل تغیریک و لتاژ کویل مرجع بالایی از ولتاژ کویل جمع آوری کننده پایینی می‌باشند.

این ولتاژ مناسب با مقاومت ظاهری مختلط کویل‌ها می‌باشد و می‌تواند در صفحه مرکب در شکل منحنی‌های جداگانه ای قابل مشاهده باشد. قبل از اندازه گیری‌ها، کاوشگر در برایر یک نمونه آزمایش شده کالیبره گردیده و تمام اندازه گیری‌ها در دمای اتاق انجام شده است.

در آزمایش فراصوتی امواج طولی با فرکانس  $5\text{ MHz}$  تولید شدند. نمونه‌های مورد آزمایش برش خوردند تا نمونه‌هایی با ارتفاع  $50\text{ mm}$  با سطوحی موازی در بالا و پایین قطعه بدست آید. امواج فراصوتی طولی به وسیله یک کاوشگر اتصال مستقیم ایجاد گردیدند. سیگنال‌ها به وسیله Panametric Pulser/Receiver Model 5800 تولید و ثبت شدند.

در این تحقیق  $52$  نمونه بررسی شد. تمام نمونه‌های ریخته گری شده مورد مطالعه در این کار از نوع FCD گردید و مطابق با استاندارد ژاپن می‌باشند. عکس‌های تهیه شده توموگرافیک میکروسکوپ نوری در این پژوهش سه نوع اصلی از چدن نشکن را با ساختار فریتی (شکل ۲ الف)، پرلیتی - فریتی (شکل ۲ ب) و ساختار بینایین (شکل ۲ ج) نشان می‌دهند.



باقي مانده‌ها است که مجددورها در واقع اختلاف بین مقدار میانگین  $\bar{Y}$  و مقدار پیشگویی شده  $\hat{Y}$  می‌باشد و  $T$  برابر با کل مجموع مجددورها (که مجددورها برابر با اختلاف بین مقدار میانگین  $\bar{Y}$  و مقدار واقعی  $\bar{Y}$  می‌باشد) است.  $R$  بر طبق داده‌ها در شکل ۵، ۰/۸۸ بدست آمد. باید در نظر داشت که با وجود اینکه نمونه‌ها همان کرویت را دارا می‌باشند، ولی در تعداد و اندازه ندول‌ها تفاوت دارند. این امر ناجه ای از نمودار شکل ۵ را شرح می‌دهد که نمونه‌هایی با سختی متفاوت دارای پاسخ جریان گردابی مشابه می‌باشند. موقعیت نقاط مشخص شده در نمونه‌ها A، B و C (شکل ۲) در نمودار تزدیگ به موقعیت‌های پیش‌بینی شده برای آنها تطابق خطی است.

با وجود اینکه ریزساختار چدن‌ها به اندازه مورفولوژی گرافیت روی خواص کششی تاثیر ندارد، ولی ارتباط خوبی بین سختی و استحکام کششی وجود دارد [۱۴]. در همین ارتباط مابین استحکام کششی و افزاید طول با سیگنان خروجی کاوشگر مورد بررسی قرار گرفته است (شکل ۶).

مقدار مطلق (قدر مطلق) ضریب همبستگی  $R$  در این روابط خوبی تزدیگ به یکدیگر است و معادل ۰/۸۴-۰/۸۳ برای استحکام کششی و ۰/۰۵-۰/۰۷ برای افزاید طول است. در این حالت سختی شبیه انتساب خطی استحکام کششی منفی می‌باشد.

باید توجه شود که خواص کششی به تغییرات جزیی در مورفولوژی گرافیت حساس تر از سختی می‌باشد. این امر در ضریب  $R$  از نمودار شکل ۶ دیده می‌شود. به طوری که از ضریب  $R$  در نمونه سختی- و لذائذ کوچکتر است.

بطورکلی، چون تنوع تغییرات سختی و خواص کششی دیده شده در نمونه اساساً به تغییرات در ریزساختار ارجاع داده می‌شود، روش جریان گردابی را می‌توان برای تعیین سختی و خواص کششی چدن‌ها و با این شرط که مورفولوژی گرافیت‌ها بیکسان باشد به کار برد.

برای حل مشکل جدا سازی نمونه‌هایی با نسبت متفاوت فریت - پرلیت از جریان گردابی استفاده شد، زیرا این روش به خواص الکترومغناطیسی متفاوت در فریت و پرلیت حساس می‌باشد. به دلیل اینکه قدرت آشکار سازی این روش به فرکانس سیگنان‌های القا شده وابسته است، آزمایشات اولیه برای پیدا کردن فرکانس بهینه انجام شد. برای این منظور دو نمونه با ساختار زمینه فریت و پرلیت انتخاب شدند. فرکانس در محدوده بین ۵-۶۰ KHz تغییر داده شد. ولتاژ خروجی از ۲ کانال روی صفحه مخلوط رسم گردید. همانطور که در شکل ۴ دیده می‌شود، بهترین حالت تمايز بین سیگنان‌ها در حداقل فاصله بین کویل از نمونه و در فرکانس زیادتر از ۵۰ KHz دیده می‌شود.

ضمنا برای تعیین عمق سطح از رابطه  $\delta = (1/\pi S \mu f)^{1/2}$  می‌توان استفاده کرد که  $S$  و  $\mu f$  رسانایی و قابلیت نفوذ پذیری مغناطیسی ماده هستند. لایه سطحی به ترتیب برابر ۰/۵۵، ۰/۳۹، ۰/۱۷ و ۰/۰۵ میلی متر و در فرکانس‌های ۵، ۱۰، ۱۵ و ۲۰ کیلوهرتز تعیین گردید. از آتجاییکه نفوذ جریان گردابی در عمق بیشتر، دقت بالاتری در اطلاعات برای خواص مورد آزمایش مواد را فراهم می‌کند، فرکانس بهینه  $KHz$  ۵۰ تثیت شد. در مرحله بعد خواص مکانیکی چدن به عنوان تابعی از سیگنان خروجی جریان گردابی کاوشگر در نظر گرفته شد. از آنجا که هر دو متغیر در شکل ۴، مابین یک سیگنان می‌باشند، در این پژوهش  $V$  به عنوان مشخصه تغییر امپدانس کویل انتخاب شده است. شکل ۵ نشانگر واپستگی خوب بین  $V$  و سختی بین چدن‌ها می‌باشد.

برای توصیف مشخصات این حالت و دیگر روابط تجربی آنالیز رگرسیون استفاده شد. همچنین انتساب خطی به عنوان بهترین روش برای نمودار انتخاب شد. اختلاف بین تطابق خطی و داده‌های تجربی به وسیله ضریب همبستگی  $R^2 = S/T$  توصیف گردید که در آن  $S$  مجموع مجددور

کششی این دسته از چدن‌ها مطلوب می‌باشد. روش فراصوت این آزمون که از نوع غیرمخرب است، در پیش‌بینی خواص مرتبط با ریزساختار زمینه و جهت نمونه‌هایی که دارای ساختار گرافیت مشابه می‌باشند کارایی لازم را نخواهد داشت.

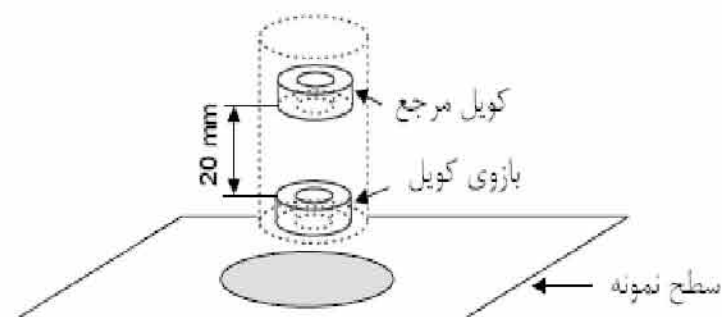
#### ۴. نتیجه گیری

در این تحقیق یک روش ساده و به کمک جریان‌های گردابی برای ارزیابی خواص مکانیکی چدن نشکن پیشنهاد شده است. علی‌رغم تنوع عملیات حرارتی و ترکیب‌های اولیه چدن‌های نشکن، این روش برای تعیین سختی و خواص

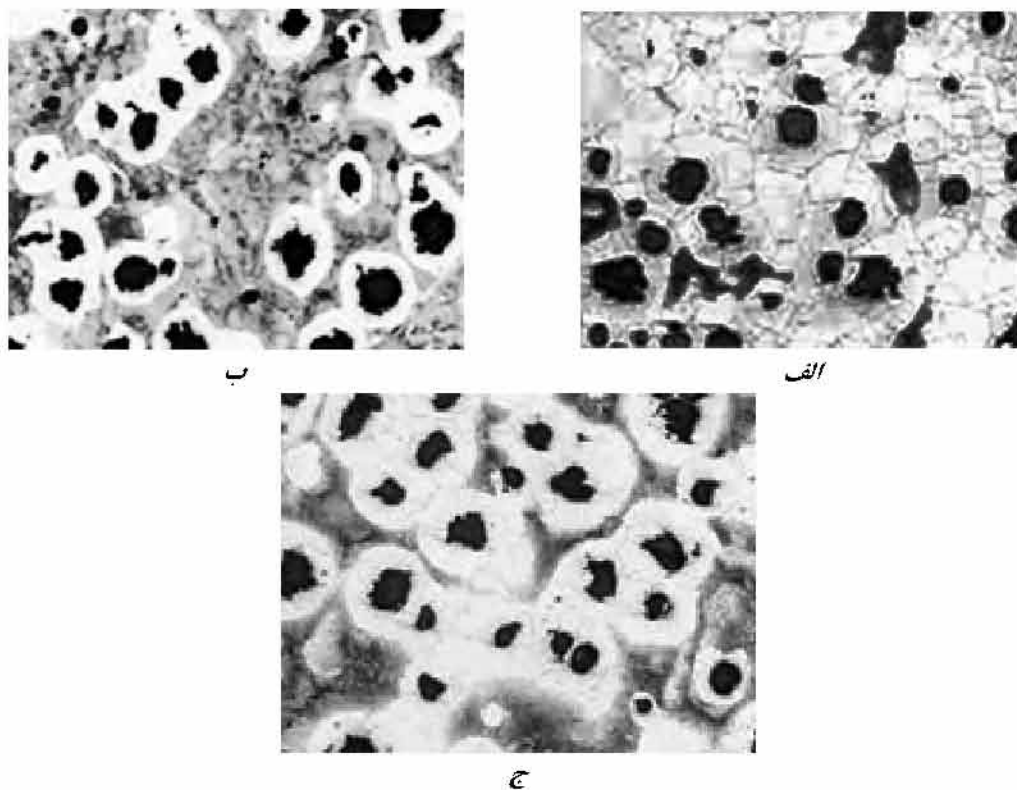
#### مراجع

- [1] J. Walter, K. Telschow, R. Conant, Laser ultrasonic generation at the surface of a liquid metal, Rev. Prog. Quant NDE 14 (1995) pp 507–12.
- [2] W. Gao, C. Glorieux, S.E. Kruger, K. Van de Rostyne, V. Gusev, W. Lauriks, et al., Investigation of the microstructure of cast iron by laser ultrasonic surface wave spectroscopy, Mater. Sci. Eng. A313 (2001) pp 170–179.
- [3] X. Maldague, Pipe inspection by infrared thermography, Mater. Eval. 57 (1999) p. 9.
- [4] C. Ohms, A.G. Youtsos, P. Idsert, T.h. Timke, Residual stress measurements in thick structural weldments by means of neutron diffraction. Mater. Sci. Forum 347-349 (2000) pp 658–663.
- [5] N. Kasai, N. Ishikawa, H. Yamakawa, Nondestructive detection of dislocations in steel using a SQUID gradiometer. IEEE Trans Appl Supercon 7 (1997) pp. 2315–8.
- [6] H.N. Nerwin, Eddy current testing of tubular steel products, Mater. Eval. 24, 4 (1966) (4) pp 192–196.
- [7] W.A. Black, Eddy current testing on steel tubing, Mater. Eval. 43 (1985) (12) p. 1490.
- [8] H. Tsuboi, T. Misaki, T. Kikuta, Computation of 3-dimensional electromagnetic field in the eddy-current testing of steel pipes. IEEE Trans. Magn. 24, (1988) (6) pp 3168–3170.
- [9] J.K. White, A. Sagar, Eddy-current testing of nuclear steam-generator tubes, Mater Eval 32 (1974) (9) p. A38.
- [10] T. Takagi, H. Huang, H. Fukutomi, J. Tani, Numerical evaluation of correlation between crack size and eddy current testing signal by a very fast simulator, IEEE Trans. Magn. 34 (1998)(5) pp 2581–2584.
- [11] H. Huang, T. Takagi, H. Fukutomi, A novel crack reconstruction method for steam generator tube ECT with noise sources outside, AIP Conf. Proc. 509 (2000) (1) p. 513.
- [12] T. Dogaru, C.H. Smith, R.W. Schneider, S.T. Smith, Deep crack detection around fastener holes in airplane multi-layered structures using GMR-based eddy current probes. AIP Conf. Proc. 700 1(2004)( 1) pp. 398–405.
- [13] A.G. Fuller, Nondestructive assessment of the properties of ductile iron castings, AFS Trans. 88 (1980) pp. 751–768.
- [14] D. Venugopalan, A. Alagarsamy, Effects of alloy additions on the microstructure and mechanical properties of commercial ductile iron, AFS Trans 98 (1990) pp. 90-122.

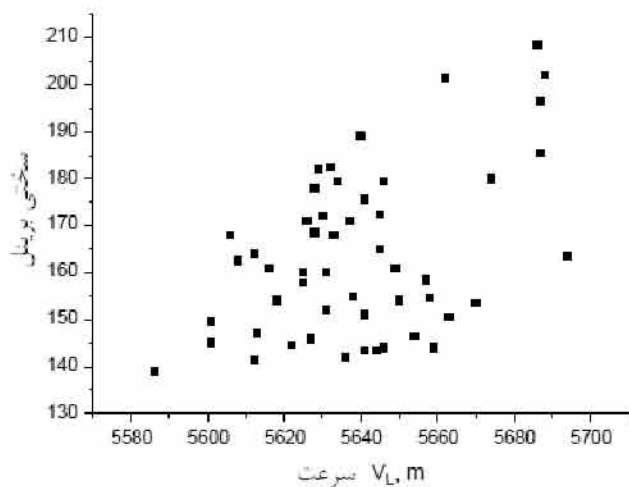




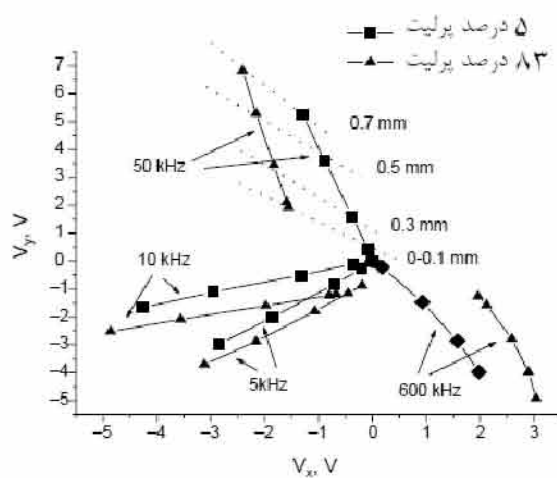
شکل ۱. شماتیک فرآوردهی کوبیل در پرورب جریان گردابی.



شکل ۲. نمونه‌های شاخص از چدن‌های نشکن مطالعه شده.

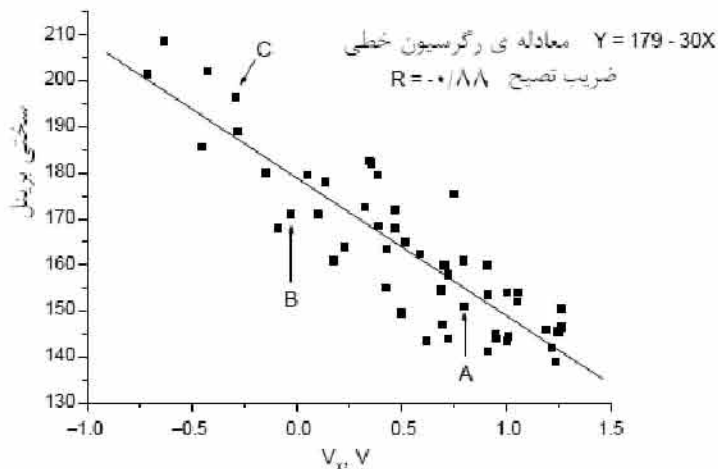


شکل ۳. ارتباط تجربی بین سرعت طولی امواج فراصوتی و سختی نمونه‌های ریختگی آزمایش شده.

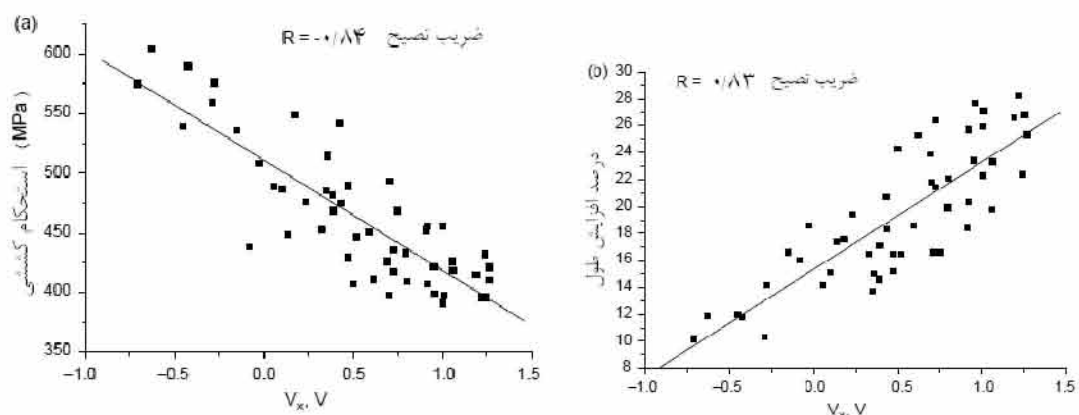


شکل ۴. منحنی‌های تهیه شده از نمونه‌ها با درجه‌های متفاوت از انواع چدن‌های نشکن.





شکل ۵. ارتباط تجربی بین خروجی پروب و سختی برینل و انطباق خطی آن.



شکل ۶. ارتباط تجربی بین خروجی رویشگر و (a) استحکام کششی؛ (b) درصد افزایش طول نمونه ها و تطابق خطی آنها.

## توسعه تکنیک جدید اکسیژن زدایی در "نوگر استیل-هیکمن"

ترجمه: سعید وفائیان، حسین ادریس

دانشکده مهندسی مواد، دانشگاه صنعتی اصفهان

شده بود. یک مقدار تقریبی آلومینیوم بر مبنای محدوده اکسیژن هدف بصورت دسته ای افزوده شد. این عمل مسبب پراکندگی قابل توجهی در میزان اکسیژن موجود در پاتیل بعد از تخلیه و سبب مواردی با مقادیر بیش از حد زیاد آلومینیوم در پاتیل شد. همچنین افزودن آلومینیوم در طی تخلیه یک منشاء بالقوه جذب هیدروژن و نیتروژن بود. معروفی کترل نقطه پایانی در EAF بعنوان بخشی از یک برنامه که ظرفیت ذوب را افزایش دهد، افزودن آلومینیوم را یک متغیر ساخت. کاربرد تخلیه باز (بدون هیچگونه افزودن آلیاژ طی تخلیه) و آرام سازی در LMF پتانسیل را برای جذب گازی کاهش داد. هر دو تجربه کترل نقطه پایانی و تخلیه باز امکان افزودن آلومینیوم بصورت دسته ای را طی عملیات تخلیه بعد از اینکه میزان اکسیژن در انتهای EAF تعیین شده بود را مقدور ساختند.

زمان‌های سریعتر تخلیه تا تخلیه (نتیجه یک برنامه چند فازی برای افزایش دادن ظرفیت ذوب در EAF) و قیدها در طرح‌های کارخانه، ایجاب کرد که به منظور جلوگیری از جابجایی‌های پرهزینه و زمان بر فرایند سازی ذوب‌ها سریعتر در کوره‌های متالورژیکی پاتیلی اولیه (LMF) انجام شود.

\* این متن ترجمه نسبتاً کاملی از مقاله زیر می‌باشد:

The Development of a New Approach to Deoxidation at Nucor Steel - Hickman

PK Ghosh

Nucor Steel – Hickman Division

Robert R Rote

Midwest Instrument Co., Inc.

Thomas W Junker

Midwest Instrument Co., Inc.

AIS Tech 2006

### چکیده

قابلیت اکسیژن زدایی سریع و دقیق فولاد در یک LMF تا مقادیر خیلی دقیق اکسیژن و آلومینیوم، یک گام مهم در اکثر فرایندهای فولادسازی است. در نوگر هیکمن فرایند اکسیژن زدایی بر مبنای اندازه گیری اکسیژن در EAF، تخلیه باز و افزودن کل آلومینیوم به پاتیل تا رسیدن به LMF است. در این مقاله موارد زیر بحث خواهد شد: بسط یک ارتباط تجربی بین میزان آلومینیومی که باید در LMF اضافه شود و اندازه گیری اکسیژن در EAF بر مبنای وزن ذوب، تغییر در اکسیژن محلول طی تخلیه، میزان سرباره، خواص شیمیایی سرباره، مشخصات آلومینیوم و تلفات آلومینیوم طی گوگرد زدایی. به منظور به کار بردن این ارتباط در عملیات فولادسازی نوگر هیکمن، یک سیستم خودکار توسعه یافته که این سیستم اپراتورهای LMF را برای تعیین سریع و دقیق میزان صحیح آلومینیومی که باید افزوده شود، قادر می‌سازد. مزایای کاربرد این روش عبارتند از: انتخاب نیتروژن و هیدروژن کاهش یافته در ضمن تخلیه فلز مذاب و مصرف آلومینیوم کاهش یافته به عنوان نتیجه تخلیه فلز و ظرفیت ذوب افزایش یافته از زمان صرفه جویی شده بواسیله افزودن دسته ای آلومینیوم طی تخلیه و حذف تست پرورب اکسیژن پاتیلی بود.

### مقدمه

تجربه EAF در بخش نوگر هیکمن شامل کاربرد تست‌های زمان بر متعدد پرورب اکسیژن در نزدیکی انتهای ذوب به منظور دمش ذوب به یک محدوده هدف در میزان اکسیژن



## مفهوم بحث

چندین وضعیت در توسعه یک روش ابداعی افزودن آلومینیوم مورد توجه قرار گرفت.

۱. لازمه روش هیکمن این است که افزودن آلومینیوم برای روش جدید تصفیه در LMF باستی هیچ هزینه اضافی یا زمان اضافی برای فرایندسازی اضافه نکند. یک راه منطقی فرائت میزان اکسیژن فولاد آرام نشده در پاتیل بعد از تخلیه بود. هر چند این کار دو تا سه دقیقه زمان تصفیه در I.MF را برای تست پروب اکسیژن، افزودن آلومینیوم بصورت دسته‌ای و تلاطم بعدی آرگون به منظور ثبت دما و خواص شیمیایی پاتیل می‌افراشد.

۲. یک تست اکسیژن و دما در کوره قوس الکتریک (EAF) بلا فاصله قبل از تخلیه به عنوان یک ضرورت برنامه کنترل نقطه پایانی گرفته می‌شود.

۳. یک روش تخلیه باز، زمان را برای افزودن آلومینیوم بصورت دسته‌ای طی تخلیه میسر می‌سازد.

۴. اجرای تخلیه باز، جذب هیدروژن و نیتروژن طی تخلیه را به عنوان نتیجه مقدار نسبتاً بالای اکسیژن فولاد کاهش می‌دهد.

۵. یک عملیات تخلیه باز، یک کاهش بدون هزینه در مقدار آلومینیوم مورد نیاز را برای آرام سازی بوسیله کاهش دادن مقدار اکسیژن در پاتیل به عنوان نتیجه ای از ضرب حلالیت کاهش یافته اکسیژن و واکنش C-O فراهم می‌کند، که بوسیله تعادل کاهش یافته دما O/C حاصل از افت دما طی تخلیه اعمال می‌شود.

مفهوم نهایی برای افزودن آلومینیوم جدید از کاربرد اطلاعات معمول تخلیه حاصل از تست اکسیژن و دما استنتاج شد که بلا فاصله قبل از تخلیه برای محاسبه مقدار آلومینیوم مورد نیاز برای موارد زیر نیاز است گرفته شد.

۱. حذف اکسیژنی که بعد از تخلیه باقی می‌ماند.
۲. کنترل جذب اکسیژن طی دوره کامل تصفیه

اهداف عملیاتی در I.MF‌ها عبارت بودند از:

۱. افزایش دادن تولید روزانه از طریق یک کاهش در زمان ذوب تا ذوب؛ و

۲. کاهش دادن هزینه‌های تولید از طریق صرفه جویی زمان و یک کاهش در مصرف آلومینیوم؛ و

۳. حفظ یا بهبود سطح عالی فعلی کیفیت فولاد.

توسعه سریعتر فرایند سازی LMF توسط ابداع کنترل نقطه پایانی در کوره‌های قوس DC به عنوان بخشی از برنامه برای کاهش زمان‌های تخلیه تا تخلیه، به منظور کنترل کردن خواص شیمیایی و دما در هنگام تخلیه، بیچیده شده بود. یک نتیجه فرعی در کنترل نقطه پایانی، تغییر قابل توجه در میزان اکسیژن تخلیه از درجه ای بین درجه ای در بین درجات بود. این تغییر در اکسیژن یک تاثیر زیاد روی افزودن آلومینیوم برای اکسیژن زدایی و آلیاژسازی داشت، به این خاطر که این افزودن، مستقیماً بر مبنای اکسیژن موجود در فولاد، بلا فاصله قبل از تخلیه قرار دارد. آرام سازی با مقدار صحیح آلومینیوم برای شروع کردن آغاز ایجاد سرباره و تسهیل تنظیم بعدی آلومینیوم در I.MF مهم می‌باشد. بنابراین، راه حل توسعه سریعتر فرایند سازی LMF، افزودن آلومینیوم به سرعت تعیین شده برای اکسیژن زدایی اولیه و نیازهای بعدی تصفیه که سازگار با محدودیت‌های طرح کارخانه است، می‌باشد.

این مقاله، روش چند منظوره ابداعی نوگر هیکمن با استفاده از زمان تخلیه برای افزودن دسته‌ای آلومینیوم در I.MF را توصیف می‌کند، که اساس آن عبارت است از:

۱. بر مبنای یک تست پروب اکسیژن در EAF

۲. اکسیژن زدایی و آلیاژسازی فولادی که از تخلیه باز بدست آمده،

۳. فراهم آوردن آلومینیومی که در ضمن تلاطم و گوگرد زدایی تلف می‌شود،

۴. حصول سطح آلومینیوم نهایی مورد نیاز، و

۵. حفظ نمودن سطح عالی کیفی فولاد هیکمن



$$W_{O(DO)} = \frac{O_{LMF} \times W_H \times 2000}{10^6} \quad (2)$$

وزن اکسیژن (به علت اکسیژن حل شده) (lbs) =  $W_{O(DO)}$

(ppm)  $O_{LMF}$  اکسیژن پیش بینی شده (Tons) = وزن ذوب (lbs)

بعنوان مثال، برای یک اکسیژن EAF در تخلیه ۸۰۰ ppm و وزن ذوب ۱۶۰ T، وزن اکسیژن در فولاد که نیاز است در LMF حذف شود، خواهد بود:

$$W_{O(DO)} = \frac{\left( (0.39 \times 800 \text{ ppm} + 91) \times 160T \times \frac{2000 \text{ lb}}{T} \right)}{10^6} \quad (3)$$

$$= 129 \text{ lb}$$

نسبت وزن آلمینیوم به وزن اکسیژن در اکسید آلمینیوم می‌تواند از واکنش شیمیایی به تعادل رسیده زیر و واحدهای جرم اتمی اکسیژن و آلمینیوم محاسبه شود.



$$\frac{2 \times \text{Al}_{\text{amu}}}{3 \times \text{O}_{\text{amu}}} = \frac{2 \times 27_{\text{amu}}}{3 \times 16_{\text{amu}}} = 1.125 \begin{pmatrix} \text{Aluminum} \\ \text{Oxygen} \end{pmatrix} \quad (5)$$

ترکیب معادلات ۲ و ۵ وزن آلمینیوم مورد نیاز برای حذف اکسیژن در پاتیل در LMF است، که بر مبنای اکسیژن اندازه‌گیری شده در EAF عبارت است از:

$$W_{AL(DO)} = \frac{\left( (0.39 \times O_{EAF} + 91.0) \times W_H \times 2000 \right)}{10^6} \quad (6)$$

$$\times 1.125$$

که در این رابطه:

وزن آلمینیوم (به علت اکسیژن حل شده) (lbs) =  $W_{AL(DO)}$   
اکسیژن اندازه‌گیری شده در EAF قبل از تخلیه (ppm) =  $O_{EAF}$   
وزن ذوب (lbs) =  $W_{H1}$

با ادامه مثال ۱۸۰ ppm اکسیژن تخلیه EAF، مقدار کل آلمینیوم مورد نیاز برای اکسیژن زدایی از معادله ۶ محاسبه می‌شود.

۳. تقویت و حمایت از فرایندهای گوگرد زدایی، و  
۴. تامین میزان آلمینیوم مزاد که خواسته‌های مشتریان را تامین کند.

این مفهوم نیاز به ارتباط اکسیژن و دما بر اساس منابع اکسیژن زیر دارد:

۱. اکسیژن حل شده در فولاد آرام نشده در پاتیل  
۲. اکسیژنی که از سرباره حمل شده می‌آید

۳. جذب اکسیژن طی دوره تصفیه در سطح معمول همزدن آرگون

۴. اکسیژنی که از عملیات گوگرد زدایی افزایش می‌یابد، و  
۵. آلمینیوم مورد نیاز در آنالیز نهایی

### اکسیژن حل شده در پاتیل

آرام سازی مناسب در پاتیل نیاز به آگاهی از اکسیژن موجود در پاتیل دارد. با وجود این تعیین اکسیژن موجود در پاتیل و افزودن دسته‌ای بعدی آلمینیوم بسیار زمان بر بود. بنابراین، یک رابطه بین اکسیژن محلول در EAF قبل از تخلیه و اکسیژن محلول در پاتیل در رسیدن به LMF داده‌های اکسیژن فعلی و دما در EAF قبل از تخلیه و در LMF نتایج به ترتیب در شکل (۱) و معادله ۱ نشان داده شده است.

$$O_{LMF} = 0.39 \times O_{EAF} + 91.0 \quad (1)$$

اکسیژن پیش بینی شده (ppm)  $O_{LMF}$  = اکسیژن اندازه‌گیری شده در EAF قبل از تخلیه (ppm)  $O_{EAF}$  معادله ۱ یک روش مستقیم پیش بینی مقدار اکسیژن موجود در پاتیل در LMF از طریق استفاده از تست پروب اکسیژن نهایی در EAF را فراهم می‌کند، در حالیکه زمان آزمایش کردن در LMF را حفظ می‌کند.

مقدار اکسیژنی که می‌بایست بوسیله یک افزودن آلمینیوم در LMF حذف شود، از معادله ۱ و وزن ذوب محاسبه می‌شود که به صورت معادله ۲ نشان داده شده:



سرباره حمل شده می‌شود. اگرچه مقدار آن با القوه متغیر است ولی یک سرباره ثابت پذیرفته شد. (پیش‌بینی حجم سرباره و ارزیابی دینامیکی بیشتر سرباره در پیشرفت هستند) ارتباط استوکیومتری زیر و مقدار سرباره که از EAF حمل شده است می‌تواند برای محاسبه کل مقدار اکسیژن که به وسیله وارد شدن FeO<sub>(EAF)</sub> ایجاد می‌شود و سپس به وسیله آلومینیوم اضافه شده مصرف می‌شود استفاده گردد.



$$\frac{O_{\text{amu}}}{\text{FeO}_{\text{amu}}} = \frac{16_{\text{amu}}}{55.8_{\text{amu}} + 16_{\text{amu}}} = \\ 0.223 \left( \frac{\text{Oxygen}}{\text{FeO}} \right)$$

$$W_{O(\text{FeO})} =$$

$$W_s \times \% \text{FeO} \times 0.223 \left( \frac{\text{Oxygen}}{\text{FeO}} \right) \quad (10)$$

= وزن اکسیژن (به علت FeO) (lbs)

= وزن سرباره حمل شده (lbs)

= %FeO در سرباره

ترکیب معادله ۸ و ۱۰ منتج می‌شود به مقدار کل اکسیژن داخل شده از طریق FeO موجود در سرباره ناشی از مقدار اکسیژن اندازه‌گیری شده در EAF که به صورت ذیل می‌باشد.

$$W_{O(\text{FeO})} =$$

$$W_s \times \left( \frac{15.3 \times \ln(O_{\text{EAF}}) - 61.4}{100} \right) \times \quad (11)$$

$$0.223 \left( \frac{\text{Oxygen}}{\text{FeO}} \right)$$

همچنین باید به مقدار اکسیژن داخل شده از طریق مقدار ثابت MnO و SiO<sub>2</sub> موجود در سرباره حمل شده توجه خاصی مبذول گردد.

$$W_{M(\text{DO})} = \\ \left( \frac{(0.39 \times 800 \text{ ppm} + 91.0) \times 160T \times 2000}{10^6} \right) \quad (7) \\ \times 1.125 = 145 \text{ lb (Aluminum)}$$

### اکسیژن حاصل از سرباره حمل شده

اکسیژن حاصل از سرباره که باید با آلومینیوم واکنش دهد اساساً وابسته به مواد زیر می‌باشد.

۱. خواص شیمیایی سرباره؛ و

۲. مقدار سرباره

روشهای استاندارد سازی قراضه و سرباره‌سازی EAF- (بخشهایی از کنترل نقطه پایانی)- خواص شیمیایی نسبتاً پایداری را برای سرباره به همراه مقدار a%FeO ایجاد کرده است که به وسیله مقدار اکسیژن تخلیه تحت تاثیر قرار می‌گیرد. ارتباط بین اکسیژن محلول در EAF بلافاصله قبل از تخلیه با درصد FeO موجود در سرباره در پاتیل، از یک مجموعه بزرگی از اطلاعات مبنای توسعه یافته است. وابستگی داده و نتیجه آن به ترتیب در شکل ۲ و در معادله ۸ نشان داده شده است.

$$\% \text{FeO} = \frac{15.3 \times \ln(O_{\text{EAF}}) - 61.4}{100} \quad (8)$$

= %FeO در سرباره حل شده (lbs)

= اکسیژن اندازه‌گیری شده در EAF قبل از تخلیه (ppm)

با توجه به اینکه درصد FeO موجود در سرباره، منبع اصلی اکسیژن در سرباره است و نیز مقادیر مایه اکسیدهای قابل احیا (مانند P<sub>2</sub>O<sub>5</sub>, Cr<sub>2</sub>O<sub>3</sub>, Li<sub>2</sub>O<sub>2</sub>, MnO ... نسبتاً ثابت هستند، لذا استفاده از اکسیژن تخلیه برای پیش‌بینی اکسیژن سرباره موجه است.

مجموعه‌ای از محاسبات بالانس جرم تعیین کرد که روش استاندارد شده تخلیه منجر به تعیین مقدار نسبتاً ثابتی از

(۱۶)

$$W_{O(SC)} = W_s \times \left[ \left( \left( \frac{15.3 \times \ln(O_{EAF}) - 61.4}{100} \right) \times 0.233 \right) + \left( \%MnO \times 0.226 \right) + \left( \%SiO_2 \times 0.399 \right) \right]$$

وزن کل اکسیژن (به علت اکسیژن حمل شده)(lbs)= $W_{O(SC)}$   
با کاربرد مثال ۸۰۰ ppm اکسیژن در EAF، میزان ثابت ۴ درصد  $MnO$ ، ۱۰ درصد  $SiO_2$  و نتایج محاسبه تعادل جرم برای مقدار ۲۰۰۰ پوند سرباره حمل شده، مقدار کل اکسیژن که به علت سرباره حمل شده داخل می‌شود، عبارت است از:

(۱۷)

$$W_{O(SC)} = 2000 \text{ lbs} \times \left[ \left( \left( \frac{15.3 \times \ln(800) - 61.4}{100} \right) \times 0.223 \right) + 0.049 \right] = 280 \text{ lbs (Oxygen)}$$

ضرب کردن معادله ۱۶ در نسبت آلومینیوم به اکسیژن حاصل از معادله ۵، مقدار آلومینیوم مورد نیاز برای اکسیژن زدایی اکسیژنی که از طریق سرباره حمل شده از EAF داخل شده است را می‌دهد، یعنی معادله ۱۸، این معادله را هنگامی می‌توان به کار برد که متغیرهای اصلی اکسیژن اندازه گیری شده در EAF، میزان سرباره حمل شده، و مقادیر جور شده  $SiO_2$  و  $MnO$  منظور می‌شود.

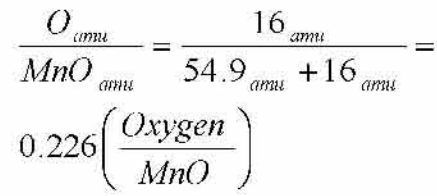
$$W_{Al(SC)} = 1.125 \times W_s \times \left[ \left( \left( \frac{15.3 \times \ln(O_{EAF}) - 61.4}{100} \right) \times 0.233 \right) + \left( \%MnO \times 0.226 \right) + \left( \%SiO_2 \times 0.399 \right) \right] \quad (۱۸)$$

وزن کل آلومینیوم (به علت سرباره حمل شده)(lbs)= $W_{Al(SC)}$

وزن سرباره حمل شده(lbs)= $W_s$   
 $O_{EAF}$ =اکسیژن اندازه گیری شده در EAF قبل از تخلیه (ppm)

Mn + O = MnO<sub>(S)</sub>

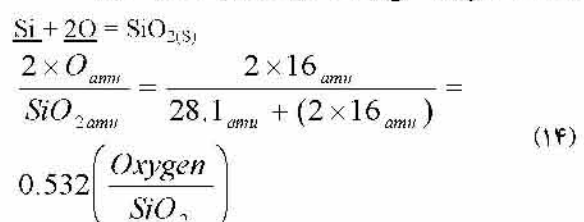
(۱۲)

 $W_{O(MnO)} =$ 

$$W_s \times \%MnO \times 0.226 \left( \frac{\text{Oxygen}}{MnO} \right) \quad (۱۳)$$

وزن سرباره حل شده (به علت  $MnO$ )(lbs)وزن سرباره حمل شده (lbs)= $W_s$ % $MnO$ =% $MnO$  در سرباره

با استفاده از یک میزان  $SiO_2$  سرباره نمونه، نسبت جرم اتمی اکسیژن به  $SiO_2$  و یک کاهش معمول ۷۵ درصدی در میزان  $SiO_2$ ، میزان اکسیژنی که نیاز است بوسیله داخل شدن  $SiO_2$  کاهش یابد می‌تواند بصورت زیر محاسبه شود.

 $W_{O(SiO)} =$ 

$$W_s \times 0.75 \times \%SiO_2 \times 0.532 \left( \frac{\text{Oxygen}}{SiO_2} \right) \quad (۱۵)$$

وزن اکسیژن (lbs)= $W_{O(SiO)}$ وزن سرباره حمل شده (lbs)= $W_s$ % $SiO_2$ =% $SiO_2$  در سرباره

ترکیب کردن معادلات ۱۳، ۱۰، ۱۵، و ۱۶، معادله ۱۶ را می‌سازد. که با آن مقدار کل اکسیژنی که به علت سرباره موجود است را می‌توان محاسبه نمود.



بطور متوسط گوگرد ورودی ۰/۰۴٪ و مقدار گوگرد خروجی ۰/۰۵٪ می‌باشد. با استفاده از  $T = 160$  وزن ذوب، معادله ۲۲ می‌تواند برای محاسبه مقدار گوگردی که حذف می‌شود بکار برده شود.

(۲۳)

$$W_{Al(S)} = \\ 160 \times 2000 \times (0.00040 - 0.00005) \times 0.56 = \\ 63 \text{ lbs (Aluminum)}$$

### جدب اکسیژن

معادله زیر را می‌توان برای تعیین مقدار آلمینیوم مورد نیاز برای اکسیژن زدایی هر گونه اکسیژن اضافی در حین تصفیه معمولی پاتیل به داخل فولاد بکار برد.

$$W_{AL(OP)} = \frac{W_H \times 2000 \times (LS \times O_{GPM})}{10^6} \quad (24)$$

$$1.125 \left( \frac{\text{Aluminum}}{\text{Oxygen}} \right) \\ \text{وزن آلمینیوم (به علت نفوذ اکسیژن) (lbs)} \\ \text{وزن ذوب (Tons)}$$

$$LS = \text{زمان بهم زدن پاتیل (min)}$$

$O_{GPM}$  = اکسیژن گرفته شده در هر دقیقه (ppm/min) تحت شرایط بهم زدن معمولی، جدب اکسیژن حاصل از بهم زدن  $A ppm$  در هر دقیقه تعیین شده است. با استفاده از این مقدار برای  $O_{GPM}$ ، ۳۵ دقیقه عملیات بهم زدن و  $T = 160$  وزن ذوب، معادله ۲۴ را می‌توان برای محاسبه مقدار آلمینیوم مورد نیاز برای اکسیژن زدایی جدب اکسیژن حاصل از بهم زدن در همین مثال جاری استفاده نمود.

(۲۵)

$$W_{AL(OP)} = \frac{160 \times 2000 \times (35 \times 8)}{10^6} \times \\ 1.125 \left( \frac{\text{Aluminim}}{\text{Oxygen}} \right) = 101 \text{ lbs (Aluminim)}$$

%MnO = % MnO در سرباره

%SiO<sub>2</sub> = % SiO<sub>2</sub> در سرباره

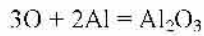
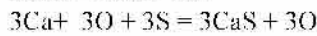
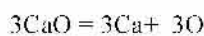
با ادامه مثال ۸۰ ppm در تخلیه، وزن آلمینیوم مورد نیاز

برای اکسیژن زدایی سرباره عبارت است از:

$$W_{Al(SC)} = 280 \text{ lbs(Oxygen)} \times \\ 1.125 \left( \frac{\text{Aluminum}}{\text{Oxygen}} \right) = \\ 315 \text{ lbs (Aluminum)} \quad (19)$$

### حذف گوگرد

گوگرد در سرباره اساساً به شکل سولفید کلسیم جدب می‌شود. کلسیم در سرباره به صورت CaO موجود می‌باشد که برای ترکیب شدن با دیگر عناصر آزاد می‌باشد. فرایند انتقال گوگرد از فولاد مذاب به داخل سرباره نیاز به آلمینیوم برای مجموعه واکنش‌های زیر دارد.



از ترکیب واکنش‌های فوق می‌توان به معادله ۲۰ رسید.

$$3\text{CaO} + 3\text{S} + 2\text{Al} = 3\text{CaS} + \text{Al}_2\text{O}_3 \quad (20)$$

نسبت وزن گوگرد به آلمینیوم در معادله ۲۰، در معادله ۲۱ نشان داده شده است.

$$\frac{2 \times \text{Al}_{amu}}{3 \times S_{amu}} = \frac{2 \times 27_{amu}}{3 \times 32_{amu}} = 0.56 \left( \frac{\text{Aluminum}}{\text{Sulfur}} \right) \quad (21)$$

محاسبه وزن آلمینیوم مورد نیاز برای حمایت از فرایند گوگرد زدایی در معادله ۲۲ نشان داده شده است.

$$W_{AL(S)} = W_H \times 2000 \times \\ (\%S_I - \%S_O) \times 0.56 \left( \frac{\text{Aluminum}}{\text{Sulfur}} \right) \quad (22)$$

وزن آلمینیوم (به علت گوگرد) (lbs)

وزن ذوب (Tons)

% گوگرد ورودی = %S<sub>I</sub>

% گوگرد خروجی = %S<sub>O</sub>



با ترکیب معادلات ۶، ۲۲، ۲۴ و ۲۶ معادله وزن ذوب، یعنی معادله ۲۸ به دست می‌آید.

$$W_{AL\_OFF\_Y} = W_H \times 2000 \times \left[ \left( \frac{(0.39 \times O_{EAF}) + 91.0}{10^6} \times 1.125 \right) + \left( \%S_I - \%S_O \right) \times 0.56 + \left( \frac{LS \times O_{GPM}}{10^6} \times 1.125 \right) + \%Al_{Aim} \right] \quad (28)$$

هنگام افزودن دسته‌ای مقدار واقعی آلمینیوم به پاتیل، ملاحظه‌ای نیز باید به مقدار آلمینیوم موجود در تکه‌های آلمینیوم و به آزاد شدن آلمینیومی که بدست می‌آید، داده شود. این موضوع بوسیله معادله ۲۹ انجام می‌شود.

$$BW_{AL} = \frac{W_{AL(SC)} + W_{AL(HW)}}{\%Al \times \%Y} \quad (29)$$

$BW_{AL}$  = وزن دسته آلمینیوم (lbs)

$W_{AL(SC)}$  = وزن کل آلمینیوم محاسبه شده برای سرباره حمل شده (lbs)

$W_{AL(HW)}$  = وزن کل آلمینیوم محاسبه شده برای وزن ذوب (lbs)

$\%Al$  = آلمینیوم در بسته‌های آلمینیومی که بصورت دسته‌ای اضافه شده

$97\%$  = متوسط % تکه‌های آزاد شده آلمینیوم

با در نظر گرفتن مقادیر ۹۷٪ و ۹۰٪ به ترتیب برای  $\%Al_N$  و ۷٪ مقادار کل آلمینیومی که باید در LMF بصورت دسته ای اضافه شود برای همین مثال جاری عبارت است از:

$$BW_{AL} = \frac{315_{lbs} + 397_{lbs}}{0.97 \times 0.90} = \quad (30)$$

818 lbs (Alumi num Nuggets )

میزان اکسیژن در تخلیه بر شرایط آلمینیوم برای اکسیژن محلول و اکسیژن سرباره تاثیر می‌گذارد. برای یک گرید معمولی و عملیات معمولی، شرایط آلمینیوم برای سه فاکتور

### آلومینیوم در آنالیز نهایی

وزن آلمینیوم مورد نیاز برای حصول مشخصه آلمینیوم هدف می‌تواند از معادل ۲۶ محاسبه شود.

$$W_{AL} = W_H \times 2000 \times \%Al_{Aim} \quad (26)$$

$W_{AL}$  = وزن آلمینیوم (lbs)

وزن ذوب =  $W_H$

$\%Al$  =  $\%Al_{Aim}$  آلمینیوم مشخصه هدف

در نوگری هیکمن میانگین درصد آلمینیوم هدف ۰/۰۲۷۵٪ است. با یک وزن ذوب ۱۶۰ T، مقدار آلمینیوم مورد نیاز برای دستیابی به مشخصه لازم آلمینیوم برابر است با:

$$W_{AL} = 160 \times 2000 \times 0.000275 = \quad (27)$$

88 lbs (Alumimum)

### کل شرایط پیش‌بینی شده آلمینیوم

جدول ۱، مقادیر و متغیرهای مهم استفاده شده در توسعه معادله پیش‌بینی آلمینیوم و مثال‌های ارائه شده را خلاصه می‌کند:

جدول ۲، کل آلمینیوم مورد نیاز برای واکنش با اکسیژن در دسترس در مثال‌ها را با استفاده از مقادیر جدول ۱ خلاصه می‌کند.

مقدار کل آلمینیوم محاسبه شده را می‌توان در دو معادله اصلی سازمان داده که این دو معادله بوسیله متغیرهایی که بزرگترین اثر را نتایجشان دارند، یعنی سرباره حمل شده و وزن ذوب مجزا می‌شوند. همچنین هر دو معادله شدیداً تحت تاثیر میزان اکسیژن در تخلیه می‌باشند. معادله سرباره حمل شده پیش‌تر در معادله ۱۸ بسط داده شده بود.

$$W_{AL(SC)} = W_S \times 1.125 \times \left[ \left( \frac{(15.3 \times \ln(O_{EAF}) - 61.4)}{100} \times 0.233 \right) + (\%MnO \times 0.226) + (\%SiO_2 \times 0.399) \right] \quad (18)$$



هنگامی که متغیرهای اولیه تنظیم شدند، اپراتور T.MF می‌تواند متغیرهای بحرانی تری را برای هر ذوب به منظور محاسبه دقیق تر پوند آلمینیوم لازم برای افزودن تنظیم کند. متغیرهایی که اپراتور می‌تواند به سادگی برای هر ذوب تغییر دهد، عبارتند از:

۱. ppm اکسیژن حاصل از TiAF در تخلیه.
۲. مقدار سرباره حمل شده بر حسب پوند.
۳. وزن ذوب در تن.

اپراتور به آسانی دکمه "افزودن آلمینیوم" را در صفحه لمس کردنی نرم افزار MINCO MetNet (شکل ۳) را به منظور راه اندازی برنامه افزودن آلمینیوم فشار می‌دهد. شکل ۴ برنامه افزودن آلمینیوم را نشان می‌دهد که در آن اپراتور به سهولت توانایی تنظیم اکسیژن  $\text{TiAF}$  وزن سرباره حمل شده و وزن ذوب را به منظور تماش دقيق و سریع وزن آلمینیومی که باید بصورت دسته ای افزوده شود، را دارد. بطور نمونه، فقط میزان اکسیژن تخلیه در اجرای یک گرید ویژه تغییر می‌کند که کاربرد برنامه را برای اپراتورها تسهیل می‌کند.

### احتیاط‌های عملیاتی

از آنجا که پیش بینی میزان اکسیژن در پاتیل و استه به تست اکسیژن در TiAF است، موقوفیت با تست اکسیژن بعنوان آخرین عملیات در TiAF قبل از تخلیه شروع می‌شود. اگر تجربه فولاد سازی از حالت معمول منحرف شود، افزودن آلمینیوم محاسبه شده می‌تواند به میزان زیادی تحت تاثیر قرار بگیرد، بنابراین یک تست مجدد در TiAF ضروری خواهد شد، اگر:

۱. بعد از اینکه تست اکسیژن گرفته می‌شود، ذوب اضافه شود.
۲. به کوره اجازه داده شود که قبل از تخلیه، بیشتر از حالت معمول توقف داشته باشد.

دیگر، یعنی حلف گوگرد، نفوذ اکسیژن و مشخصه آلمینیوم تقریباً یکسان باقی می‌ماند.

### دوند اجرایی

رونده تعیین افزودن آلمینیوم شامل سه مرحله است:

۱. گرفتن یک تست پروب اکسیژن بلافارسله قبل از تخلیه. بعد از انجام تست، افزودن توان یا دمشن اکسیژن انجام شود.
۲. بلافارسله تخلیه انجام گیرد- هیچ اکسیژن زدایی اضافه نشود.
۳. از نتایج تست پروب اکسیژن برای تعیین یک افزودن آلمینیوم طی بهم زدن اولیه در TiAF استفاده شود، که این کار منجر به یک مقدار آلمینیوم نهایی مناسب می‌شود. دستور العمل جامع در تعیین افزودن آلمینیوم کاربرد یک برنامه Mineco MetNet ابزار پروب اکسیژن است. برنامه افزودن آلمینیوم در ابزار MetNet اجازه می‌دهد متغیرهای ویژه فولاد کارخانه بر مبنای کاربرد اولیه‌اش بصورت زیر تغییر کند.

۱. ثابت ۱ برای پیش بینی ppm اکسیژن LMF

۲. ثابت ۲ برای پیش بینی ppm اکسیژن TiMF

۳. گوگرد و روودی بصورت %

۴. هدف گوگرد خروجی بصورت %

۵. دقایقی پاتیل تحت همزدن است

۶. ppm اکسیژن حاصل در هر دقیقه

۷. درصد آلمینیوم هدف محلول نهایی

۸. ثابت ۱ برای پیش بینی درصد FeO

۹. ثابت ۲ برای پیش بینی درصد FeO

۱۰. مقدار درصدی از FeO که FeO است

۱۱. درصد MnO در سرباره

۱۲. درصد SiO در سرباره

۱۳. مقدار درصد SiO که احیا می‌شود.



### تنظیم نهایی

اجرای این عملیات رفتار سنجی می‌شود. ۱. اگر نیاز باشد، تغییرات لازم در بهبود عملیات اعمال خواهد شد. اگر براساس تجربه تایید شود، آنگاه ورودی‌های دستی به وسیله دادن مقادیر میانگین به مقادیر شاخص تر برای متغیرها در MetNet به حداقل می‌رسد.

### نتایج

از آنجایی که بعضی از متغیرها در محاسبه افزودن آلومینیوم فرض می‌شوند که ثابت باشد بعضی از متغیرها در سطح اکسیژن باقی مانده در پایان عملیات پاییل نیاز به تصحیح دارند.

بهر حال، موارد قابل توجه افزایش / تصحیح آلومینیوم در سطوح پایین اکسیژن در IMF بطور مهمی کاهش یافته است. توجه به این موضوع برای تمیزی فولاد مهم می‌باشد. شروع سریعتر سریاره سازی فرایند گوگرد زدایی را هم در مورد نرخ گوگرد زدایی و هم در میزان گوگرد نهایی کارا ساخت. مقادیر گوگرد ۲۰ تا ۳۵ ppm به سهولت به دست می‌آیند که برای تمیزی فولاد نیز مهم می‌باشد.

تصحیح آلومینیوم اندازه گیری شده به صورت صرفه جویی آلومینیوم به کار رفته برای هر ذوب، از ۲۰۰ پوند در هر ذوب به ۶۰ پوند در هر ذوب کاهش یافته است. بر اساس تجربه به دست آمده، اپراتور قادر خواهد بود که این مرحله را کلاً از سیکل عملیات حذف کند. این موضوع مجددًا خود یک مرحله مهم در ایجاد فولادهای تمیز تراست. بکاربردن مقدار صحیح آلومینیوم منجر به یک صرفه جویی مهم در مصرف آلومینیوم می‌شود.

کار بیشتر روی سریاره حمل شده همچنان ادامه دارد تا سیستم دقیق تری را ایجاد کند.

۳. بعد از اینکه تست اکسیژن گرفته می‌شود، اکسیژن به داخل کوره دمش شود، یا

۴. بعد از اینکه تست اکسیژن گرفته می‌شود، یک فوران رخ دهد.

دیگر ملاحظات برای تغییر یک متغیر عبارت است از:

۱. زمان‌های طولانی یا کوتاه تخلیه

۲. اسپری تشدید شده بخار تخلیه

۳. مقدار CO<sub>2</sub> افزایش یافته یا کاهش یافته در سریاره

۴. همزدن شدید در پاییل، و

۵. افزودنی‌های مرتبط

از آنجا که ابزار Minco برای محاسبه افزودن آلومینیوم تا مقادیر میانگین برای متغیرها یا از مقادیر وارد شده برای متغیرها برنامه ریزی می‌شود، عملیات ذوب می‌تواند در دو مسیر عملیاتی شود:

۱. اپراتور می‌تواند به افزودن آلومینیوم محاسبه شده نگاه کند و شرایط متعدد ذوب را در نظر بگیرد که مقدار آلومینیوم محاسبه شده را افزایش یا کاهش می‌دهد. سپس اپراتور می‌تواند تضییمات جزئی را در ضمن افزودن دسته‌ای انجام دهد.

۲. اپراتور می‌تواند برآوردهای خودش را از متغیرها که فکر می‌کند از میانگین متحرف شده اند را به ابزار MetNet وارد کند و به ابزار MetNet اجازه دهد تا یک افزودن جدید آلومینیوم را محاسبه کند. اگر اپراتور فکر می‌کند که ذوب سبک یا سنگین است، او می‌تواند وزن ذوب برآورده شده را وارد کند. در غیر این صورت اگر اپراتور فکر کند که بیشتر یا کمتر از ۲۰۰۰ پوند سریاره حمل شده است، آنگاه می‌تواند وزن سریاره برآورده شده را وارد کند.

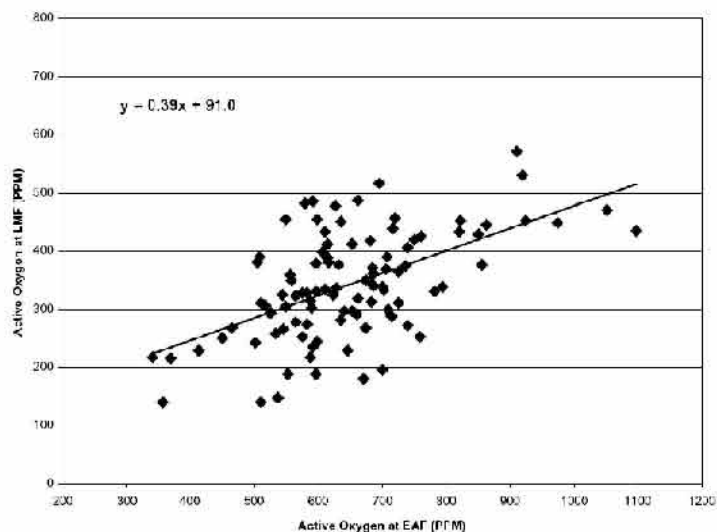


جدول ۱. متغیرهای استفاده شده در معادله پیش بینی آلمینیوم

شرح	مقدار	ملاحظات
میزان اکسیژن در EAF قبل از تخلیه	۸۰۰ ppm	متغیر اما اندازه گیری شده برای هر ذوب
وزن ذوب	(۳۲۰۰۰ lbs) ۱۶۰ تن	متغیر اما ثابت می باشد
سریاره حمل شده	۲۰۰۰ lbs	متغیر اما ثابت می باشد

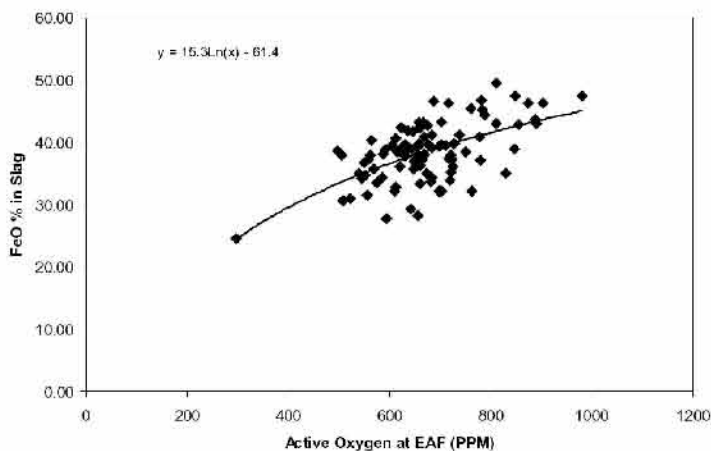
جدول ۲. خلاصه ای از وزن کل آلمینیوم مورد نیاز

شرح	ملاحظات	اکسیژن در پوند	آلومینیوم در پوند
اکسیژن محلول در LMF	۱۴۰۳ ppm - متغیر	۱۲۹	۱۴۵
اکسیژن سرباره-FeO	- متغیر	۱۸۲	
اکسیژن سرباره-MnO	۴۰٪	۱۸	۳۱۵
اکسیژن سرباره-SiO <sub>2</sub>	(۷۵٪) ۱۰٪ کاهش یافته	۸۰	
گوگرد حذف شده	۱۰٪ تا ۱۵٪	۱۱۲ lbs گوگرد	۶۴
جذب اکسیژن	۳۵ دقيقه / ppm/min	۹۰	۱۰۱
آلومینیوم ویره	۰٪ ۲۷۵٪ میانگین		۸۸
وزن خالص آلمینیوم			۷۱۲



شکل ۱. میزان اکسیژن فعال حاصل از میزان اکسیژن فعال بدست آمده در EAF در هنگام تخلیه

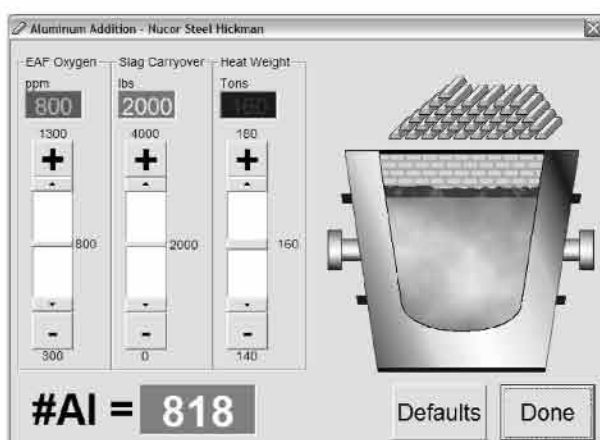




شکل ۲. درصد  $FeO$  موجود در سرباره در مقایسه با مقدار اکسیژن فعال در EAF



شکل ۳. صفحه لمس کردنی نرم افزار MINCO MetNet



شکل ۴. برنامه افزودن آلمینیوم در MetNet



## فراخوان "گزارش مطالعات موردي"

به اطلاع استادان، متخصصین و کارشناسان صنایع می‌رساند که هیأت تحریریه نشریه پیام فولاد تصمیم به اختصاص یک بخش از آن تحت عنوان "گزارش مطالعات موردی" در صنایع گرفته است. این عنوان جهت توضیح تسبیباً کوتاه، شاید در حد یک یا دو صفحه برای کارهای انجام شده در صنعت که توانسته مشکل کوچکی از صنعت را حل کند تخصیص یافته است. به عنوان مثال در مطالعه موردی می‌توان به تحلیل علت شکست یک قطعه در صنعت و راه حل‌های کاهش شکست آن اشاره نمود و یا بررسی عوامل ایجاد خوردگی در یک قطعه و راه حل‌های جلوگیری از آن را مطرح کرد. در این راستا از جانبعالی (استاد، مدیر، کارشناس و کاردان گرامی) درخواست می‌گردد هر گونه گزارشی در این رابطه داشته یا خواهید داشت جهت این نشریه ارسال فرمائید. قابل ذکر است که نشریه پیام فولاد به بیش از ۱۵۰۰ مرکز علمی و صنعتی و اعضاء انجمن ارسال می‌گردد. گزارشات ارسالی شامل چکیده، نتایج و بحث و جمع‌بندی و در صورت نیاز مراجع می‌باشد.

## صرفه‌جویی در مصرف انرژی - دو مثال متدال در صنعت فولاد

تهیه و تنظیم: مهندس محمد مهدی وردیان  
دانشکده مهندسی مواد-دانشگاه صنعتی اصفهان

۲۰۰°C و دمای گاز خنثی حین خروج از سیستم به حدود ۸۰۰°C می‌رسد. سپس با هدایت گاز گرم به سمت بویلر، بخاری با دمای حدود ۴۰۰ الی ۵۰۰°C و فشار بیش از ۴۰ آتمسفر را می‌توان تولید کرد (اگر سیستمی با ظرفیت خنک کردن ۵۶ تن کک در ساعت در نظر گرفته شود). پس از آن غبار این گاز توسط یک کلکتور گرفته شده و سپس گاز خنثی مجدداً به محفظه خنک کننده کک انتقال داده می‌شود [۲].

الف- حفظ انرژی به کمک تولید برق

ب- بهبود کیفیت و استحکام کک

ج- کاهش آلودگی ناشی از فرایند خنک کاری (گرد و غبار، دی اکسید کربن و دی اکسید گوگرد)

د- کاهش میزان مصرف آب

ه- کاهش میزان مصرف سوخت‌های فسیلی در تولید برق و در نتیجه کاهش آلودگی ناشی از آن

و- بازگشت سرمایه اولیه پس از ۳ تا ۵ سال

### ۲- تکنولوژی بازیابی گازهای پرفشار به کمک

#### توربین

در این روش، از گازهای پرفشار تولید شده در کوره بلند در یک توربین استفاده می‌شود و به کمک آن برق تولید می‌شود. مطابق شکل ۲، گازهای خروجی از کوره بلند پس از تصفیه و حذف غبار از آن‌ها، وارد یک توربین گازی شده و باعث به کار افتادن آن می‌شوند [۲].

1. Coke Dry Quenching

2. Top-pressure Recovery Turbine

#### مقدمه

صنعت فولاد، بزرگترین مصرف کننده انرژی در میان صنایع است. میزان مصرف انرژی در این صنعت حدود ۱۰ تا ۱۵٪ مصرف انرژی کل صنایع است. با توجه به روند افزایشی تولید فولاد، تقاضا برای انرژی در این صنعت احتمالاً افزایش خواهد یافت. از این‌رو، صرفه‌جویی در مصرف انرژی را می‌توان به عنوان یک راهکار برای کاهش تقاضا در نظر گرفت. علاوه بر این، صرفه‌جویی در مصرف انرژی می‌تواند باعث کاهش هزینه‌های تولید گردد [۱].

توسعه تکنولوژی‌های جدید بر مبنای استفاده بهینه از انرژی را می‌توان به عنوان یکی از رویکردهای اصلی صنایع بزرگ تولید کننده فولاد در دنیا در حال حاضر دانست. در گزارش اخیر دو نمونه متدال از تکنولوژی‌های جدید با رویکرد کاهش مصرف انرژی در صنعت فولاد، به طور خلاصه توضیح داده شده است؛ یکی تکنولوژی کوئینچ خشک کک (روش CDQ)<sup>۱</sup> و دیگری تکنولوژی بازیابی گازهای پرفشار به کمک توربین (روش TRT)<sup>۲</sup>.

#### ۱- تکنولوژی کوئینچ خشک کک

در این روش، کک‌های داغ به کمک یک گاز خنثی خنک می‌شوند. سپس از حرارت گاز خنثی برای تولید برق در یک توربین بخار استفاده می‌شود. مطابق شکل ۱، گاز خنثی با دمای ورودی حدود ۱۷۰°C از کک‌های داغ که دمای آن‌ها حدود ۱۰۰۰°C است، عبور داده می‌شود. در نتیجه جریان گاز خنثی، دمای کک خروجی به حدود

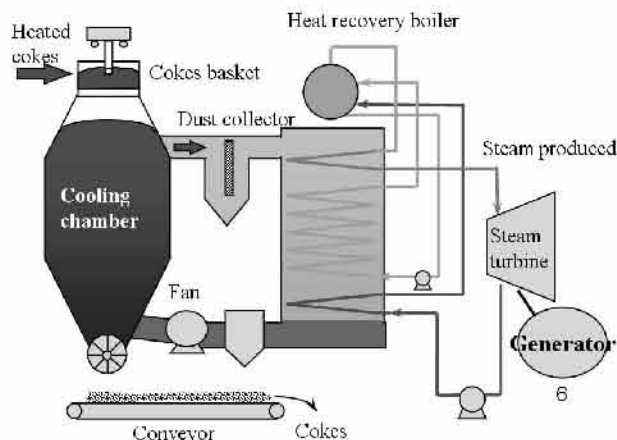


- ج- کاهش میزان مصرف سوخت‌های فسیلی در تولید برق و در نتیجه کاهش آلودگی ناشی از آن
- د- بازگشت سرمایه اولیه پس از ۲ تا ۴ سال

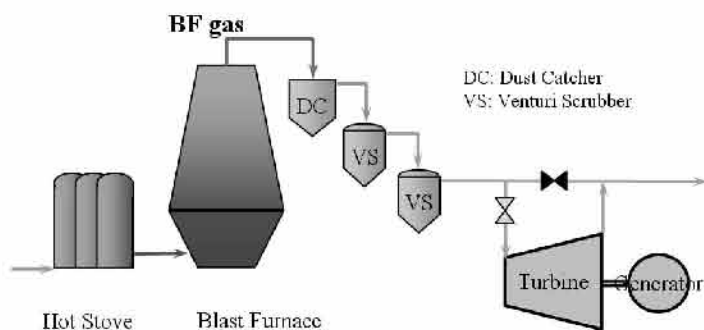
- از جمله مزایای این روش عبارتند از [۶ و ۵ و ۲]:
- الف- حفظ ارزی به کمک تولید برق
- ب- کاهش میزان نشر دی‌اکسید کربن

## • مراجع

- [1] ies.lbl.gov/iespubs/42774.pdf
- [2] unfccc.int/files/meetings/sb22/in\_session.../pdf/yamaguchi.pdf
- [3] www.brain-c-jcoal.info/ectinjapan-files/english/2\_3A5.pdf
- [4] www.icett.or.jp
- [5] www.aseanenergy.org
- [6] www.shaangu.com/structure/en/cpjgs/gynnllhstpz

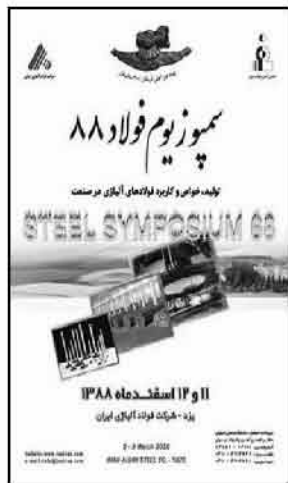


شکل ۱. شماتیک از تکنولوژی کوتیچ خشک کک [۲]



شکل ۲. شماتیک از تکنولوژی بازیابی گازهای پرفشار به کمک توربین [۲].

## خبر انجمن آهن و فولاد ایران



از ۲۵۰ چکیده مقاله به دلیل خانه سمپوزیوم واصل شد که پس از طی مرحله داوری چکیده مقالات، جواب داوری برای همه نویسنده‌گان ارسال گردید. آخرین مهلت ارسال اصل مقالات تا تاریخ ۱۵/۹/۸۸ بود. همچنین کمیته‌های اجرایی مختلفی جهت

اجرای امور مربوط به سمپوزیوم تشکیل شده است.

شایان ذکر است همراه با این سمپوزیوم، نمایشگاهی از آخرین دستاوردهای صنعت فولاد به مدت سه روز از تاریخ ۱۱ لغایت ۱۴ اسفندماه جاری در شرکت فولاد آذربایجان نیز برگزار خواهد شد. قابل توجه است که اجرای نمایشگاه مذکور به شرکت پایگاه داده‌های معدن و صنایع معدنی از طرف انجمن واگذار شده است.

**برگزاری دوره آموزشی "کلید فولاد"** توسط کمیته آموزش انجمن آهن و فولاد ایران دوره آموزشی "کلید فولاد" در تاریخ ۲۹ مهرماه ۸۸ در دانشگاه صنعتی اصفهان برگزار گردید. مدرس این دوره جناب آقای دکتر احمد ساعتچی استاد محترم دانشکده مهندسی مواد دانشگاه صنعتی اصفهان بود. این دوره مورد استقبال زیاد شرکت کنندگان در دوره قرار گرفت، در پایان این دوره گواهینامه مربوطه برای شرکت کنندگان صادر گردید.

### برگزاری جلسه هیأت مدیره انجمن آهن و فولاد ایران

جلسه هیأت مدیره انجمن آهن و فولاد ایران در روز چهارشنبه مورخ ۲۹/۷/۸۸ با حضور اعضاء هیأت مدیره انجمن در محل شرکت فولاد آذربایجان - یزد در ساعت ۲/۵ بعد از ظهر برگزار و در مورد مسائل مختلف و روند پیشرفت انجمن، بحث و تبادل نظر انجام و تصمیمات لازم اتخاذ گردید.



### مقدمات برگزاری همایش ملی "سمپوزیوم فولاد ۸۸"

در تاریخ ۱۱ و ۱۲ اسفندماه سال ۸۸، سمپوزیوم فولاد با مشارکت شرکت فولاد آذربایجان در یزد برگزار خواهد شد. در این راستا پس از ارسال فراخوان مقاله تا کنون بیش

استاد محترم دانشکده مهندسی مواد دانشگاه صنعتی اصفهان بود. در پایان این دوره گواهینامه مربوطه برای شرکت کنندگان صادر گردید.

### برگزاری دوره آموزشی "فرایند فولاد سازی در کوره‌ها"

توسط کمیته آموزش انجمن آهن و فولاد ایران دوره آموزشی "فرایند فولاد سازی در کوره‌ها" در تاریخ ۲۶ آبان ماه ۸۸ در دانشگاه صنعتی اصفهان برگزار گردید. مدرس این دوره جناب آقای دکتر مرتضی شمعانیان استاد محترم دانشکده مهندسی مواد دانشگاه صنعتی اصفهان بود. این دوره مورد استقبال زیاد شرکت کنندگان در دوره قرار گرفت. در پایان این دوره گواهینامه مربوطه برای شرکت کنندگان صادر گردید.



### پیشرفت فیزیکی ساختمان انجمن آهن و فولاد ایران

با شروع قرارداد تکمیل ساختمان با شرکت زیباسازان از مردادماه سال قبل، عملیات تأسیسات الکتریکی، لوله کشی های مربوط به شوفاژ و آب و فاضلاب، کاناال کشی

### برگزاری دوره آموزشی "متالورژی جوشکاری و جوش پذیری فولادهای زنگ نزن"

توسط کمیته آموزش انجمن آهن و فولاد ایران دوره آموزشی "متالورژی جوشکاری و جوش پذیری فولادهای زنگ نزن" در تاریخ ۹ لغایت ۱۰ آبان ماه ۸۸ در دانشگاه صنعتی اصفهان برگزار گردید. مدرس این دوره جناب آقای دکتر مرتضی شمعانیان استاد محترم دانشکده مهندسی مواد دانشگاه صنعتی اصفهان بود. این دوره مورد استقبال زیاد شرکت کنندگان در دوره قرار گرفت. در پایان این دوره گواهینامه مربوطه برای شرکت کنندگان صادر گردید.

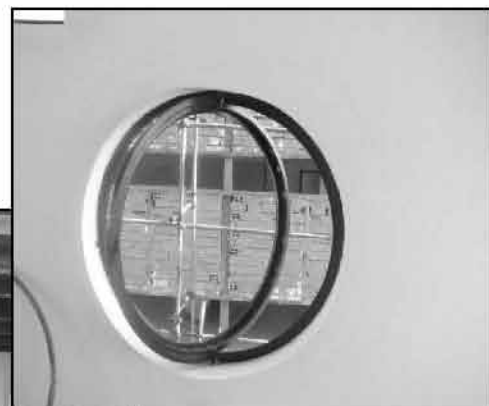


### برگزاری دوره آموزشی "تشکیل پوسته در کوره‌های پیشگرم نورد گرم"

توسط کمیته آموزش انجمن آهن و فولاد ایران دوره آموزشی "تشکیل پوسته در کوره‌های پیشگرم نورد گرم" در تاریخ ۲۰ آبان ماه ۸۸ در محل فولاد مبارکه اصفهان برگزار گردید. مدرس این دوره جناب آقای دکتر احمد ساعتچی

سالن و اتاقهای نیم طبقه دوم و چهارم به اتمام رسید. در حال حاضر نمای کرافت بدنه لابی، اجرای نمای شیشه و کامپوزیت و نرده‌ی استیل داخل ساختمان در دست اجراست.

کولر، ساخت و نصب پنجره‌ها و چهارچوب‌های فلزی و اجرای سیمان سفید نمای خارجی ساختمان و سفید کاری داخلی، اجرای سقف کاذب، سنگ کاری راه‌پله‌ها، سرامیک



## اخبار اعضاء حقوقی انجمن آهن و فولاد ایران

درجه دو و درجه سه تقسیم می شود که برای انجام تعمیرات اساسی درجه یک، بایستی تمام مواد موجود در کوره و همچنین چدن مرده آن تخلیه و کوره متوقف گردد.

### ◀ حمایت تعرفه‌ای از صنعت فولاد باید جدی گرفته شود

محسن کوهنکن عضو هیأت رئیسه و نماینده مردم شهرستان لنجان در مجلس شورای اسلامی به اتفاق فرماندار و ائمه جمعه این شهرستان طی جلسه‌ای با مدیر عامل ذوب آهن دیدار و گفتگو نمودند.

آقای کوهنکن مهمترین اولویت مجلس شورای اسلامی برای حمایت جدی از صنایع داخلی خصوصاً صنعت فولاد را حمایت تعرفه‌ای و قانون رفع موانع تولید ذکر نمود و گفت: برای حفظ تولید و اشتغال و برای جلوگیری از آسیب‌های رکود و ایجاد امکانات برای رفاقت مناسب، این موضوع را در اولویت کار مجلس شورای اسلامی قرار داده‌ایم.

### ◀ آغاز تعمیرات اساسی کارگاه نورد سنگین ۶۵۰ ذوب آهن اصفهان

تعاون بهره برداری ذوب آهن اصفهان گفت: کارگاه نورد ۶۵۰ ذوب آهن که تولید تیر آهن سنگین ۱۸ تا ۳۰ تیر آهن بال پهن و ریل را بر عهده دارد به مدت ۱۲ شبانه روز تعمیرات اساسی درجه یک خواهد داشت. وی گفت: فاصله هر تعمیرات اساسی این کارگاه ۴ سال یک بار می‌باشد و در این تعمیرات کلی تجهیزات اصلی خط نورد که شامل موتور، گیربکس و متعلقات قفسه‌های توردی می‌باشد مورد بازسازی و نوسازی قرار می‌گیرند.

### ◀ شرکت سهامی ذوب آهن اصفهان

#### ◀ بزرگترین تعمیرات اساسی کوره بلند شماره یک ذوب آهن اصفهان

با همت و توان کارشناسان داخلی و با به کارگیری تکنولوژی‌های روز جهانی و برای اولین بار در کشور، تعمیرات اساسی درجه یک کوره بلند شماره یک ذوب آهن اصفهان در حال انجام است. این تعمیرات در ۸۸/۵/۱۰ شروع و در ۸۸/۹/۳۰ به پایان می‌رسد.

مدیر عامل ذوب آهن اصفهان گفت: این شرکت هم اکنون روزهای پرکار و حساسی را سپری می‌کند و در کنار راه اندازی طرح‌های مختلف توسعه و تولید بر اساس برنامه ریزی‌های صورت گرفته، حدود ۱۲۸ پروژه بازسازی و تعمیراتی را در حال انجام دارد که پروژه کوره بلند شماره یک، یکی از بزرگترین این پروژه‌ها به حساب می‌آید. وی گفت: بعد از راه اندازی کوره ۳ در طرح توازن، تعمیرات اساسی درجه یک کوره بلند شماره یک را آغاز کرده‌ایم که این تعمیرات برای اولین بار با حجم بسیار زیاد در کشور صورت می‌گیرد. وی گفت: وسعت و اهمیت تعمیرات مذکور به حدی است که می‌توان گفت یک کوره کامل از نو ساخته و اغلب تجهیزات آن مدرن و به روز می‌شود. هم زمان با این تغییرات، طرح تعویض کامل سیستم اتوماسیون کوره بلند شماره یک نیز انجام می‌شود و این طرح کاملاً توسط کارشناسان ایرانی طراحی شده است. وی هزینه تعمیرات اساسی کوره مذکور را حدود ۳۰۰ میلیارد ریال ذکر کرد.

مدیر عامل ذوب آهن اصفهان با تشریح چگونگی تعمیرات گفت: تعمیرات اساسی در کوره بلند به سه نوع درجه یک،



میلیارد تومان بوده است که نسبت به مدت مشابه در سال ۱۳۸۷، ۷ درصد از لحاظ تنازی رشد داشته است. این محصولات بعنوان مواد اولیه صنایع مختلف کشور از جمله: خودروسازی، ماشین سازی، ابزارسازی و همچنین در ساخت تجهیزات نفت، گاز، پتروشیمی و ساختمان مورد استفاده قرار می‌گیرد.

محصولات این شرکت در سال جاری در قالب گروه عملیات حرارتی پذیر و ابزار سرد کار و گرم کار به کشورهای آلمان و ارمنستان صادر شده است و علیرغم اوضاع نامناسب اقتصاد جهانی، بازار جدیدی در کشورهای لهستان و ترکیه به روی محصولات عملیات حرارتی پذیر/ ابزار گرمکار این شرکت گشوده شده است.

#### دست آوردهای شرکت در شش ماه اول سال ۱۳۸۸

- افتتاح پروژه کوثر جهت نصب کوره سوم قوس الکتریکی در کارخانه ذوب
- تولید محصول گروه فولادهای پرکننده جوشکاری برای اولین بار که این محصولات، دارای ارزش افزوده بالا می‌باشد.
- ثبت رکورد تولید ۲۵۲۷۸ تن مذاب در کارخانه ذوب (تیرماه) و افزایش یک درصدی تنازی تولید نسبت به رکورد قبلی
- ثبت رکورد تولید ۲۳۹۴۴ تن انواع محصولات نورده در نورده سنگین (خردادماه) و افزایش ۱/۸ درصد نسبت به رکورد قبلی
- ثبت رکورد تولید ۲۱۹۷۴ تن انواع محصولات نورده در نورده سبک (تیرماه) و افزایش ۲/۶ درصدی تنازی تولید نسبت به رکورد قبلی

وی افزود: پس از اجرای تعمیرات فوق این اطمینان بوجود خواهد آمد که کارگاه با ثبات کامل و قابل توجه به تولید پایدار خود ادامه خواهد داد.

معاون بهره‌برداری ذوب آهن اصفهان با اشاره به اهمیت تعمیرات مذکور و نقش آن در تولیدات جدید گفت: ارتقاء سطح اتوماسیون کارگاه و نصب جرثقیل جدید ۱۲۵ تنی ساخت داخل کشور انجام گرفته و پس از مطالعات مهندسی در مورد بازسازی و نوسازی تجهیزات و متعاقب آن تولید ریل ۱۳۳۳ در سال ۱۳۸۷ اقدام شده و هم اکنون مراحل انتخاب تجهیزات تکمیلی و انتخاب مشاورین کار آمد در مرحله نهایی می‌باشد. وی گفت: به محض طی شدن مراحل قانونی و عقد قرارداد آمادگی کار برای تولید ریل UIC60 طی یک زمان ۱۵ ماهه در آینده نزدیک فراهم خواهد شد و پایان تعمیرات اساسی کارگاه ۶۵ طی روزهای آینده، ذوب آهن اصفهان را به فاز عملیاتی تولید انبوه ریلهای استاندارد مورد نیاز راه آهن جمهوری اسلامی و سایر کاربردها نزدیک تر خواهد کرد.

#### شرکت فولاد آلیاژی ایران

- طی شش ماه اول سال ۱۳۸۸ بالغ بر ۱۳۱۰۰ تن فولاد خام از انواع عملیات حرارت پذیر، سخت شونده سطحی، میکرو آلیاژ، فرن، ابزار سرد کار و تجاری در شرکت فولاد آلیاژی ایران تولید شده است که نسبت به مدت مشابه در سال ۱۳۸۷ ۱۶ درصد معادل ۱۶۴۲۰ تن افزایش داشته است.

- تولید محصولات صنعتی نیز در شش ماه اول سال ۱۳۸۸ جمعاً به میزان ۵۲۳۷۲ تن به ارزش قریب به ۲۶ میلیارد تومان بوده است.

- فروش محصولات این شرکت طی شش ماه اول سال ۱۳۸۸، جمعاً بالغ بر ۱۰۷ هزار تن به ارزش بیش از ۸۱



## اخبار از سایت‌های بین‌المللی

(Steel Times International) مرجع:

خلاف پیش‌بینی این شرکت مبنی بر ضرر ۳۰٪ میلیون دلاری در ماه‌های جولای تا سپتامبر، این نشرکت با درآمد ۱۰٪ میلیون دلاری مواجه شده است. از طرف دیگر، شرکت پوسکوی کره جنوبی که یکی از رقبایان اصلی شرکت جی-اف-ای است، با رشد ۱۷ درصدی درآمدهای خود در ماه‌های اکتبر و دسامبر بر این باور است که در سال ۲۰۱۰ با توجه به افزایش تقاضا در هند و چین، درآمدهای خود را افزایش دهد.

### ✓ راه اندازی واحد نورد سود فولاد در ویتنام توسط پوسکو و تکمیل تولید و فروش فولاد در کشورهای جنوب آسیا

به گفته مدیران شرکت پوسکوی کره، احداث واحد جدید تولید در تزدیکی شهر هوشیمنه ویتنام مورد توجه ۷۰۰ واحد صنعتی و دولتی قرار گرفته است. این واحد با ظرفیت ۱/۲ میلیون تن در سال در مدت ۲۶ ماه ساخته شده است. در این واحد، سالانه ۷۰۰ هزار تن فولاد نورد سرد شده برای صنایع خودروسازی و ۵۰۰ هزار تن برای مصارف ساختمانی تولید خواهد شد. ورق‌های نورد گرم شده مورد نیاز این واحد از طریق کشتی از واحدهای فولادسازی پوسکو در کره جنوبی تأمین خواهد شد.

✓ آینده‌ای روشن برای تولید کنندگان انگلیسی آمارها نشان می‌دهد که بحران موجود در صنایع انگلیس را به افول است و چشم‌اندازی روشن برای آینده وجود دارد. پیش‌بینی می‌شود صادرات در سال ۲۰۱۰، با افزایش ۱۶ درصدی نسبت به میزان مشابه در سال قبل بررسد. از طرفی،

✓ کمیسیون تجارت آمریکا طرحی را به تصویب رسانده که بر اساس آن قوانین ضد دامپینگ برای واردات لوله‌های بدون درز از چین وضع می‌شود تعامی شش عضو کمیسیون تجارت آمریکا برای تصویب طرح ضد دامپینگ رای موافق دادند. این طرح یک روز پس از تعهد آمریکا و چین در زمینه عدم وضع قوانین تجاری علیه یکدیگر تصویب شد. بر اساس آمار وزارت تجارت آمریکا، صادرات لوله‌های بدون درز چین به آمریکا با ۱۳٪ افزایش از سال ۲۰۰۶ تا ۲۰۰۸ به ۵۵٪ میلیون دلار رسیده است. بر اساس گزارش رویترز، عوارض گمرکی ۱۰٪ درصدی برای لوله‌های بدون درز در نظر گرفته شده است. چین شدیداً نسبت به این طرح موضع گرفته و از سازمان تجارت جهانی خواسته تا این موضوع را پیگیری کند.

✓ آرسلر میتال بازندۀ قرارداد با کومبا شرکت آرسلر میتال که قرار بود ۴ میلیون تن سنگ آهن مورد نیاز خود را از طریق طرح توسعه معدن کومبا تامین کند، با نظر مخالف کومبا مواجه شد. در این راستا، هیات منصفه مبلغی را به نفع شرکت سیشن صادر کرده است و اظهار داشته است که شرکت میتال شایستگی شرکت در این پروژه را ندارد.

### ✓ جی-اف-ای علی‌رغم سودآوری هنوز محتاط است

به اعتقاد شرکت ژاپنی جی-اف-ای، شش میلیون تولید کننده فولاد در دنیا، بازار فولاد آسیا به دلیل شرایط موجود در چین هنوز غیرشفاف و شکننده است. این در حالی است که بر



بیش از ۱۲۳۰ نفر از سپرستان واحدهای این شرکت، مسائل ایمنی را مستقیماً به پرسنل آموزش می‌دادند. برنامه شرکت تاتا استیل بر مبنای آموزش تیروی انسانی قبل از ساخت کوره بلند بوده است. در این راستا، ۳۵ میلیون ساعت کاری بدون حادثه سپری شد. برنامه شرکت اسارت استیل بر مبنای فرهنگ‌سازی مسائل ایمنی و کاهش میزان حوادث بوده است به طوری که از سال ۲۰۰۷ تاکنون هیچ‌گونه حادثه منجر به قوت در این شرکت رخ نداده است.

### ✓ پیش‌بینی ورلد استیل: رشد متوسط در سال ۲۰۲۰ به خاطر چین

طبق پیش‌بینی ورلد استیل تقاضا برای فولاد در سال ۲۰۲۰ با رشد ۹٪ درصدی به ۱۲۰۶ میلیارد تن برسد که دلیل آن افزایش تقاضا در چین است. براین اساس، چین با ۱۹٪ درصد رشد مصرف در سال ۲۰۰۹ و ۵٪ رشد در سال ۲۰۱۰ روی رو خواهد شد. ۴۷٪ افزایش تقاضا مربوط به چین است. اگر چین کنار گذاشته شود، تقاضای جهانی فولاد ۲۴٪ کاهش خواهد یافت. در اروپا و پس از کاهش ۲۴٪ درصدی در سال ۲۰۰۹، رشد ۱۲٪ درصدی در سال ۲۰۱۰ قابل انتظار است. در اتحادیه کشورهای مشترک المنافع کاهش ۳۰٪ درصدی در سال ۲۰۰۹ و رشد ۸٪ درصدی در سال ۲۰۱۰ قابل پیش‌بینی است. در منطقه فنکا (NAFTA) نیز پس از کاهش ۳۵٪ درصدی در سال ۲۰۰۹، رشد ۱٪ درصدی در سال ۲۰۱۰ قابل انتظار است.

استفاده بیشتر از ظرفیت تولید منجر به توسعه قراردادهای شرکت‌های انگلیسی خواهد شد.

### ✓ ورلد استیل: هند در بوابه بحران مقاوم می‌مائد

بر اساس آمار و ارقام ورلد استیل، بحران جهانی تاثیری بر مصرف فولاد در هند نداشته است. پیش‌بینی می‌شود مصرف فولاد در سال ۲۰۱۰ و ۲۰۱۱ به ترتیب ۸٪ و ۱۲٪ رشد داشته باشد. این در حالی است که در سال ۲۰۰۹، مصرف فولاد در تمامی کشورها به جز چین با کاهش روی رو شده است.

### ✓ ایندیان پی‌ام: اینجا بحران اقتصادی وجود ندارد

دکتر منموهان سن، نخست وزیر هند اظهار داشت که هیچ‌گونه بحران اقتصادی در این کشور وجود ندارد. وی اظهار داشت اگرچه به دلیل بحران اقتصادی، صادرات این کشور با مشکل روی رو شده است اما اقتصاد این کشور رشد ۶٪ درصدی داشته است. وی همچنین اظهار داشت که در دنیا بی کشورها به یکدیگر وابسته اند، نیل به اهداف اقتصادی بدون همکاری سایر کشورها امکان پذیر نیست.

### ✓ ورلد استیل سه شرکت را به عنوان پیشگامان ایمنی و بهداشت معرفی کرد

ورلد استیل، سه شرکت تاتا استیل، گرادو و اسارت استیل را به عنوان پیشگامان ایمنی و بهداشت معرفی کرد. برنامه شرکت گرادو بر مبنای معرفی ساعت ایمنی بوده است. در این راستا،

نه تنها میزان تولید، بلکه میزان مصرف فولاد در هر کشور نیز به عنوان شاخص‌های سنجش میزان توسعه اقتصادی آن کشور تلقی می‌گردد.



## تازه‌های تکنولوژی\*

تهیه و تنظیم: مهندس محمد مهدی وردیان

### نتایج/موفقیت‌ها:

کوره‌های جدید با طراحی تک سقفی، اجازه تعویض سریع قطعات مرکزی و سقف را در مدت کوتاهی می‌دهد. بنابراین، در مدت کوتاهی می‌توان حجم پوسته را تغییر داد. علاوه بر این، تجهیزات جدید قابلیت نگهداری آسان‌تری داشتند.

### سطح ۲ اتوماسیون<sup>۱</sup> بین واحد تولید آهن اسفنجی و کوره‌های قوس

شرکت Lion مالتی، به دنبال راه حلی بود تا بتواند بین واحد جدید تولید آهن اسفنجی و سه کوره قوس الکتریکی خود یک هماهنگی برقرار کند تا در نهایت بتواند آهن اسفنجی داغ را مستقیماً به کوره‌های قوس شارژ کند.

### رویکرد:

شارژ آهن اسفنجی داغ در کوره‌های قوس به عنوان منبع اضافی انرژی می‌تواند مدنظر قرار گیرد. نکته‌ای که باید در انتقال این ماده به کوره مدنظر قرار گیرد آن است که انتقال باید در محیط غیر اکسید کننده صورت گیرد تا آهن اسفنجی نسوزد.

### سیستم هماهنگ HDRI:

با پیاده‌سازی سیستم جدید، امکان نظارت همزمان بر

<sup>۱</sup> این متن برگرفته از سایت زیر می‌باشد:

[www.bse-kehl.de](http://www.bse-kehl.de)

- 1. Badische Stahl-Engineering
- 2. Level 2-Automation

### مدیریت چالش انگیز ترین پروژه بازسازی کوره قوس در تاریخ شرکت BSE<sup>۱</sup>

در اوخر نوامبر، ۲۰۰۷ Posco، چهارمین شرکت بزرگ فولاد سازی دنیا، قراردادی را با شرکت BSE برای بازسازی کوره‌های قوس دو جمله‌رده در گوانگیانگ، کره جنوبی امضا می‌کند.

انگیزه‌های اصلی Posco برای این قرارداد عبارت بودند از: افزایش حجم پوسته برای جلوگیری از تسطیح سطح قراضه، انحراف قوس به سمت پانل دیوار و سقف، طراحی مجدد کف پوسته به منظور افزایش ظرفیت مایع در پاشته، تعویض الکترود پایینی و در نهایت بهبود سینماتیک کوره.

### رویکرد:

طراحی کوره‌های قدیمی با پوسته نسبتاً بالا و قطر کوچک برای کوره‌ای که ماده ورودی آن ۱۰۰٪ قراضه است، موضوع جدیدی نیست. براساس دانش فنی و با آگاهی از پارامترهای طراحی و به کمک شیوه‌سازی رایانه‌ای، کوره سفارشی Posco طراحی شد. افزایش قطر پوسته و کاهش ارتفاع آن به همراه چندین محدودیت‌های فضایی دیگر، در نهایت منجر به ایجاد کوره‌ای جدید شد.

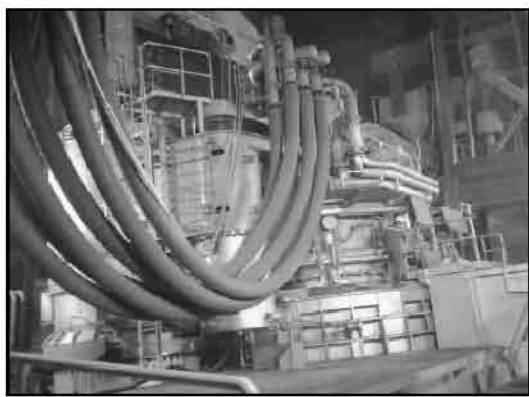
### چالش:

بزرگترین چالش این پروژه، مدیریت همزمان نصب پوسته بر روی چهار کوره بود.



**نتایج/موفقیت ها:**

این سیستم در اواسط سال ۲۰۰۸ دایر شد و پس از مدت کوتاهی شارژ آهن اسفنجی داغ به داخل کوره ها آغاز شد.



نمایی از یکی از کوره های بازسازی شده توسط شرکت BSEI

وضعیت واحد تولید آهن اسفنجی و کوره های قوس وجود دارد. تصمیم برای ارسال آهن اسفنجی، به وضعیت محفظه های موجود، وضعیت کوره قوس و طرح تولید بستگی دارد. حمل و نقل محفظه ها توسط کامیون صورت می گیرد.

**سیستم شارژ HDRI:**

آهن اسفنجی به شکل مستقیم و توسط نوار نقاله های سرپوشیده وارد کوره قوس می شود. دو جایگاه برای قرار گرفتن محفظه ها وجود دارد تا آهن اسفنجی بدون وقفه به داخل کوره تزریق شود. این عملیات به صورت اتوماتیک انجام می شود.

صرف عمدہ فولاد در کشورهای پیشرفته (۶۰ تا ۷۰٪) مربوط به مصارف صنعتی است. این در حالی است که در کشور ما، بخش ساختمان بزرگترین مصرف کننده فولاد در سالهای اخیر بوده است.



[magiran.com](http://magiran.com)

سرمایه گذاری بخش خصوصی در صنایع پایین دستی فولاد مانند نورد های گرم و سرد و خطوط گالوانیزه علاوه بر حجم سرمایه اولیه کمتر، زود بازده تر بوده و مشکلات اجرایی کمتری دارد.



[iranconomics.net](http://iranconomics.net)



## معرفی برخی مقالات از مجلات آهن و فولاد بینالمللی

Ironmaking & Steelmaking, Volume 36, Number 7, October 2009

### **Control of open slag bath furnaces at Highveld Steel and Vanadium Ltd: development of operator guidance tables**

Steinberg, W.S.; Pistorius, P.C., pp. 500-504.

### **Theoretical calculation and validation of burden trajectory in bell-less top blast furnace**

Yu, Y.W.; Bai, C.G.; Zhang, Z.R.; Wang, F.; Lv, D.G.; Pan, C., pp. 505-508.

### **A static approach towards coke collapse modelling in blast furnace**

Nag, S.; Basu, S.; Yu, A.B., pp. 509-514.

### **Influence of magnesia on iron ore sinter properties and productivity**

Umadevi, T.; Nelson, K.; Mahapatra, P.C.; Prabhu, M.; Ranjan, M., pp. 515-520.

### **A study of shell growth irregularities in continuously cast 310S stainless steel**

Nassar, H.; Korojy, B.; Fredriksson, H., pp. 521-528.

### **Bottom design optimisation of electric arc furnace for ferromanganese production using nodal wear model**

Parra, R.; Mochón, J.; Martín D., R.; Verdeja, J.I.; Barbés, Ma. F.; Verdeja, L.F.; Kanari, N.; Ruiz-Bustinza, I., pp. 529-536.

### **Optimisation of dual purging location for better mixing in ladle: a water model study**

Chattopadhyay, K.; SenGupta, A.; Ajmani, S.K.; Lenka S.N.; Singh, V., pp. 537-542.

### **Research on slag modifying agents for CaO-Mg based hot metal desulphurisation**

Diao, J.; Xie, B.; Wang, S.S., pp. 543-547.

### **Surface inclusions and their evolution on strip rolled on CSP line and in following cold rolling process**

Zhu, Y.Z.; Rao, J.; Zhu, Z.; Xiang, Z.D.; Wu, Z.F., pp. 548-554.

### **Ni based superalloy as a potential tool material for thixoforming of steels**

Biro, Y., pp. 555-560.



## ترجمه دو چکیده مقاله از مجله:

Ironmaking & Steelmaking, Volume 36, Number 7, October 2009

### آخال های سطحی و تغییرات آن ها در تسممه های نورد شده توپر (CSP)<sup>۱</sup> و فرایند نورد سرد بعدی

**Surface inclusions and their evolution on strip rolled on CSP line and in following cold rolling process**

نمونه هایی از تسممه های نورد گرم و سرد شده حاوی نقاچیں سطحی مانند گودی های سیاه، ترک های مرکزی و چاک از یک خط تولید تسمه و نورد سرد جمع آوری شد. ریز ساختار و ترکیب شیمیایی به کمک میکروسکوپ الکترونی روبشی و طیف سنجی پراکنشی انرژی تعیین شد. چهار نوع نقص شامل به دام افتادگی سطحی و کروی پودر قالب، به دام افتادگی مرکزی و کروی پودر قالب و به دام افتادگی سطحی و خطی پودر قالب و به دام افتادگی مرکزی و خطی پودر قالب مورد بررسی قرار گرفت. نتایج نشان داد که به دام افتادگی کروی پودر قالب پس از فرایندهای نورد گرم و سرد به گودی های سیاه سطحی تبدیل می شود. به دام افتادگی مرکزی و کروی پودر قالب سبب گسیختگی مرکزی تسمه پس از فرایندهای نورد گرم و سرد شد. علاوه بر این، به دام افتادگی سطحی و خطی پودر قالب سبب ایجاد چاک و به دام افتادگی مرکزی و خطی سبب ایجاد چاک های شدید شد.

۱. Compact strip production

### تأثیر منیزیا بر قابلیت تولید و خواص کلوخه سنگ آهن

**Influence of magnesia on iron ore sinter properties and productivity**

دولومیت و سایر مواد حاوی منیزیا به عنوان اجزای اصلی سرباره ساز برای تولید کلوخه های حاوی سرباره ساز استفاده می شوند. افزودن مواد سرباره ساز به کلوخه باعث تغییر ریز ساختار و ترکیب شیمیایی کلوخه می شود. خواص فیزیکی و متالورژیکی کلوخه به نوع کانی های موجود در مواد سرباره ساز بستگی دارد. دولومیت، منبع کربنات مضاعف کلسیم و منیزیم است. مطالعات اخیر نشان می دهد که جدای از افزایش سوخت مورد نیاز، افزودن دولومیت و سایر مواد حاوی منیزیا سبب افزایش میزان مگنتیت و تغییر خواص کلوخه می شود. با توجه به افزایش میزان مصرف سرباره ساز های حاوی منیزیا در کوره بلند، بررسی تأثیر منیزیا بر خواص کلوخه و قابلیت تولید آن بررسی شده است. در این تحقیق تأثیر منیزیا (۱/۶ تا ۱/۴) بر خواص کلوخه بررسی شده است. ارزیابی ریز ساختاری کلوخه نشان داد که با افزایش درصد منیزیا، درصد فاز های هماتیت و فریت کلسیم کاهش و درصد فاز مگنتیت افزایش می یابد. نتایج آزمایشگاهی نشان داد که با افزایش درصد منیزیا، شاخص تخریب احیایی کلوخه بهبود می یابد در حالی که شاخص تامبلر و قابلیت احیا کاهش می یابد.

## معرفی کتاب



**عنوان کتاب:** فرهنگ جامع مواد

**عنوان انگلیسی:** Encyclopedia of Materials

**نویسنده:** مهندس پرویز فرهنگ

**ناشر:** انتشارات آهن و فولاد

**قیمت:** ۱۸۰,۰۰۰ ریال

**سال نشر:** شهریورماه ۱۳۸۸

**تعداد صفحات:** ۴۹۱ صفحه

### معرفی

این ویرایش با چاپ جدید یعنی چاپ پانزدهم کتاب Materials Handbook معروف به (Brady's) یا انجیل صنعت از سال ۱۹۲۹ میلادی تاکنون، صورت گرفته است. بعلاوه، برای تکمیل نیاز علمی کشور، از کتاب‌های دیگری که در مراجع آن ذکر شده استفاده شده است. در مدخل‌های اصلی کتاب، معادل انگلیسی مشتقات مواد نیز وارد شده که استفاده کننده نباید به دنبال آنها جای دیگری را جستجو کند و در حقیقت، این مدخل‌ها، خود، یک فرهنگ کوچک شده‌اند. ضمناً تک واژه‌هایی اضافه شده است که کمک به کار مطالعه فرهنگ می‌کند.

**عنوان کتاب:** پنجاه سال با آهن و فولاد

**عنوان انگلیسی:** Fifty Years of Iron and Steel

**نویسنده:** Joseph Green Butler

**ناشر:** Rogers Press

**قیمت:** ۲۹/۵۶ دلار

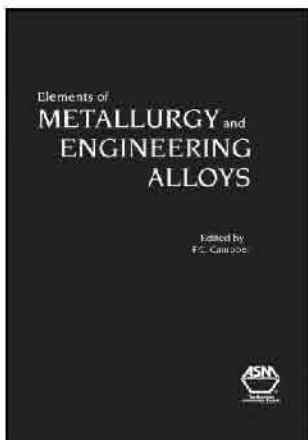
**سال نشر:** ۲۰۰۸

**تعداد صفحات:** ۱۹۲ صفحه

### معرفی

این کتاب به دلیل گران قیمت و کمیاب بودن نسخه‌های قدیمی موجود در حوزه فولاد مجدد ویرایش و چاپ شده است. مباحث کلی این کتاب شامل موارد ذیل است: توسعه مواد اولیه و فرایندهای تولید فولاد، پیشرفت تجهیزات و تاثیرات جنگ جهانی بر صنعت فولاد.





عنوان کتاب: مبانی متالورژی و آلیاژهای مهندسی

عنوان انگلیسی: Elements of Metallurgy and Engineering Alloys

نویسنده: F. Campbell

ناشر: ASM International

قیمت: ۱۲۳/۴۷ دلار

سال نشر: ۲۰۰۸

تعداد صفحات: ۳۵۰ صفحه

### معرفی

در این کتاب مفاهیم متالورژی فیزیکی و مکانیکی و همچنین کاربردهای آلیاژهای مهندسی و ارزیابی خواص آنها به تفصیل آورده شده است. این کتاب می‌تواند برای طراحان، تکنسین‌ها، مهندسین‌تولید، مهندسین‌مواد و حتی مهندسین سازه مفید واقع شود.

نوسازی فناوری و تجهیزات در صنایع فولاد، امری ضروری در جهت بهبود کیفیت محصولات و افزایش  
توان رقابت در بازارهای جهانی است.



[material.itan.ir](http://material.itan.ir)

با توجه به برنامه‌های چشم انداز ۲۰ ساله، ظرفیت تولید فولاد ایران باید به ۵۵ میلیون تن در سال افزایش یابد.



[industrialmanager.blogfa.com](http://industrialmanager.blogfa.com)



## معرفی سمینارهای بین‌المللی در زمینه مواد و متالورژی

No	Title	Location	Date	Organization
1	AISTech 2010 - Iron & Steel Technology Conference and Exposition	USA, Pittsburgh	May 3-6, 2010	AIST
2	International Conference on Materials Heat treatment (ICMII)	Isfahan, Iran	May 11-14, 2010	IAU, Majlesi
3	6th European Coke and Ironmaking Conference (ECIC)	GERMANY, Düsseldorf	June 6-10, 2010	VDEII
4	Copper 2010 International Conference	Hamburg, Germany	June 2010	<a href="http://www.cu2010.gdmb.de">www.cu2010.gdmb.de</a>
5	Infacon XII The Twelfth International Ferro Alloy Conference - "Sustainable Future"	Helsinki, Finland	6-9 June, 2010	<a href="http://www.infacon12.com">http://www.infacon12.com</a>
6	18th International Federation of Heat Treatment and Surface Engineering	Brazil, Rio de Janeiro	July, 2010	IFHTSE
7	International Conference on Modelling of Metallurgical Processes	Austria, Graz	September, 2010	ASMET
8	The 13th International Conference On Metal Forming(Metal Forming 2010)	Toyohashi, Japan	September, 2010	<a href="http://plast.pse.tut.ac.jp/metalforming">plast.pse.tut.ac.jp/metalforming</a>
9	10th International Steel Rolling Conference	China, Beijing	September, 2010	CSM



<b>10</b>	MS&T 2010 – The Material Science & Technology Conference and Exposition	USA, Houston,	October 18-21, 2010	Acers
<b>11</b>	ICF : 3rd International Congress on Ceramics	Osaka, Japan	14-18 November, 2010	<a href="http://www.cersj.org/icc3">http://www.cersj.org/icc3</a>
<b>12</b>	ASNT Fall Conference and Quality Testing Show	Houston Convention Center, Houston, Texas, USA	15-19 Nov, 2010	ASNT
<b>13</b>	The 6th joint International Conference on HSLA Steels and Advanced Steels	China	2010	CSM
<b>14</b>	2nd International Conference on Super High Strength Steel	Italy	2010	AIM
<b>15</b>	2011 TMS Annual Meeting	San Diego, California, USA	27 February - 3 March, 2011	TMS
<b>16</b>	International Conference in Advanced Solidification Processes (ICASP)	Salzburg or Linz, Austria	June, 2011	AIM
<b>17</b>	10th European Electric Arc Furnace Conference	France, Paris	2011	AlS



## معرفی سeminارهای داخلی

ردیف	عنوان	مکان	زمان	برگزار کنندگان	پایگاه اینترنتی
۱	چهارمین کنفرانس بین المللی مدیریت استراتژیک	تهران	۲۶ و ۲۷ دی ماه ۱۳۸۸	گروه ناب	www.strategicacademy.ir
۲	یست و سومین جشنواره بین المللی خوارزمی	تهران	۱۸ بهمن ماه ۱۳۸۸	-	www.khwarizmi.ir
۳	چهارمین کنفرانس ملی خلاء ایران	دانشگاه صنعتی اصفهان	۵ و ۴ اسفند ماه ۱۳۸۸	انجمن خلاء ایران	www.vac4.vsi.ir
۴	چهارمین کنفرانس تخصصی و کارگاه آموزشی پایش وضعیت و عیوب یابی	دانشگاه صنعتی شریف	۱۰ الی ۱۲ اسفند ماه ۱۳۸۸	-	http://cmfd.sharif.ir :
۵	دهمین کنفرانس ملی مهندسی ساخت و تولید ایران	دانشگاه صنعتی نوشهر وانی بابل	۱۰ الی ۱۲ اسفند ماه ۱۳۸۸	-	www.smeir.ir/conf10
۶	سیمپوزیوم فولاد ۸۸	شرکت فولاد آلیاژی ایران بزد	۱۱ و ۱۲ اسفند ماه ۱۳۸۸	انجمن آهن و فولاد ایران، شرکت فولاد آلیاژی ایران	www.issiran.com
۷	همایش بهینه سازی حافظت کاتالی خطوط لوله انتقال و توزیع گاز طبیعی	اهواز	۱۱ اسفند ماه ۱۳۸۸	شرکت گاز استان خوزستان	pajouhesh@nige-khgc.ir



سایت‌های اطلاع رسانی آهن و فولاد در شبکه اینترنت



U.S. Department of Energy

این سایت متعلق به وزارت انرژی امریکاست. مسائل مربوط به حوزه انرژی در این سایت قابل بررسی است.

[www.energy.gov](http://www.energy.gov)

## Industrial Energy Analysis

خبر مربوط به حوزه انرژی در صنعت، مسائل آماری و ابعاد تکنولوژیکی مصرف انرژی در صنایع از جمله مواردی است که در این سایت آورده شده است.

[www.industrial-energy.lbl.gov](http://www.industrial-energy.lbl.gov)



Swedish Energy Agency

بعاد اقتصادی، زیست محیطی و اینستی مربوط به مباحث انرژی، طرح‌های کاربردی در حوزه انرژی و همچنین تحقیقات انجام شده در این زمینه را در این سایت سوئیچ می‌توان یافت.

[www.energimyndigheten.se](http://www.energimyndigheten.se)



## Sustainable-Steel

مسائل زیست محیطی، اینمی و مصرف انرژی در صنعت فولاد از جمله مباحث مطرح شده در این سایت است.

[www.sustainable-steel.org](http://www.sustainable-steel.org)

The website features a large image of a person standing in a field with their arms raised, symbolizing environmental concern. Below the image, there is a section of text and a bulleted list of facts related to steel production and its environmental impact.

This screenshot shows the EIA's Short-Term Energy Outlook page from October 6, 2009. It includes a main header, a sidebar with energy source icons, and a central content area with tabs for 'Forecasts & Analyses' and 'Most Requested' data.

## Energy Information Administration

یکی از بهترین پایگاه های داده مربوط به انرژی در این سایت یافت می شود. مسائل مربوط به سوخت های فسیلی، مصرف انرژی در صنایع مختلف و جنبه های آماری مربوط نیز قابل دسترسی است.

[www.eia.doe.gov](http://www.eia.doe.gov)

## Energy Storm

تولید انرژی و تبدیل آن به سایر انواع انرژی، جبهه های مختلف مصرف انرژی در صنایع و انرژی های نو از جمله موضوعاتی است که در این سایت به آن پرداخته شده است.

[www.energystorm.us](http://www.energystorm.us)

The Energy Storm website features a search bar at the top and a results section below. The results are categorized under 'TOPIC CATEGORIES' and include links to various energy-related news articles and reports.

## Energy Manager Training

مسائل مربوط به صرفه جویی در مصرف انرژی در صنعت و آموزش های مربوط به حوزه انرژی در این سایت آورده شده است. مطالعات موردی حوزه انرژی نیز از جمله موارد مطرح شده در این سایت است.

[www.energymanagertraining.com](http://www.energymanagertraining.com)



## معرفی پژوهش‌های کارشناسی ارشد مربوط به صنعت فولاد

عنوان پژوهش:

بررسی خواص مکانیکی فولاد زنگ نزن آستینیتی AISI 304L نانوساختار شده توسط فرآیند مارتزیتی

ارائه‌دهنده: علی هدایتی

اساتید راهنمای: دکتر عباس نجفیزاده - دکتر احمد کرمانپور  
دانشکده مهندسی مواد - دانشگاه صنعتی اصفهان - ۱۳۸۷

### چکیده

فولادهای زنگ نزن نقش مهمی را در جهان امروز بازی می‌کنند. فولادهای زنگ نزن آستینیتی معمولاً مقاومت به خوردگی بسیار عالی، تافتس، جوش پذیری و ازدیاد طول خوبی را از خود نشان می‌دهند، اما دارای استحکام تسلیم نسبتاً پایینی در حالت آنیل شده می‌باشند. خواص مکانیکی فولادهای زنگ نزن آستینیتی به ترکیب شیمیایی و مشخصهای ریزساختاری (برای مثال اندازه دانه) وابسته است. در میان مکانیزم‌های استحکام دهی مختلف، ریزکردن دانه‌ها تنها روشی است که منجر به بهبود همزمان استحکام و چقرمگی می‌شود. با توجه به اینکه فولادهای زنگ نزن آستینیتی در دماهای آنیل مرسوم دچار دگرگونی فازی نمی‌شوند تنها روش ریزکردن آنها آنیل بعد از نورد سرد می‌باشد اما به علت دماهای بالای آنیل در این فولادها رسیدن به اندازه دانه‌های بسیار ریز با محدودیت روپرتو است. در مسالهای اخیر تکنیک‌های آزمایشگاهی جهت تولید فولادهای فوق ریزکردن آنها از دو منظر قابل بررسی است: اولاً تکنیک‌های تغییر شکل پلاستیکی شدید و ثانياً فرآیندهای ترمومکانیکی پیشرفته نظیر فرایند مارتزیتی که اصولاً شامل اصلاح سازی فرآیندهای نورد فولاد در ابعاد بزرگ مرسوم می‌باشد. در این پژوهش جهت دستیابی به ریزساختاری با اندازه دانه‌های نانو/زیرمیکرون، فرآیند مارتزیتی که شامل نورد سرد و آنیل روی فولاد زنگ نزن آستینیتی AISI 304L صورت گرفت. اثر نورد سرد روی تشکیل مارتزیت ناشی از کرنش و همچنین اثر دما و زمان آنیل روی بازگشت مارتزیت ناشی از کرنش به آستینیت در اندازه دانه‌های نانو/زیرمیکرون روی فولاد زنگ نزن آستینیتی نیمه پایدار مورد بررسی قرار گرفت. کوچکترین اندازه دانه متوسط (۳۳۰ nm) در نمونه ای که به میزان ۹۰٪ کارسرد و سپس در دمای ۷۰۰°C به مدت ۳۰۰ دقیقه آنیل شده بود، به دست آمد. این محصول دارای استحکام تسلیم و کرنش شکست به ترتیب برابر ۱۰۱۰ MPa و ۵۸٪ می‌باشد، این در حالیست که استحکام تسلیم نمونه قبل از فرایند مارتزیتی برابر با ۳۰۰ MPa و کرنش شکست ۵۲٪ بوده است.

عنوان پژوهه:

بررسی تأثیر پارامترهای فرایند نیتروژن دهی - اکسیداسیون پلاسمایی بر رفتار سایشی فولاد زنگ نزن  
آستینی 316

ارائه‌دهنده: حمیدرضا عابدی

استاد راهنمای: دکتر مهدی صالحی

دانشکده مهندسی مواد - دانشگاه صنعتی اصفهان - ۱۳۸۸

### چکیده

هدف از انجام پژوهه بررسی عملیات نیتروژن دهی - اکسیداسیون پلاسمایی بر ساختار و رفتار سایشی فولاد زنگ نزن آستینی 316 AISI است. به این منظور عملیات نیتروژن دهی پلاسمایی در سه دمای ۴۲۵، ۴۵۰ و ۴۷۵°C به مدت ۵ ساعت با ترکیب گازی  $N_2/H_2: 1/3$  و فشار ۱۰ تور انجام گرفت. پس از آن عملیات نیتروژن دهی - اکسیداسیون پلاسمایی با انتخاب سیکل بهینه نیتروژن دهی و دما و زمان مختلف اکسیداسیون در ترکیب گازی  $O_2/H_2: 1/5$  انجام شد. ساختار میکروسکوپی و خواص مکانیکی و تریبولوژیکی نمونه‌های عملیات شده با استفاده از بررسی میکروسکوپی نوری، میکروسکوپ الکترونی رویشی (SEM)، پراش سنجی پرتو ایکس (XRD)، طیف سنجی بر مبنای تفکیک انرژی (EDS)، ریز سختی، زبری سنجی و آزمون سایش پین روی دیسکت مورد بررسی قرار گرفت. بررسی‌ها نشان می‌دهد که انجام عملیات نیتروژن دهی - اکسیداسیون پلاسمایی با پارامترهای مذکور، منجر به تشکیل تک فاز مگنتیت در لایه اکسیدی شده و ضخامت لایه اکسیدی تابع زمان و دمای اکسیداسیون است. ارزیابی‌های تریبولوژیکی نشان می‌دهد که عملیات اکسیداسیون پلاسمایی منجر به کاهش ضربی اصطکاک و زبری نمونه‌های پلاسما نیترید - اکسید شده در مقایسه با نمونه پلاسما نیترید شده است.. میزان مقاومت به سایش نیز تا حدود زیادی به دما و زمان اکسیداسیون وابسته است. بررسی مکانیزم سایش نشان می‌دهد که مکانیزم سایش از سایش شدید (خراشان و چسبان شدید) در نمونه عملیات نشده به سایش ملایم (اکسیداسیون و ریز خراشان) تغییر یافته و در نمونه‌های پلاسما نیترید - اکسید شده، مکانیزم سایش مشابه نمونه پلاسما نیترید شده بوده و تغییر چندانی نمی‌یابد.



## معرفی سمپوزیوم فولاد ۸۸

تولید، خواص و کاربرد فولادهای آلیاژی در صنعت

۱۲ و ۱۱ اسفندماه ۸۸

یزد- شرکت فولاد آلیاژی ایران

۴- تحقیقات و فناوری در صنعت فولاد علی‌الخصوص  
فولاد آلیاژی

۵- فرآیندهای استخراج، فolasازی، ریخته‌گری،  
شکل‌دهی، عملیات حرارتی، پوشش کاری، عملیات تکمیلی  
و خوردگی و ...

۶- بهبود خواص مکانیکی محصولات در فولادها، علی  
الخصوص فولادهای آلیاژی

۷- مدل‌سازی و شبیه‌سازی فرآیندها

۸- مواد دیرگذار در صنعت فولاد

۹- توسعه صنایع پایین‌دستی و بالادستی فولادهای آلیاژی

۱۰- چشم‌اندازی بر آینده فولاد و چالش‌های فراسوی  
صنعت فولاد

### تقویم

آخرین مهلت ارسال چکیده مقالات ۱۵ مهرماه ۸۸

اعلام پذیرش چکیده مقالات ۱۵ آبانماه ۸۸

آخرین مهلت ارسال اصل مقالات ۱۵ آذرماه ۸۸

اعلام پذیرش نهایی مقالات ۳۰ دی‌ماه ۸۸

آخرین مهلت ثبت نام ۱۵ بهمن‌ماه ۸۸

### فراخوان مقالات

مقالات ارسال شده باید حاصل کارهای پژوهشی اصیل و با  
محتوای نو و مفید برای صنعت فولاد کشور بوده و  
حتی‌المقدور موضوع تولید، خواص و کاربرد فولادهای

دوازدهمین همایش محققان، استادان، مدیران و کارشناسان  
صنعت فولاد کشور در تاریخ ۱۱ و ۱۲ اسفندماه ۱۳۸۸ تحت  
عنوان سمپوزیوم فولاد ۸۸ توسط انجمن آهن و فولاد ایران و  
با مشارکت شرکت فولاد آلیاژی ایران در یزد برگزار  
می‌شود. بدینوسیله از کلیه محققان و متخصصان دانشگاهی و  
صنعتی دعوت می‌گردد ضمن مشارکت فعال، آخرین  
دستاوردهای تحقیقاتی و تجربیات علمی و فنی خود را در  
این سمپوزیوم ارائه نمایند.

هدف از سمپوزیوم‌های فولاد که سالانه توسط انجمن آهن و  
فولاد ایران و با همکاری شرکت‌های تولیدکننده فولاد و یا  
دانشگاه‌های کشور برگزار می‌گردد، ایجاد زمینه مساعد برای  
برقراری ارتباط میان کلیه محققان و دستاندرکاران صنعت  
فولاد و ارائه و انتشار آخرین دستاوردهای پژوهشی در زمینه  
فولاد می‌باشد. زمینه اصلی مقالاتی که در سمپوزیوم فولاد  
۸۸ ارائه می‌گردد تولید، خواص و کاربرد فولادهای آلیاژی  
در صنعت می‌باشد.

### موضوعات

۱- تولید، خواص و کاربرد فولادهای آلیاژی در صنایع  
 مختلف و نقش آن در توسعه تکنولوژی

۲- روش‌های گسترش صادرات محصولات فولادی

۳- نوآوری در تولید و تجهیزات تکنولوژیک صنعت  
فولاد



و ساخت افزار مورد استفاده در صنعت فولاد و صنایع وابسته، محلی جهت برگزاری نمایشگاه بین المللی فولاد تخصیص می‌یابد، بدین منظور از کلیه شرکت‌های داخلی و خارجی دعوت می‌شود که خدمات و محصولات جدید خود را در این نمایشگاه در معرض دید متخصصان قرار دهند.

### سمپوزیوم فولاد ۸۸

بزرگ‌شرکت فولاد آلیازی ایران

۱۲ و ۱۱ استفاده‌ماه

نام و نام خانوادگی: .....  
مدرک تحصیلی: .....  
شغل و محل کار: .....  
تلفن: ..... دورنويسي: .....  
نشانی: .....  
شماره عضویت (درصورت عضویت): .....

- عضو حقیقی انجمن
- دانشجو
- سایر شرکت کنندگان

- با ارائه مقاله (کمی صفحه اول مقاله پيوست است.)
- بدون ارائه مقاله

علاقه‌مند به شرکت در سمپوزیوم هستم و هزینه ثبت نام اینجانب طی اصل فیش بانکی به مبلغ ..... ریال به حساب شماره ۱۲۰۳ بانک ملی شعبه دانشگاه صنعتی اصفهان (کد ۳۱۸۷) به نام انجمن آهن و فولاد ایران را حداکثر تا تاریخ ۱۵ بهمن ماه ۸۸ به دیرخانه سمپوزیوم ارسال نمایند.

تاریخ:

اضاء:

آلیازی در صنعت را مدنظر قرار داده باشد. چکیده مقالات می‌باید در یک صفحه ۸۴ (حدود ۲۰۰ کلمه) تهیه شده و حاوی عنوان مقاله، نام نویسنده (نویسنده گان) و مؤسسه مربوطه و آدرس تماس نویسنده (نویسنده گان) باشد و به آدرس پستی: اصفهان - دانشگاه صنعتی اصفهان - دفتر انجمن آهن و فولاد ایران - کد پستی: ۸۳۱۱۱-۸۴۱۵۶ و یا از طریق سایت انجمن ارسال گردد. پذیرش قطعی مقالات مستلزم دریافت مقاله کامل و تأیید داوران است.

### هزینه

هزینه ثبت نام و شرکت در سمپوزیوم که شامل یک نسخه از مجموعه مقالات، پذیرائی و ناهار در روزهای برگزاری می‌باشد، به شرح زیر است:

(۱) شرکت کنندگان	۵۵۰/۰۰ ریال
(۲) اعضاء انجمن	۴۵۰/۰۰ ریال
(۴) دانشجویان غیر عضو	۴۰۰/۰۰ ریال
(۳) دانشجویان عضو انجمن	۳۰۰/۰۰ ریال

از شرکت کنندگان محترم درخواست می‌شود که اصل رسید واریز وجه ثبت نام به حساب شماره ۱۲۰۳ بانک ملی شعبه دانشگاه صنعتی اصفهان (کد ۳۱۸۷) به نام انجمن آهن و فولاد ایران را حداکثر تا تاریخ ۱۵ بهمن ماه ۸۸ به دیرخانه سمپوزیوم ارسال نمایند.

### نمایشگاه

در کتاب برگزاری سمپوزیوم، برای تماش آخرین دستاوردهای پژوهشی و صنعتی در زمینه‌های مختلف نرم افزار



## برگزاری دوره‌های آموزشی انجمن آهن و فولاد ایران

کمیته آموزش انجمن آهن و فولاد ایران بمنظور شناخت هرچه بیشتر نیازها و استعدادهای واحدهای صنعتی و گسترش امر آموزش آمادگی خود را در برپایی دوره‌های آموزشی - کاربردی در زمینه‌های مختلف آهن و فولاد اعلام می‌دارد. لذا از کلیه مسئولان و صاحبان صنایع که علاقمند به برگزاری دوره‌های آموزشی که تاکنون از طرف انجمن ارائه شده و یا دوره‌های آموزشی خاص دیگری که مورد نیاز آن مؤسسه است تقاضا می‌گردد از طریق تکمیل فرم زیر این انجمن را مطلع فرمایند. بدینهی است دوره‌های پیشنهادی از طرف متخصصان قابل بررسی و اجراءست.

### فرم درخواست برگزاری دوره‌های آموزشی توسط انجمن آهن و فولاد ایران

بدینویله اینجانب ..... درخواست برگزاری □دوره آموزشی یا □سینار
در زمینه ..... را دارم.
نام و نام خانوادگی: ..... سمت: ..... نام مؤسسه: .....
آدرس مؤسسه: .....
تلفن: ..... نمبر: ..... امضاء و تاریخ: .....

### لیست دوره‌ها و کارگاه‌های آموزشی برگزار شده توسط انجمن آهن و فولاد ایران

عنوان دوره	نام استاد
انتخاب فولادها و چدنها در صنعت	دکتر احمد ساعتچی (عضو هیأت علمی دانشگاه صنعتی اصفهان)
بهبودی مستمر در صنعت و روش پیاده‌سازی کایزن	مهندس عبدالله اعزازی (تعاونی برنامه‌ریزی شرکت ملی فولاد ایران)
تجارت الکترونیک در هزاره سوم	دکتر علی صنایعی (عضو هیأت علمی دانشگاه اصفهان)
شناخت و کنترل آجالها در فولاد	دکتر کرمانپور (عضو هیأت علمی دانشگاه صنعتی اصفهان)
کلید فولاد	دکتر احمد ساعتچی (عضو هیأت علمی دانشگاه صنعتی اصفهان)
روشهای کنترل و بازرگانی خوردگی فلزات در صنعت	دکتر ابراهیم حشمت دهکردی؛ مهندس علی اصغر شیخ بهایی
شناخت و ارزیابی عیوب ناشی از فرآیندهای ساخت بر طبق استانداردهای مهم بین المللی	دکتر ابراهیم حشمت دهکردی (عضو هیأت علمی دانشکده انرژی اتمی)
تکنولوژی تولید فولادهای آلیاژی در کوره‌های قوس الکتریکی	مهندسان محمد حسن جولازاده (مدیر تحقیق و توسعه شرکت سهامی ذوب آهن اصفهان)
فرصت‌ها و چالش‌های جهانی شدن و استراتژی‌های مؤثر برای صنایع ایران	دکتر حسین دادر دانشگاه لین شوینگ سووند متخصص در مارکینگ صنعتی و بین المللی
بازرگانی و کنترل جوش ۱	مهندسان عبدالوهاب ادب آوازه
بازرگانی و کنترل جوش ۲	مهندسان عبدالوهاب ادب آوازه
طراحی و انتخاب مواد مقاوم به خوردگی	دکتر احمد ساعتچی - دکتر کیوان رئیسی
حفظاظ کاتدی و آندی	مهندسان امیر صالح قربانی - مهندسان مسعود رحمن
پایش و مانیتورینگ خوردگی	دکتر احمد ساعتچی - دکتر کیوان رئیسی
متالورژی جوشکاری و جوش پذیری فولادهای زنگنه‌ن	دکتر مرتضی شمعانیان



**لیست سمینارهای برگزار شده توسط انجمن آهن و فولاد ایران**

عنوان سمینار	نام استاد
The Warm Rolling of Steels	پروفسور J. J. Jonas عضو اکادمی علوم سلطنتی کانادا و پروفسور McGill
توسعه صنایع فولاد در ایران و جهان و موقعیت شرکت سهامی ذوب آهن اصفهان	مهندس مسعود ابکاء مدیر عامل اسبق شرکت سهامی ذوب آهن اصفهان
چشم اندازی به تاریخچه صنعت فولاد جهان	مهندس محمد حسن جولازاده مدیر اسبق امور تحقیقات و تکنولوژی شرکت سهامی ذوب آهن اصفهان
برنامه‌ریزی منابع سازمانی (ERP)	دکتر محمدعلی نعمت‌بخش استاد دانشکده فنی مهندسی دانشگاه اصفهان و نایب رئیس هیأت مدیره و مدیر فنی شرکت باسا
ارزیابی آخرین وضعیت صنعت فولاد ایران و جهان	مهندس محمد حسن جولازاده مدیر اسبق امور تحقیقات و تکنولوژی شرکت سهامی ذوب آهن اصفهان
تحولات و شاخص‌های پایداری صنایع فولاد جهان	مهندس محمد حسن جولازاده مدیر اسبق تحقیق و توسعه شرکت سهامی ذوب آهن اصفهان

**لیست دوره‌های آموزشی برگزار شده توسط انجمن آهن و فولاد ایران در سال ۱۳۸۸**

ردیف	عنوان دوره	نام استاد	مدت دوره	زمان برگزاری
۱	بهینه‌سازی مصرف انرژی در صنایع	مهندس محمد حسن جولازاده	۱ روز (۸ ساعت)	۲۶ خردادماه
۲	کلید فولاد	دکتر احمد ساعتچی	۱ روز (۸ ساعت)	۲۹ مهرماه
۳	متالورژی جوشکاری و جوش‌پذیری فولادهای زنگ‌زن	دکتر مرتضی شمعانیان	۲ روز (۱۶ ساعت)	۹ و ۱۰ آبان‌ماه
۴	تشکیل پوسته در کوره‌های پیشگرم نورد گرم (اختصاصی) شرکت فولاد مبارکه	دکتر احمد ساعتچی	۱ روز (۸ ساعت)	۲۰ آبان‌ماه
۵	فرآیند فولادسازی در کوره‌ها	مهندس محمد حسن جولازاده	۱ روز (۸ ساعت)	۲۶ آبان‌ماه

**تقویم آموزشی انجمن آهن و فولاد ایران در سال ۱۳۸۸**

ردیف	عنوان دوره	نام استاد	مدت دوره	زمان برگزاری
۱	فرآیند انجاماد ریخته‌گری مداوم فولاد (اختصاصی شرکت فولاد مبارکه)	دکتر مهدی علیزاده	۲ روز (۱۶ ساعت)	۱۷ و ۱۸ آذرماه
۲	تکنولوژی تولید فولادهای کیفی (اختصاصی شرکت فولاد مبارکه)	مهندس محمد حسن جولازاده	۱ روز (۸ ساعت)	۱۷ آذرماه
۳	بازرسی جوش ۱	مهندس عبدالوهاب ادب آوازه	۵ روز (۴۰ ساعت)	۲۸ آذرماه لغایت ۲ دی‌ماه
۴	تشکیل پوسته در کوره‌های پیشگرم نورد گرم (اختصاصی) بازرگاری جوش ۲	مهندس عبدالوهاب ادب آوازه	۵ روز (۴۰ ساعت)	۷ لغایت ۳ بهمن‌ماه

## بسته‌های آموزشی انجمن آهن و فولاد ایران

### بسته خوردگی

ردیف	عنوان دوره	تعداد روزهای برگزاری هر روز ۸ ساعت می‌باشد.)
۱	بازرسی رنگ و پوشش	۳
۲	بازرسی خوردگی در صنایع	۳
۳	روشهای کنترل و بازرسی خوردگی فلزات در صنعت	۳
۴	ظرایح و انتخاب مواد مقاوم به خوردگی	۳
۵	حفظاظت کاتدی و آندی	۳
۶	پایش و مانیتورینگ خوردگی	۳
۷	اصول خوردگی و انواع آن	۳
۸	کنترل خوردگی و رسموب دیگرها بخار آب و داغ	۳

### بسته ذوب

ردیف	عنوان دوره	تعداد روزهای برگزاری
۱	تولید چدن در کوره‌بلند	۱
۲	تکنولوژی ذوب فولادهای آلیاژی در کوره‌های فوس الکتریکی	۱

### بسته شناسایی و انتخاب مواد

ردیف	عنوان دوره	تعداد روزهای برگزاری
۱	کلید فولاد	۱
۲	شناسایی فولادها، چدن‌ها و کاربرد آنها	۲

### بسته مهندسی سطح

ردیف	عنوان دوره	تعداد روزهای برگزاری
۱	انواع روش‌های عملیات حرارتی سخت کردن سلح فولاد	۳
۲	تکنولوژی پاشش حرارتی، HVOL	۱
۳	بازرسی قطعات فرسوده و سایش یافته تحت عنوان مکانیزم‌های سایش و تخریب‌های سایشی در قطعات فولاد	۲
۴	بررسی سایش قطعات مورد استفاده در معادن و صنایع سیمان	۲
۵	بررسی سایش قطعات مورد استفاده در صنایع مختلف (معدن، سیمان، ریلی و ...)	۲
۶	روش‌های استاندارد کنترل کیفیت پوشش‌های صنعتی	۲
۷	بهبود و ارتقاء خواص سطحی فولادهای کم آلیاژی با استفاده از روش نیتروژن‌دهی پلاسمایی به کمک شبکه‌های فعال فلزی	۳



**بسته ارزیابی خواص مکانیکی مواد و شکل‌دهی**

ردیف	عنوان دوره	تعداد روزهای برگزاری
۱	روش‌های شکل‌دهی فلزات	۲
۲	(شکل دادن ورق‌های فلزی) Sheet Metal Forming	۲
۳	بررسی عویض ورق‌های نوردی گرم	۱
۴	آنالیز تخریب در فضاهای صنعتی	۱
۵	خواص مکانیکی مواد	۱
۶	آزمون خواص مکانیکی مواد	۱

**بسته جوشکاری**

ردیف	عنوان دوره	تعداد روزهای برگزاری
۱	شناخت مواد مصرفی جوشکاری و انتخاب آن	۲
۲	بازرسی جوش ۱	۵
۳	بازرسی جوش ۲	۵
۴	بازرسی جوش چشمی	۳
۵	بازرسی جوش لوله	۳
۶	عيوب جوش و علل پیدايش آن	۱
۷	پیچیدگی در قطعه جوش و راههای پیشگیری	۱
۸	سوپر واپر اجرایی piping (جرها، هرایجی، جوش، دفترفی، QC، عایق و زنگ)	۲
۹	آزمون دوره: UT: ۳ روز آزمون دوره: PT: ۱ روز آزمون دوره: MT: ۱ روز آزمون دوره: RTI (I, II): ۵ روز	آزمایش‌های غیرمخرب: آزمون دوره UT، دوره PT آزمون دوره MT (I, II) R: RTI (I, II)
۱۰	بازرسی و کنترل کیفیت	۵
۱۱	بازرسی مخازن تحت فشار	۳
۱۲	عملیات حرارتی در جوشکاری	۲
۱۳	متالورژی جوشکاری و جوشکاری فولادهای زنگنزن	۲

**بسته استاندارد**

ردیف	عنوان دوره	تعداد روزهای برگزاری
۱	شناخت و ارزیابی عیوب ناشی از فرایندهای ساخت بر طبق استانداردهای مهم بین‌المللی	۲
۲	آشنایی با استانداردهای کارخانه، ملی، منطقه‌ای و بین‌المللی	۳
۳	اصول استاندارد کردن و تدوین استانداردها	۳



## بسته ریخته‌گری

ردیف	عنوان دوره	تعداد روزهای برگزاری
۱	روش‌های متدالو ریخته‌گری	۴
۲	روش‌های نوین در ریخته‌گری شامل: ریخته‌گری به روشنیه جامد، ریخته‌گری به روشن لاست‌فوم، ریخته‌گری زاماک، شمش‌زیزی	۴
۳	طراسی سیستم‌های راهگاهی و غذیه‌گذاری در قطعات ریختگی	۴
۴	بررسی عیوب ریخته‌گری شامل: ذوب و ریخته‌گری، بررسی عیوب ریخته‌گری در ماسه، بررسی عیوب قطعات ریختگی آهنی/ چدن و فولاد، بررسی عیوب در شمش‌ها	۲
۵	کنترل و کاهش ضایعات در ریخته‌گری	۲

## بسته روش‌های آنالیز مواد

ردیف	عنوان دوره	تعداد روزهای برگزاری
۱	پرتوگاری صنعتی	۴
۲	متالوگرافی شامل: متالوگرافی نوری، متالوگرافی الکترونی	۲
۳	متالوگرافی کمی و کیفی آلیاژ‌های آهنی	۱
۴	متالوگرافی کمی و کیفی آلیاژ‌های غیر آهنی	۱
۵	آنالیز کمی شامل: کوارنتمتری، امپکترومتری	۱
۶	روش‌های آنالیز مواد	۲

## بسته انرژی

ردیف	عنوان دوره	تعداد روزهای برگزاری
۱	بهینه‌سازی مصرف انرژی در صنایع فولاد	۱
۲	مدیریت انرژی (عمومی): مبانی بهینه‌سازی مصرف انرژی بهینه‌سازی مصرف انرژی در سیستم‌های حرارتی بهینه‌سازی مصرف انرژی الکتریکی بهینه‌سازی مصرف انرژی در بولبرها	۶
۳	بهینه‌سازی مصرف انرژی در سیستم‌های حرارتی: بهینه‌سازی مصرف انرژی حرارتی و مدیریت احتراق مدیریت انرژی در سیستم‌های بخار محاسبات حرارت و فنون اندازه‌گیری	۶
۴	بهینه‌سازی مصرف انرژی در سیستم‌های الکتریکی بهینه‌سازی مصرف انرژی الکتریکی و فنون اندازه‌گیری بهینه‌سازی مصرف انرژی در کمپرسورها بهینه‌سازی مصرف انرژی در روشنابی و ترانسفورماتورها مدیریت بار	۶



## معرفی انتشارات انجمن آهن و فولاد ایران

ردیف	عنوان	گردآورنده	تاریخ انتشار	مبلغ (ریال)
۱	مجموعه مقالات سمپوزیوم فولاد ۷۵	دانشکده مهندسی مواد دانشگاه صنعتی اصفهان	مهر ۱۳۷۵	۴۰/۰۰۰
۲	مجموعه مقالات سمپوزیوم فولاد ۷۸	انجمن آهن و فولاد ایران	اردیبهشت ۱۳۷۸	۵۰/۰۰۰
۳	مجموعه مقالات سمپوزیوم فولاد ۷۹	انجمن آهن و فولاد ایران	بهمن ۱۳۷۹	۵۰/۰۰۰
۴	مجموعه مقالات سمپوزیوم فولاد ۸۰	انجمن آهن و فولاد ایران	بهمن ۱۳۸۰	۵۰/۰۰۰
۵	مجموعه مقالات سمپوزیوم فولاد ۸۱	انجمن آهن و فولاد ایران	بهمن ۱۳۸۱	۶۰/۰۰۰
۶	مجموعه مقالات سمپوزیوم فولاد ۸۲	انجمن آهن و فولاد ایران	بهمن ۱۳۸۲	۷۰/۰۰۰
۷	مجموعه مقالات سمپوزیوم فولاد ۸۳	انجمن آهن و فولاد ایران	اسفند ۱۳۸۳	۸۰/۰۰۰
۸	مجموعه مقالات سمپوزیوم فولاد ۸۴	انجمن آهن و فولاد ایران	اسفند ۱۳۸۴	۸۵/۰۰۰
۹	مجموعه مقالات سمپوزیوم فولاد ۸۵	انجمن آهن و فولاد ایران	اسفند ۱۳۸۵	۹۵/۰۰۰
۱۰	مجموعه مقالات سمپوزیوم فولاد ۸۶	انجمن آهن و فولاد ایران	بهمن ۱۳۸۶	۱۰۵/۰۰۰
۱۱	مجموعه مقالات سمپوزیوم فولاد ۸۷	انجمن آهن و فولاد ایران	اسفند ۱۳۸۷	۱۲۰/۰۰۰
۱۲	جزوه بهبود مستمر در صنعت با استفاده از نگرش کایزن	مهندس عبدالله اعزازی	آذر ۱۳۸۰	۶/۰۰۰
۱۳	جزوه شناخت، ارزیابی و کنترل آخالها در فولاد همراه با ضمیمه	دکتر احمد کرمائیور	مرداد ۱۳۸۱	۴۶/۰۰۰



۱۰/۰۰۰	تیرماه ۱۳۸۲	مهندس عبدالوهاب ادب آوازه	کتاب جوشکاری فولادهای صنعتی	۱۴
۱۰/۰۰۰	زمستان ۸۲	Glyn Meyrick- Robert H. wagoner- wei Gan	Physical Metallurgy of Steel (2001)	۱۵
۱۰/۰۰۰	زمستان ۸۲	The Southern African Institute of Steel Construction	Introduction to the Economics of Structural Steel Work (2001)	۱۶
۴۵/۰۰۰	شهریور ۸۷	H. K. D. H. Bhadeshia and Sir Robert Honeycombe	Steels "Microstructure and Properties", Third Edition	۱۷
۱۵/۰۰۰	شهریور ۸۷	International Iron & Steel Institute	Advanced High Strength Steel (AHSS) Application Guidelines, Version 3	۱۸
۴۸/۰۰۰	شهریورماه ۸۴	مهندس محمدحسین نشاطی	کتاب فولادسازی ثانویه	۱۹
۱۸۰/۰۰۰	شهریورماه ۸۸	مهندس پرویز فرهنگ	کتاب فرهنگ جامع مواد	۲۰
۱۰/۰۰۰	از پائیز ۷۹ لغایت تابستان ۸۸	انجمن آهن و فولاد ایران	فصلنامه علمی - خبری پیام فولاد از شماره ۱ لغایت شماره ۳۵	۲۱
۳۰/۰۰۰ مؤسسات حقوقی ۵۰/۰۰۰	از زمستان ۸۳ لغایت زمستان ۸۷	انجمن آهن و فولاد ایران	مجله علمی - پژوهشی بین المللی انجمن آهن و فولاد ایران (International Journal of Iron & Steel Society of Iran)	۲۲

در ضمن هزینه پست سفارشی به مبالغ فوق اضافه خواهد شد. جهت کسب اطلاعات بیشتر با شماره تلفن (۰۳۱۱) ۳۹۱۲۷۲۷-۲۸ دفتر مرکزی انجمن آهن و فولاد ایران تماس حاصل نمایید.





انجمن آهن و فولاد ایران

## فراخوان مقاله برای مجله بین‌المللی انجمن آهن و فولاد ایران

در راستای تخصصی قر شدن مجلات علمی و تحقیقاتی در کشور و به منظور اطلاع‌رسانی و تقویت هرچه بیشتر پیوندهای متخصصین، اندیشمندان، دانشگاهیان و پژوهشگران ملی و بین‌المللی در زمینه صنعت آهن و فولاد، انجمن آهن و فولاد ایران مجوز انتشار یک مجله علمی- پژوهشی بین‌المللی را با عنوان:

**International Journal of Iron & Steel Society of Iran (Int. J. of ISSI)**

از وزارت علوم، تحقیقات و فناوری کسب نموده است.  
بدینوسیله از کلیه صاحب‌نظران، اعضاء هیأت علمی دانشگاهها و مراکز پژوهشی و دانشجویان تحصیلات تکمیلی دانشگاهها و مؤسسات پژوهشی دعوت می‌گردد جهت هرچه پربار شدن این مجله مقالات خود را به زبان انگلیسی بر اساس راهنمای موجود به آدرس زیر ارسال نمایند. ضمناً مقالات بایستی تحت یکی از عنوان‌ین زیر تهیه گردند.

۱- آهن سازی ۲- فولادسازی ۳- ریخته‌گری و انجاماد ۴- اصول، تئوری، مکانیزم‌ها و کیتیک فرآیندهای دمای بالا ۵- آنالیزهای فیزیکی و شیمیائی فولاد ۶- فرآیندهای شکل‌دهی و عملیات ترمومکانیکی فولادها ۷- جوشکاری و اتصال فولادها ۸- عملیات سطحی و خوردگی فولادها ۹- تغییر حالتها و ساختارهای میکروسکوپی فولاد ۱۰- خواص مکانیکی فولاد ۱۱- خواص فیزیکی فولاد ۱۲- مواد و فرآیندهای جدید در صنعت فولادسازی ۱۳- صرفه‌جویی مصرف انرژی در صنعت فولاد ۱۴- اقتصاد فولاد ۱۵- مهندسی محیط‌زیست صنایع فولاد و ارتباطات اجتماعی ۱۶- نسوزهای مصرفی در صنایع فولاد

آدرس دیرخانه مجله:

اصفهان- دانشگاه صنعتی اصفهان- کد پستی: ۸۳۱۱۱-۸۴۱۵۶- آنجمن آهن و فولاد ایران- دیرخانه مجله بین‌المللی  
دیرخانه مجله بین‌المللی انجمن آهن و فولاد ایران



# International Journal of Iron & Steel Society of Iran

---

## INSTRUCTIONS FOR AUTHORS

**International Journal of Iron & Steel Society of Iran (ISSI)** is published semiannually by (ISSI). Original contributions are invited from worldwide ISSI members and non-members.

**1. Scope:** The scope of the journal extends from the core subject matter of iron and steel to multidisciplinary areas in the science and technology of various materials and processes. The journal provides a medium for the publication of original studies on all aspects of materials and processes including preparation, processing, properties, characterization and application.

**2. Category:** (1) **Regular Article** (maximum of ten printed pages): An original article that presents a significant extension of knowledge or understanding and is written in such a way that qualified workers can replicate the key elements on the basis of the information given.

(2) **Review:** An article of an extensive survey on one particular subject, in which information already published is compiled, analyzed and discussed. Reviews are normally published by invitation. Proposals of suitable subjects by prospective authors are welcome.

(3) **Note** (maximum of three printed pages): (a) An article on a new finding or interesting aspect of an ongoing study which merits prompt preliminary publication in condensed form, a medium for the presentation of (b) disclosure of new research and techniques, (c) topics, opinions or proposals of interest to the readers and (d) criticisms or additional proofs and interpretations in connection with articles previously published in the society journals.

**3. Language:** All contributions should be written in English or Persian. The paper should contain an abstract both in English and Persian. However for the authors who are not familiar with Persian, The latter will be prepared by the publisher.

**4. Units:** The use of SI units is standard. Non SI units approved for use with SI are acceptable.

**5. Submission of manuscript:** Manuscripts should not be submitted if they have already been published or accepted for publication elsewhere.

The original and three copies of a manuscript, both complete with Application Form, synopsis and key words, text, references, list of captions, tables, and figures, should be sent to:

The Editorial Board of International Journal of ISSI

The Iron and Steel Society of Iran

Isfahan University of Technology

Isfahan 84154, Iran

(Telephone): + 98-311-391-2727

(Telefax): + 98-311-391-2728

One set of figures should be of a superior quality for direct reproduction for printing. Papers exceeding the page limits may be returned to the author for condensation prior to reviewing.

**6. Reviewing:** Every manuscript receives reviewing according to established criteria.

**7. Revision of manuscript:** In case when the original manuscript is returned to the author for revision, one clear copy of a revised manuscript, together with the original manuscript and a letter explaining the changes made, must be resubmitted within three months.

**8. Disk-saved manuscript:** To save the printing time and cost, it is desirable for the author to supply the final manuscript of the accepted article in the form of a **floppy disk or CD**.

**9. Proofs:** The representative author will receive the galley proofs of the paper. No new material may be inserted into the proofs. It is essential that the author returns the proofs before a specified deadline to avoid rescheduling of publication in some later issue.

**10. Copyright:** The submission of a paper implies that, if accepted for publication, copyright is transferred to the Iron and Steel Society of Iran. The society will not refuse any reasonable request for permission to reproduce a part of the journal.

**11. Reprint:** No page charge is made. Reprints can be obtained at reasonable prices.



## A GUIDE FOR PREPARATION OF MANUSCRIPT

**1. Estimation of length:** A journal page consists of approximately 1000 words. Figures are usually reduced to fit into one column of 84 mm width: the largest size of a figure, 110 mm×84 mm, is equivalent to 250 words.

**2. Typescript:** The typescript must be presented in the order: (1) title page, (2) synopsis and key words (except for Note), (3) text, (4) references (5) appendices, and (6) list of captions, each of which should start on a new page. The sheet must be numbered consecutively with the title page as page 1. All the sections must be typewritten, double spaced throughout, on one side of A4 paper with ample margins all around.

(1) The title page must contain the **title**, the full name, affiliation, and mailing address of each author.

(2) A **synopsis** must state briefly and clearly the main object, scope and findings of the work within 250 words. Several **key words** are required to accompany the synopsis.

(3) The **text** in a regular article must include sufficient details to enable qualified workers to reproduce the results. Extensive literature survey is not necessary. Conclusions are convictions based on the evidence presented.

(4) **References** must be numbered consecutively. Reference numbers in the text should be typed as superscripts with a closing parenthesis, for example, <sup>1)</sup>, <sup>2,3)</sup> and <sup>4-6)</sup>. List all of the references on a separate page at the end of the text. Include the names of all the authors with the surnames last. Refer to the following examples for the proper format.

1) **Journals** Use the standard abbreviations for journal names given in the International Standard ISO 4. See attached **List**. Give the volume number, the year of publication and the first page number.

[Example] M. Kato, S. Mizoguchi and K. Tsuzaki: ISIJ Int., 40(2000), 543.

2) **Conference Proceedings** Give the title of the proceedings, the editor's name if any, the publisher's name, the place of publication, the year of publication and the page number.

[Example] Y. Chino, K. Iwai and S. Asai: Proc. of 3rd Int. Symp. on Electromagnetic Processing of Materials, ISIJ, Tokyo, (2000), 279.

3) **Books** Give the title, the volume number, the editor's name if any, the publisher's name, the place of publication, the year of publication and the page number.

[Example] (1) W. C. Leslie: The Physical Metallurgy of Steels, McGraw-Hill, New York, (1981), 621.  
(2) U. F. Kocks, A. S. Argon and M. F. Ashby: Progress in Materials Science, Vol.19, ed. by B. Chalmers, Pergamon Press, Oxford, (1975), 1.

3. **Tables:** Tables must not appear in the text but should be prepared on separate sheets. They must have captions and simple column headings.

4. **Figures:** All graphs, charts, drawings, diagrams, and photographs are to be referred to as Figures and should be numbered consecutively in the order that they are cited in the text. Figures must be photographically reproducible. Each figure must appear on a separate sheet and should be identified by figure number, caption and the representative author's name. Figure captions must be collected on a separate sheet. Figures are normally reduced in a single column of 84 mm width. All lettering should be legible when reduced to this size.

a) Photographs should be supplied as glossy prints and pasted firmly on a hard sheet. When several photographs are to make up one presentation, they should be arranged without leaving margins in between and separately identified as (a), (b), (c)... Magnification must be indicated by means of an inscribed scale.

b) Line drawings must be drafted with black ink on white drawing paper. High-quality glossy prints are acceptable.

c) Color printing can be arranged, if the reviewers judge it necessary for proper presentation. Authors or their institutions must bear the costs.

d) Proper places of insertion should be indicated in the right-hand margin of the text.

### Classification

- 1.Ironmaking
- 2.Steelmaking
- 3.Casting and Solidification
- 4.Fundamentals of High Temperature Processes
- 5.Chemical and Physical Analysis
- 6.Forming Processing and Thermomechanical Treatment
- 7.Welding and Joining
- 8.Surface Treatment and Corrosion
- 9.Transformations and Microstructures
- 10.Mechanical Properties
- 11.Physical Properties
- 12.New Materials and Processes
- 13.Energy
- 14.Steel Economics
- 15.Social and Environmental Engineering
- 16.Refractories

## راهنمای اشتراک فصلنامه پیام فولاد

در صورت تمایل به اشتراک فصلنامه پیام فولاد لطفاً نکات زیر را رعایت فرمائید.

- ۱- قرم اشتراک را کامل و خوانا پر کرده و کدپستی و شماره تلفن را حتماً قید فرمائید.
- ۲- مبلغ اشتراک را می‌توانید از کلیه شعب بانک ملی ایران در سراسر کشور به حساب جاری شماره ۱۲۰۳ بنام انجمن آهن و فولاد ایران در بانک ملی شعبه دانشگاه صنعتی اصفهان (کد ۳۱۸۷) حواله نماید و اصل فیش بانکی را همراه با فرم تکمیل شده اشتراک به نشانی:
- اصفهان-دانشگاه صنعتی اصفهان-کدپستی: ۸۴۱۵۶-۸۳۱۱۱
- کمی فیش بانکی را تا زمان دریافت تخصیص شماره اشتراک نزد خود نگه دارید.
- مبلغ اشتراک برای یک سال با هزینه پست و بسته‌بندی ۶۶/۰۰۰ ریال می‌باشد.
- در صورت نیاز به اطلاعات بیشتر با تلفن‌های ۰۳۱۱ (۳۹۱۲۷۲۷)-۳۹۱۲۷۲۸ تماس حاصل فرمائید.

### فرم اشتراک فصلنامه پیام فولاد

بیوست فیش بانکی به شماره ..... به مبلغ ..... ریال باست حق اشتراک یک ساله  
فصلنامه پیام فولاد ارسال می‌گردد.  
خواهشمند است مجله را برای مدت یک سال از شماره ..... به نشانی زیر بفرستید.

قبل امشترک بودم <input type="checkbox"/>	شماره اشتراک قبل <input type="checkbox"/>	مشترک نبودم <input type="checkbox"/>
نام .....		
نام خانوادگی .....		
نام شرکت یا مؤسسه .....		
شغل .....	تحصیلات .....	سن .....
نشانی: استان .....	شهرستان .....	خیابان .....
کوچه .....	کدپستی: .....	
صندوق پستی: .....	تلفن: .....	فاکس: .....

برای اعضاء انجمن این نشریه بصورت رایگان ارسال می‌گردد.





ISSI

فرم درخواست عضویت حقیقی و حقوقی در انجمن آهن و فولاد ایران

توجه: لطفاً در قسمتهای هاشور زده، چیزی ننویسید و نام و نام خانوادگی خود را به لاتین در محل مربوطه بنویسید.

	کد عضویت	نوع عضویت
Name	<input type="text"/>	نام
Family	<input type="text"/>	نام خانوادگی
Company	<input type="text"/>	نام محل کار
	<input type="text"/>	سمت سازمانی
	<input type="text"/>	شماره شناسنامه
	<input type="text"/>	آدرس محل کار
	<input type="text"/>	کد پستی محل کار
	<input type="text"/>	تلفن محل کار
	<input type="text"/>	آدرس مکاتبه
	<input type="text"/>	کد پستی
	<input type="text"/>	تلفن همراه
E-mail	<input type="text"/>	تلفن
	<input type="text"/>	آخرین مدرک تحصیلی
	<input type="text"/>	رشته تحصیلی
	<input type="text"/>	دانشگاه اخذ آخرین مدرک
	<input type="text"/>	تاریخ انعام عضویت
	<input type="text"/>	تعداد سال عضویت

امضاء:

تاریخ:

مدارک لازم برای عضویت:

- ۱- برگ درخواست عضویت تکمیل شده
- ۲- فتوکپی آخرین مدرک تحصیلی (برای دانشجویان ارائه کهی کارت دانشجویی کافی است.)
- ۳- دو قطعه عکس ۳×۴
- ۴- قبیل بانکی به مبلغ (برای مؤسسات حقوقی وابسته ۵,۰۰۰,۰۰۰ ریال، برای اعضاء حقیقی ۲۰۰,۰۰۰ ریال، برای دانشجویان ۱۰۰,۰۰۰ ریال) به حساب جاری ۱۲۰۳ بانک ملی ایران، شعبه دانشگاه صنعتی اصفهان (کد شعبه ۳۱۸۷) به نام انجمن آهن و فولاد ایران.



## دستورالعمل تهییه مقاله برای فصلنامه پیام فولاد

- ۵- جداول و نمودارها با سطربندی و ستونبندی مناسب ترسیم شده و در مورد جداول شماره و شرح آن در بالا و در مورد اشکال در زیر آن درج گردد. واحدهای سیستم بین المللی (SI) برای آحاد در نظر گرفته شود.
- ۶- تصاویر و عکس‌ها: اصل تصاویر و عکس‌ها باید به ضمنیه مقاله ارسال شود. در مورد مقالات ترجمه شده ارسال اصل مقاله همراه با تصاویر و عکس‌های آن ضروری است.
- ۷- واژه‌ها و پی‌نوشت‌ها: بالای واژه‌های متن مقاله شماره گذاری شده و اصل لاتین واژه با همان شماره در واژغاتهای که در انتهای مقاله تنظیم می‌گردد درج شود.
- ۸- منابع و مراجع: در متن مقاله شماره مراجع در داخل کروشه [ ] آورده شود و با همان ترتیب شماره گذاری شده مرتب گردیده و در انتهای مقاله آورده شوند. مراجع فارسی از سمت راست و مراجع لاتین از سمت چپ نوشته شوند.
- در فهرست مراجع درج نام مؤلفان یا مترجمان- عنوان مقاله- نام نشریه- شماره جلد- صفحه و سال انتشار ضروری است.

### سایر نکات مهم:

- Microsoft Word تایپ مقالات صرفاً با نرم‌افزار
- از تایپ شماره صفحه خودداری شود.
- مطالب تنها بر یک روی کاغذ A<sub>4</sub> (۲۹۷×۲۱۰ میلی‌متر) چاپ شود.
- چاپ مقاله توسط چاپگر لیزری انجام شود.
- فصلنامه پیام فولاد در حک و اصلاح مطالب آزاد است.
- مسئولیت درستی و صحت مطالب- ارقام- نمودارها و عکس‌ها بر عهده نویسنده‌گان / مترجمان مقاله است.
- فصلنامه پیام فولاد از بازگردانیدن مقاله معذور است.

فصلنامه پیام فولاد با هدف انتشار یافته‌های علمی- پژوهشی و آموزشی - کاربردی در جهت ارتقاء سطح دانش فولاد و صنایع وابسته در این زمینه می‌باشد. لذا برای تحقق این هدف انجمن آهن و فولاد ایران آمادگی خود را جهت انتشار دستاوردهای تحقیقاتی محققان گرامی بصورت مقاله‌های علمی و فنی در زمینه‌های مختلف صنایع فولاد اعلام می‌نماید.

### راهنمای تهییه مقاله

- الف) مقالات ارسالی بایستی در زمینه‌های مختلف صنایع آهن و فولاد باشند.
- ب) مقالات ارسالی بایستی قبلًا در هیچ نشریه یا مجله‌ای درج شده باشد.
- ج) مقالات می‌توانند در یکی از بخش‌های زیر تهییه شوند.

### ۱- تحقیقی- پژوهشی

### ۲- معرفی

### ۳- ترجمه

### ۴- فنی (مطالعات موردی) \*

لطفاً مقالات خود را بصورت کامل حداقل حداکثر در ۱۰ صفحه A4 و طبق دستورالعمل زیر تهییه و به همراه دیسکت یا سی‌دی مقاله به دفتر نشریه ارسال فرماید.

- ۱- عنوان مقاله: مختصر و یانگر محتوای مقاله باشد.
- ۲- مشخصات نویسنده (مترجم) به ترتیبی که مایلند در نشریه چاپ گردد.

### ۳- چکیده

- ۴- مقدمه، مواد و روش آزمایش‌ها، نتایج و بحث، نتیجه‌گیری و مراجع

\* مقالات موردی می‌تواند شامل چکیده، نتایج و بحث و جمع‌بندی و در صورت نیاز مراجع می‌باشد. رعایت سایر مواد ذکر شده در بالا در مورد مقالات معرفی الزامی است.

